



Università degli studi di Milano
Corso di Laurea Magistrale in fisica

Metodi innovativi per il calcolo della
risposta lineare nell'ambito della teoria
del funzionale densità in sistemi spin
polarizzati

Codice PACS: 71.15-m

Relatore: Giovanni ONIDA

Correlatore: Nicola MANINI

Davide Sangalli

Indice

Presentazione del lavoro di questa tesi	v
I Theoretical background	1
1 La fisica della materia	5
1.1 Lo studio dei sistemi a molti corpi	5
1.2 L'approssimazione di Born-Oppenheimer	7
1.3 Il ruolo dell'interazione, le grandezze integrate e le funzioni d'onda a particella singola	8
2 La teoria del funzionale densità	11
2.1 Il teorema di Hohenberg-Kohn	11
2.1.1 Dimostrazione del teorema	11
2.1.2 Lo scopo del teorema di Hohenberg Kohn e il ruolo della densità	13
2.2 Lo schema di Kohn e Sham	15
2.2.1 Perché scegliere di lavorare con un sistema non intera- gente	15
2.2.2 Le equazioni di Kohn e Sham	15
2.3 Alcune considerazioni	18
2.3.1 Lo spin	18
2.3.2 La teoria costruita	19
3 La teoria della funzione di Green	21
3.1 Introduzione	21
3.2 La funzione di Green	21
3.2.1 Definizione	21
3.2.2 Rappresentazione di Schroödinger, Heisenberg e intera- zione	23
3.2.3 Perché la funzione di Green	25

3.3	Il teorema di Gell-Mann e Low	26
3.3.1	Introduzione: l'accensione adiabatica	26
3.3.2	Enunciato	28
3.4	Interpretazione fisica della funzione di Green	28
3.4.1	Analizziamo l'espressione	28
3.4.2	L'equazione del moto e confronto con la definizione classica di funzione di Green	29
3.5	La rappresentazione di Lehmann	30
3.6	Il teorema di Wick	32
3.6.1	Introduzione al teorema	32
3.6.2	Enunciato	33
3.7	Analizziamo la funzione di Green con il teorema di Wick	35
3.7.1	La prima equazione di Hedin	35
3.8	Equazione del moto con la self-energia	36
3.9	Le equazioni di Hedin	38
3.9.1	Introduzione alle equazioni	39
3.9.2	Dimostrazione delle equazioni	41
3.9.3	La fisica dietro le equazioni di Hedin	43
4	Approssimazioni	47
4.1	Introduzione	47
4.2	L'approssimazione locale	48
4.2.1	Approssimazione LDA	48
4.2.2	Approssimazione LSDA	49
4.3	Perché l'approssimazione LDA funziona così bene	50
4.3.1	Introduzione	50
4.3.2	Il teorema di connessione adiabatica	51
4.3.3	La buca di scambio e correlazione	52
4.4	Oltre l'approssimazione locale	53
4.4.1	L'equazione di Sham-Schluter	53
5	Spettro di eccitazione. L'accoppiamento particella buca.	55
5.1	Introduzione	55
5.2	La teoria della risposta lineare	56
5.2.1	La rappresentazione di Lehmann della funzione risposta	58
5.3	L'approccio many-body	58
5.3.1	Perché la funzione di Green a particella singola non è sufficiente	58
5.3.2	L'equazione di Bethe Salpeter	60
5.4	La Time-Dependent DFT	61
5.4.1	Utilizziamo la teoria della risposta lineare nella TDDFT	62

5.4.2	Un'equazione di Dyson per la TDDFT	63
5.5	Approssimazioni	64
5.5.1	L'approssimazione adiabatica LDA	64
5.5.2	L'approssimazione adiabatica LSDA	65
II	Studio di sistemi isolati	67
6	La formulazione di Casida della TDDFT	69
6.1	Introduzione	69
6.2	La polarizzabilità del sistema	69
6.3	La TDDFT nello spazio delle configurazioni	70
6.3.1	Cambio di base	70
6.3.2	La funzione risposta libera e il kernel	72
6.3.3	L'equazione di Casida	73
6.4	Studio di sistemi a shell chiusa	76
6.4.1	Interpretazione delle funzioni d'onda degli stati eccitati e regole di selezione	78
6.4.2	Interpretazione delle matrici di Casida	80
6.5	Studio di sistemi a shell aperta	80
6.5.1	Il problema delle eccitazioni multiple	81
6.6	Proposte per estendere la teoria	83
6.6.1	Includere la possibilità di spin flip	84
6.6.2	Sistemi non collineari	85
7	Risultati	89
7.1	La molecola di BeH	89
7.1.1	Calcoli eseguiti	89
7.1.2	Presentazione della molecola	89
7.1.3	Convergenza per gli orbitali di KS	92
7.2	Analisi dei dati	94
7.2.1	Confronto con i risultati ottenuti da Casida	94
7.2.2	Altri test di convergenza	99
7.3	Considerazioni finali	100
7.4	Il kernel della TDDFT	109
7.4.1	Introduzione	109
7.4.2	Un kernel a due punti per la teoria molti corpi	109
7.4.3	Un kernel per la TDDFT	110
	Conclusioni	113

A	Descrizione di molecole biatomiche	117
A.1	Classificazione degli orbitali molecolari	117
A.2	Classificazione delle eccitazioni molecolari	118
B	Differenti rappresentazioni di un operatore	119
	Note Finali	125
	Ringraziamenti	127

Presentazione del lavoro di questa tesi

La spettroscopia è lo studio della materia e delle sue proprietà realizzato analizzando la luce, il suono, o le particelle che vengono emesse, assorbite o riflesse dalla materia che si vuole descrivere. La spettroscopia può anche essere definita come lo studio dell'interazione tra luce e materia [21]. Storicamente la spettroscopia era riferita a un tipo di scienza in cui la luce visibile veniva usata per studi teorici sulla struttura della materia e per analisi qualitative e quantitative. Recentemente, comunque, la definizione ha assunto un carattere più generale con lo sviluppo di tecniche sperimentali che utilizzano non solo la luce visibile, ma anche molte altre forme di radiazione elettromagnetica e non: microonde, onde radio, raggi X, elettroni, fononi (o onde sonore) e altre. Tali tecniche vengono utilizzate nel campo della fisica e della chimica per l'identificazione di sostanze attraverso lo studio dello spettro emesso o assorbito da esse; in astronomia la spettroscopia viene fortemente utilizzata e molti telescopi sono dotati di spettrografi utilizzati per misurare la composizione chimica e le proprietà fisiche di oggetti astronomici.

Le eccitazioni elettroniche in particolare sono alla base degli spettri di eccitazione che vengono più comunemente studiati. Negli ultimi vent'anni ci sono stati numerosi miglioramenti delle tecniche sperimentali utilizzate per lo studio delle eccitazioni elettroniche in materia condensata; d'altra parte molti degli aspetti fisici legati a tali esperimenti richiedono, per essere descritti, opportuni modelli teorici. Appare dunque interessante sviluppare tali modelli e verificarne la validità utilizzando i dati sperimentali più recenti. Lo scopo è quello di disporre di strumenti in grado di prevedere i risultati degli esperimenti prima di eseguirli. Infatti l'approccio teorico offre il vantaggio di essere meno dispendioso, sia in termini economici che in termini di risorse umane e di tempo.

In ogni esperimento di spettroscopia un campione viene perturbato e si misura la risposta del sistema a tale perturbazione, quindi in generale non è sufficiente calcolare le proprietà di stato fondamentale del sistema per in-

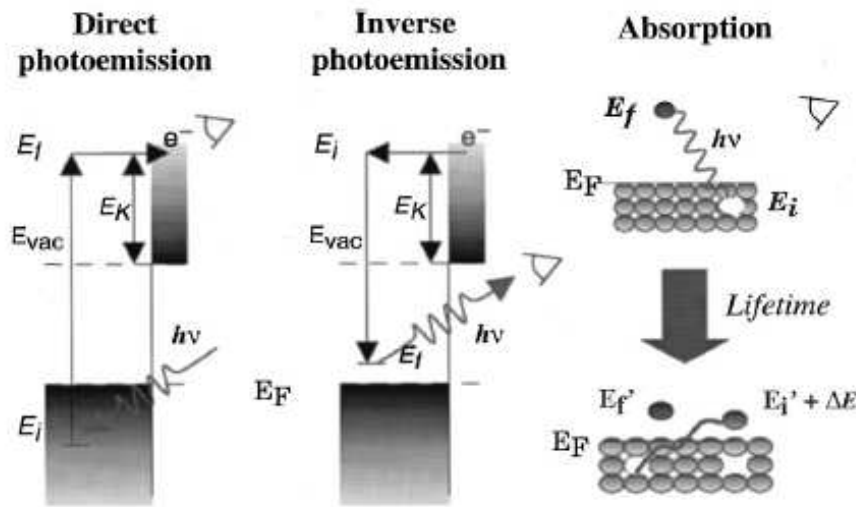


Figura 1: Rappresentazione schematica delle eccitazioni coinvolte in differenti tipi di spettroscopia: fotoemissione diretta, fotoemissione inversa e assorbimento.

interpretare e prevedere i risultati degli esperimenti. La foto-emissione diretta ed inversa e l'assorbimento possono essere considerati come il prototipo dei fenomeni che si vorrebbero descrivere in questo contesto (fig. 1). Il lavoro della presente tesi è focalizzato sullo studio dello spettro di assorbimento di sistemi isolati che presentino effetti legati allo spin.

La tesi si apre, Capitolo 1, con un'introduzione alle equazioni che sono alla base dello studio di un sistema fisico tramite il formalismo della meccanica quantistica e vengono illustrate quali siano le maggiori difficoltà che si incontrano nel tentativo di risolverle. Sono quindi esposte nei due capitoli successivi le due teorie che vengono utilizzate per superare tali difficoltà nella descrizione dello stato fondamentale del nostro sistema: la Density Functional Theory (DFT), Capitolo 2, e la Many Body perturbation Theory (MBPT), Capitolo 3. Nel Capitolo 4 vengono quindi illustrate le approssimazioni introdotte nell'ambito della DFT, che costituisce la teoria che utilizzeremo per i calcoli eseguiti nell'ambito di questa tesi.

La descrizione dello stato fondamentale del sistema è il punto di partenza per poterne descrivere lo spettro di eccitazione ma, come già detto, non è sufficiente a comprendere la fisica che sta alla base degli esperimenti di spettroscopia. Nel Capitolo 5 della tesi vengono quindi esposte le estensioni delle

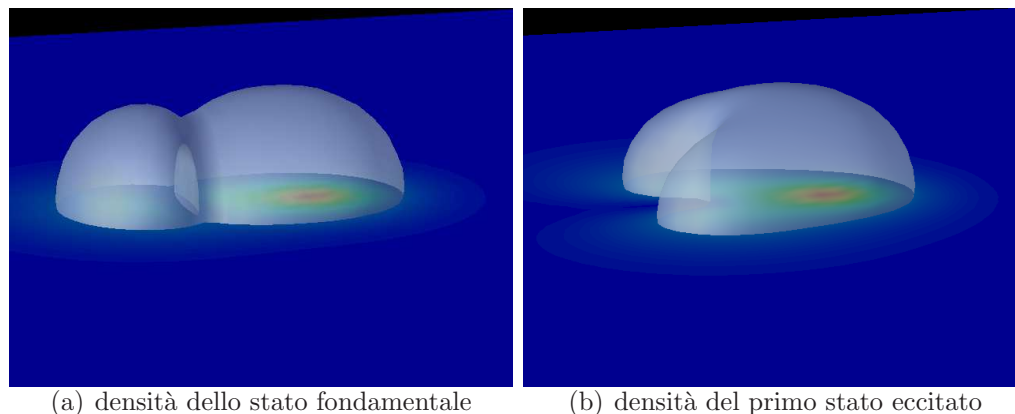


Figura 2: Molecola test del BeH. Raffronto tra la densità dello stato fondamentale e quella del primo stato eccitato. Le immagini sono state costruite a partire dall'interpretazione delle funzioni d'onda di KS. Solo l'immagine dello stato fondamentale potrebbe, in base a giustificazione formale, essere interpretata come la densità reale del sistema. Possiamo comunque osservare come la densità elettronica attorno all'atomo di sinistra, atomo di idrogeno, sia diminuita poichè la nube elettronica è ora distribuita su di uno stato eccitato. Quelle rappresentate in figura sono due isosuperfici a valore costante della densità; i colori sul piano indicano invece il valore della densità sul piano stesso, il rosso indica le zone di massima densità, il blu le zone a densità più bassa.

due teorie presentate necessarie per lo studio delle energie di eccitazione di un sistema ed in particolare l'equazione di Bethe-Salpeter, estensione della MBPT, e la Time Dependet Density Functional Theory (TDDFT), estensione della DFT. Come per la parte di stato fondamentale le approssimazioni necessarie per l'utilizzo della TDDFT vengono esposte nella parte finale del capitolo.

Nella seconda parte della tesi ci concentriamo invece in modo più dettagliato su quello che è il formalismo di Casida per la TDDFT, esposto nel Capitolo 6, formalismo atto allo studio di sistemi isolati e che è in particolare legato alla descrizione degli effetti di spin, presenti sia nello studio di sistemi a spin perfettamente equilibrato, sia nello studio di sistemi con stato fondamentale spin polarizzato, polarizzazione collineare. Nel capitolo vengono in particolare messe in luce le differenze tra i due tipi di sistemi nell'ambito dell'approssimazione eseguita.

Il lavoro della presente tesi è stato in particolare mirato allo studio di

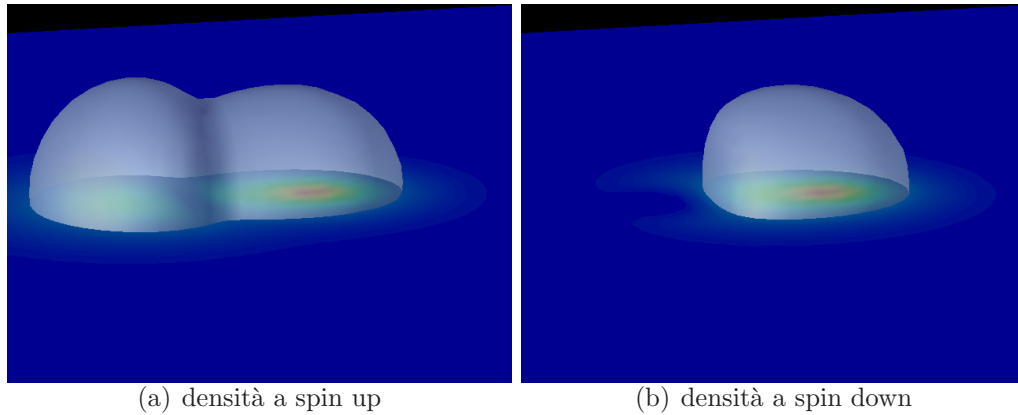


Figura 3: Molecola test del BeH. Raffronto tra la componente a spin up e quella a spin down della densità dello stato fondamentale.

sistemi con stato fondamentale spin-polarizzato. Le modifiche necessarie per lo studio di sistemi spin-polarizzati sono state implementate all'interno del software ABINIT [14], che in precedenza permetteva di studiare al livello TDDFT solo sistemi non polarizzati. È stata poi scelta la molecola di BeH (fig. 2, 3) per testare l'implementazione fatta confrontando i risultati da noi ottenuti con altri calcoli teorici e con dati sperimentali, Capitolo 7.

Parte I

Theoretical background

Convenzioni utilizzate nel capitolo 1

n : numero di elettroni

N : numero di ioni

m : massa elettrone

M : massa ione

e : carica dell'elettrone

\mathbf{r} : coordinata elettrone

\mathbf{R} : coordinata ione

p, q : indice elettroni

P, Q : indice ioni

io: abbreviazione per ione

el: abbreviazione per elettrone

T : energia cinetica

V : potenziale esterno

H : Hamiltoniana

i : $\sqrt{-1}$

\hbar : costante di Plank ridotta

Ψ : funzione d'onda multi corpi

Capitolo 1

La fisica della materia

1.1 Lo studio dei sistemi a molti corpi

Studiare le proprietà di una molecola o di un materiale qualsiasi scegliendo come punto di partenza la meccanica quantistica significa cercare di risolvere l'equazione che regola il comportamento di tutte le particelle che costituiscono tale sistema. Si tratta più in specifico dell'equazione di Schroödinger per il moto accoppiato di atomi ed elettroni, che, definite le seguenti grandezze

$$\begin{aligned}\hat{T}_{el} &= - \sum_{p=1}^n \frac{\hbar^2 \nabla_{(p)}^2}{2m} & \hat{T}_{ion} &= - \sum_{P=1}^N \frac{\hbar^2 \nabla_{(P)}^2}{2M} \\ \hat{V}_{el-el} &= \sum_{p \neq q} \frac{e^2}{|\mathbf{r}_p - \mathbf{r}_q|} & \hat{V}_{ion-ion} &= \sum_{P \neq Q} \frac{e^2}{|\mathbf{R}_P - \mathbf{R}_Q|} \\ \hat{V}_{ion-el} &= - \sum_{p=1}^n \sum_{P=1}^N \frac{e^2}{|\mathbf{R}_P - \mathbf{r}_p|} \\ \Psi &= \Psi(\mathbf{R}_1, \dots, \mathbf{R}_N, \mathbf{r}_1, \dots, \mathbf{r}_n, t) \quad ,\end{aligned}$$

risulta:

$$\left(\hat{T}_{el} + \hat{T}_{ion} + \hat{V}_{el-el} + \hat{V}_{ion-ion} + \hat{V}_{ion-el} \right) \Psi = i\hbar \frac{\partial \Psi}{\partial t} \quad . \quad (1.1)$$

Così formulata tale equazione rappresenta un problema di difficoltà non risolvibile, perlomeno con i mezzi matematici che abbiamo oggi a disposizione. Questo per diversi motivi: innanzi tutto perché è un'equazione differenziale alle derivate parziali e perché deve descrivere il comportamento di un numero di particelle interagenti che può essere dell'ordine del numero di Avogadro

(10^{23} particelle!). Di questo tipo di equazione esiste una soluzione esatta, almeno in 3 dimensioni, solo per lo studio di una singola particella nel vuoto o immersa in potenziali che presentino particolari simmetrie o infine per lo studio di due particelle interagenti. In altre parole per quanto riguarda la fisica della materia siamo in grado di trovare una soluzione esatta a questa equazione solo per quanto concerne lo studio di un elettrone libero o per l'elettrone dell'atomo di idrogeno (l'unico elemento che presenta un solo elettrone).

L'avvento dei computer ha offerto una possibilità alternativa al calcolo analitico per la soluzione del problema. D'altra parte, come mostrato da Walter Kohn nelle sue *Nobel Lecture* [6] anche con il supporto di software numerici la possibilità di studiare la funzione d'onda molti corpi resta limitata a sistemi che presentano un numero di particelle ridotto. Cercando di studiare sistemi più complessi ci si trova infatti di fronte a quello che Kohn definisce un "Exponential Wall" (Muro Esponenziale) e che di fatto limita le attuali possibilità, nel caso di soluzione diretta dell'equazione, a sistemi contenenti circa 10 elettroni.

Per poter utilizzare la meccanica quantistica per i nostri scopi dovremo dunque ricorrere a nuovi strumenti matematici che ci permettano di trasformare l'equazione scritta e quindi introdurre diverse approssimazioni cercando in qualche modo di mantenere il controllo, durante i calcoli, di tutte le approssimazioni eseguite. La teoria che illustreremo all'interno di questo lavoro costituirà proprio quell'insieme di approssimazioni e teoremi che ci permetteranno di giungere, partendo dall'equazione (1.1), ad un problema risolvibile.

Come vedremo, un ruolo chiave nella teoria verrà rivestito da equazioni di Schroödinger a particella singola che costituiscono, come già detto, l'unico caso in cui siamo in grado di ottenere una soluzione. Un ruolo chiave sarà svolto inoltre dalle grandezze integrate, in particolare la densità del sistema e la funzione di Green. Le equazioni che troveremo saranno di tipo auto-consistente. Ciò significa che per studiarle un ruolo dominante sarà svolto dai calcoli numerici, poiché solo grazie all'avvento dei moderni computer siamo in grado di risolvere tali equazioni che, altrimenti, rimarrebbero non risolvibili così come l'equazione iniziale.

La teoria non verrà presentata secondo l'evoluzione storica che ha avuto, piuttosto secondo quello che è lo schema logico che ho utilizzato per studiarli e comprenderli.

Le due teorie più importanti che andremo ad illustrare nei prossimi capitoli saranno la teoria della funzione di Green, che indicheremo come MBPT (Many-Body Perturbation Theory), e la teoria del funzionale densità, che indicheremo come DFT (Density Functional Theory).

I teoremi di cui ci serviremo per lo sviluppo della teoria saranno: il teorema di Hohenberg-Kohn e il teorema di Kohn e Sham per la DFT, e il loro equivalente per l'estensione al caso dipendente dal tempo (TD-DFT); il teorema di Gell-Mann e Low e il teorema di Wick per la MBPT.

Le prime due approssimazioni che introdurremo saranno l'approssimazione di Born-Oppenheimer, che ci servirà per disaccoppiare il moto degli elettroni da quello degli ioni e l'approssimazione di potenziale statico per il campo di Coulomb (approssimazione che abbiamo in realtà già introdotto scrivendo l'equazione di Schrödinger), poiché considerando i ritardi anche le equazioni della fisica classica diventano troppo complesse, immaginate quindi quelle della meccanica quantistica. Le altre approssimazioni principali di cui parleremo saranno la LDA (Local Density Approximation) per la DFT e la A-LDA (Adiabatic-LDA) per il caso dipendente dal tempo; l'approssimazione GW (chiariremo inseguito il significato) per la formulazione Many-Body.

Le equazioni più importanti che verranno nominate per le due teorie saranno infine le equazioni di Kohn e Sham per la DFT ed il loro equivalente per il caso dipendente dal tempo (TDDFT); le equazioni di Hedin e l'equazione di Bethe-Salpeter per la MBPT

1.2 L'approssimazione di Born-Oppenheimer

L'approssimazione di Born-Oppenheimer consiste nel considerare disaccoppiati il moto degli elettroni e il moto dei nuclei che costituiscono il nostro sistema partendo dalla considerazione che essi presentano masse molto differenti e quindi evolvono su di una scala di tempo molto differente. Dal punto di vista matematico ciò significa che possiamo idealmente separare la nostra equazione in due parti, la prima per il moto degli elettroni, nella quale le posizioni degli atomi vengono considerate dei parametri e la seconda che possiamo risolvere per trovare la posizione degli atomi una volta che abbiamo ottenuto la funzione d'onda degli elettroni. Per il momento ci concentreremo solamente sull'equazione del moto degli elettroni:

$$\left(\hat{T}_{el} + \hat{V}_{el-el} + \hat{V}_{ion-el} \right) \Psi = i\hbar \frac{\partial}{\partial t} \Psi \quad . \quad (1.2)$$

La ragione che ci induce a concentrarci, per il momento, sulla risoluzione dell'equazione per gli elettroni nasce dal fatto che gran parte delle proprietà del sistema dipenderanno proprio dalla soluzione di questa equazione, mentre per quanto riguarda gli ioni ci basterà semplicemente conoscere la loro posizione di equilibrio (e non la funzione d'onda) principalmente per determinare i parametri dell'equazione elettronica. Se volessimo calcolare anche

il moto degli ioni questo potrebbe ad esempio essere fatto in approssimazione armonica per studiare le proprietà vibrazionali del sistema. All'interno di questa tesi comunque ci occuperemo solo dello studio delle eccitazioni elettroniche e dunque gli ioni, una volta trovata la posizione di equilibrio, saranno considerati fermi.

1.3 Il ruolo dell'interazione, le grandezze integrate e le funzioni d'onda a particella singola

L'equazione resta comunque un problema formidabile. La maggiore difficoltà che deve essere affrontato è dovuta al fatto che il nostro sistema presenta un numero di particelle molto elevato e che queste sono tra loro interagenti. La conseguenza matematica è dunque quella di avere un'equazione che presenta un numero molto elevato di variabili che devono essere studiate contemporaneamente. Entrambe le teorie che abbiamo citato in precedenza, la DFT e la teoria MBPT, sono state elaborate appunto per superare tale problema.

Il problema del numero elevato di variabili viene superato da entrambe le teorie grazie all'utilizzo delle "grandezze integrate", cioè di funzioni in cui tutte le variabili, tranne poche, sono state integrate. Si tratta della densità per la DFT e della funzione di Green per la MBPT. L'idea è quella di non voler necessariamente calcolare la funzione d'onda dell'intero sistema ma di calcolare quantità più maneggevoli, che siano però in grado di descrivere tutte le proprietà del sistema.

Anche in questo modo però tali teorie restano inutilizzabili poiché la presenza dell'interazione renderà impossibile anche il calcolo di queste due grandezze. Nell'affrontare questo problema le due teorie presentano un approccio completamente differente.

La DFT riesce in modo elegante a spostare il ruolo dell'interazione all'interno di un potenziale esterno che agisca su un sistema di particelle non interagenti. A partire da questo, che sottolineiamo in principio non ha senso fisico, vengono poi ricavate le grandezze fisiche ed in particolare la densità e l'energia dello stato fondamentale. Il pregio maggiore di questa teoria resta la semplicità delle equazioni che, a partire da essa, possono essere costruite. In particolare grazie a questo tipo di approccio si riesce a superare il problema del "Muro Esponenziale" di cui abbiamo parlato in precedenza [6]. Il limite maggiore invece è costituito dal fatto che la forma di tale potenziale non è noto e che dunque la teoria necessita di un input esterno per poter essere utilizzata.

La MBPT affronta invece il problema cercando di giungere alla soluzione attraverso un approccio di tipo perturbativo a partire dalla soluzione del sistema non interagente. Il punto di partenza di tale approccio è quello di considerare l'interazione come la grandezza perturbante del sistema. La teoria viene poi riscritta sotto forma di un set di equazioni che descrivono le grandezze fisiche caratteristiche del sistema. In questa formulazione si parte dalla soluzione del sistema non interagente e si calcolano via via le grandezze fisiche del sistema in modo iterativo. Così facendo ad ogni iterazione si aggiungono le correzioni alla soluzione del sistema non interagente dovute all'interazione. Questa teoria offre il vantaggio, dal punto di vista dell'autore, di essere più facilmente interpretabile grazie anche ai diagrammi di Feynman. Lo svantaggio è in primo luogo quello di richiedere strumenti matematici molto più raffinati e di presentare calcoli molto più complessi della DFT.

Concludiamo questo capitolo anticipando che ciò che viene fatto in pratica è utilizzare equazioni che sono il risultato dell'incrocio delle due teorie, spesso andando al di là di ciò che è stato formalmente giustificato. Ciò di cui parleremo in questa tesi infatti si avvicina spesso a quelli che sono le frontiere della ricerca e a volte i modelli utilizzati trovano giustificazione solo a posteriori nel fatto che sono in grado di prevedere in modo corretto i risultati sperimentali.

Capitolo 2

La teoria del funzionale densità

2.1 Il teorema di Hohenberg-Kohn

2.1.1 Dimostrazione del teorema

In questo capitolo presenteremo quelle che sono le basi della teoria del funzionale densità. Il punto di partenza di tale teoria è il teorema di Hohenberg-Kohn, il quale afferma che, dato un sistema fisico di particelle in cui l'interazione è fissata, esiste una relazione biunivoca tra il potenziale esterno applicato a tale sistema, la funzione d'onda dello stato fondamentale e la densità di particelle dello stato fondamentale

$$\hat{V}^{ext} \iff \Psi_0 \iff \rho_0 \quad .$$

Dimostriamo il teorema scegliendo come modello un sistema di particelle descritto dalla seguente Hamiltoniana

$$\hat{H} = \hat{T} + \hat{V}^{ext} + \hat{w} \quad ;$$

dove \hat{T} rappresenta l'operatore energia cinetica, \hat{w} è l'interazione e \hat{V}^{ext} il potenziale esterno. Immaginiamo ora che l'interazione sia fissata, mentre che il potenziale esterno possa essere libero, con la sola condizione però che lo stato fondamentale del sistema risulti non degenerare. Delle relazioni tra potenziale esterno, funzione d'onda dello stato fondamentale e densità dello stato fondamentale due sono, in principio, banali: la funzione d'onda può essere infatti ricavata a partire dal potenziale esterno risolvendo l'equazione di Schroödinger¹ e la densità dalla funzione d'onda

$$\rho_0 = \langle \Psi_0 | \hat{\rho} | \Psi_0 \rangle. \tag{2.1}$$

¹Affermiamo qui che la relazione è banale poichè nella dimostrazione del teorema siamo semplicemente interessati alla sua esistenza in principio. Resta invece non banale utilizzare in pratica tale relazione

Restano dunque da dimostrare le due relazioni inverse.

Partiamo dalla prima delle due implicazioni. Dimostreremo per assurdo che fissare per il nostro sistema uno stato fondamentale significa fissare il potenziale esterno a meno di una costante additiva, che però non riveste alcuna importanza dal punto di vista fisico poiché l'energia di un sistema può sempre essere stabilita a meno di una costante. Ipotizziamo dunque che esistano due differenti potenziali esterni che diano come soluzione lo stesso stato fondamentale

$$\begin{aligned} (\hat{T} + \hat{w} + \hat{V}^{ext})|\Psi_0\rangle &= E_0|\Psi_0\rangle \\ (\hat{T} + \hat{w} + \hat{V}'^{ext})|\Psi'_0\rangle &= E'_0|\Psi'_0\rangle \quad , \end{aligned} \quad (2.2)$$

con $|\Psi_0\rangle = |\Psi'_0\rangle$.

Se ora sottraiamo la prima equazione alla seconda otteniamo

$$(\hat{V}^{ext} - \hat{V}'^{ext})|\Psi_0\rangle = (E_0 - E'_0)|\Psi_0\rangle \quad .$$

Applicando ad entrambe le equazioni l'operatore $\langle\Psi_0|$ e assumendo che la funzione d'onda sia normalizzata ad uno otteniamo

$$V^{ext}(\mathbf{x}) - V'^{ext}(\mathbf{x}) = (E_0 - E'_0) \quad , \quad (2.3)$$

il che dimostra appunto, assumendo che le funzioni d'onda siano eventualmente uguali a zero solo in regioni dello spazio di misura nulla, che i due potenziali possono differire al più di una semplice costante additiva.

Dimostriamo ora la seconda implicazione, vale a dire che fissata la densità risulta stabilita anche la funzione d'onda. A questo scopo dimostriamo che due funzioni d'onda differenti non possono generare la stessa densità, in altre parole che fissato $|\Psi_0\rangle \neq |\Psi'_0\rangle$ risulterà $\rho_0 \neq \rho'_0$. Per la dimostrazione utilizziamo il fatto che $|\Psi_0\rangle$ è lo stato fondamentale del sistema e dunque lo stato a minima energia:

$$E_0 = \langle\Psi_0|\hat{H}|\Psi_0\rangle < \langle\Psi'_0|\hat{H}|\Psi'_0\rangle \quad ,$$

dove $\hat{H} = \hat{T} + \hat{w} + \hat{V}^{ext}$ è l'Hamiltoniana associata al potenziale esterno che ha $|\Psi_0\rangle$ come ground state. Riscriviamo ora l'equazione come

$$\langle\Psi'_0|\hat{H}' - \hat{V}'^{ext} + \hat{V}^{ext}|\Psi_0\rangle = E'_0 + \int d^3\mathbf{r} \rho'(\mathbf{r})[V^{ext}(\mathbf{r}) - V'^{ext}(\mathbf{r})] \quad , \quad (2.4)$$

dove $\hat{H}' = \hat{T} + \hat{w} + \hat{V}'^{ext}$ e abbiamo utilizzato il fatto che l'operatore potenziale è un operatore moltiplicativo in spazio (\mathbf{r}) . Otteniamo così la seguente relazione

$$E_0 < E'_0 + \int d^3\mathbf{r} \rho'(\mathbf{r})[V^{ext}(\mathbf{r}) - V'^{ext}(\mathbf{r})] \quad . \quad (2.5)$$

Ripetendo lo stesso ragionamento partendo dalla funzione d'onda $|\Psi'_0\rangle$ otteniamo l'equazione

$$E'_0 < E_0 + \int d^3\mathbf{r} \rho(\mathbf{r}) [V'^{ext}(\mathbf{r}) - V^{ext}(\mathbf{r})] \quad .$$

Se infine ipotizziamo che $\rho(\mathbf{r}) = \rho'(\mathbf{r})$ e sommiamo le due equazioni otteniamo

$$E_0 + E'_0 < E_0 + E'_0 \quad ,$$

il che è ovviamente impossibile.

Ciò che abbiamo sin qui dimostrato è in realtà che le seguenti mappe

$$\begin{aligned} F : \hat{V}^{ext} &\rightarrow \Psi_0 \\ G : \Psi_0 &\rightarrow \rho_0 \quad , \end{aligned} \quad (2.6)$$

sono iniettive. Affinché esista invece una corrispondenza biunivoca tra funzioni d'onda, densità e potenziali abbiamo bisogno che esse siano anche suriettive. La questione potrebbe apparire superflua poiché se vogliamo utilizzare tale teoria per descrivere sistemi fisici reali (e se crediamo nella validità dell'equazione di Schroödinger) è ovvio che utilizzeremo funzioni d'onda che sono associate ad un qualche potenziale esterno. Allo stesso modo resterà dunque ovvio che utilizzeremo, per la densità, funzioni che abbiano un significato fisico e che dunque debbano essere ottenibili a partire da una qualche funzione d'onda. In realtà, poiché proprio la densità costituirà, come vedremo, il punto di partenza di tale teoria sarà ragionevole chiedersi quale debba essere lo spazio delle funzioni da cui sia necessario partire nello svolgere i calcoli. Resta dunque non banale la suriettività della seconda delle due mappe rispetto allo spazio delle funzioni.

Lo studio di tale problema necessita la formulazione di ulteriori teoremi ed una discussione di questo fatto esula dagli scopi di questo lavoro. Altro punto di cui non ci occuperemo all'interno di questa tesi è quello dell'estensione di tale teorema a sistemi che presentano uno stato fondamentale degenere. Per chi fosse interessato alla questione è possibile trovare una discussione approfondita del problema nella referenza [2].

2.1.2 Lo scopo del teorema di Hohenberg Kohn e il ruolo della densità

Come abbiamo già accennato in precedenza la densità del sistema vuole essere la grandezza da cui partire per studiare un sistema a molti corpi nell'ambito della teoria del funzionale densità. Si tratta infatti di una grandezza che, a

differenza della funzione d'onda, è funzione di una sola variabile e che dunque può essere più facilmente controllabile. L'idea per poter utilizzar il teorema appena dimostrato è quella di formulare un principio di minimo partendo proprio da questa grandezza. Utilizzando infatti la mappa inversa della funzione G possiamo costruire, in linea teorica, una funzione d'onda a partire da una data densità. Variando la densità nello spazio delle funzioni ad una variabile ci muoveremo nello spazio delle funzioni d'onda individuando tutte quelle che sono lo stato fondamentale di un qualche sistema descritto da un'Hamiltoniana del tipo

$$\hat{H}[\rho] = \hat{T} + \hat{w} + \hat{V}^{ext}[\rho] \quad ,$$

dove abbiamo indicato che il potenziale esterno sarà il funzionale della densità stabilito dall'inversione della funzione $F \cdot G$. Se ora costruiamo la seguente grandezza,

$$E = \langle \Psi[\rho] | \hat{H} | \Psi[\rho] \rangle \quad ,$$

dove però questa volta l'Hamiltoniana è quella che descrive il nostro sistema fisico e in cui dunque il potenziale esterno è fissato, otteniamo un funzionale il cui minimo corrisponderà con il prendere la funzione d'onda dello stato fondamentale e dunque la funzione d'onda e la densità che, all'interno dello schema di Hohenberg-Kohn sono legate all'Hamiltoniana di partenza e che hanno significato fisico.

Abbiamo dunque raggiunto uno dei nostri scopi, cioè quello di costruire una teoria che possa partire semplicemente dalla densità del sistema piuttosto che dalla sua funzione d'onda e quindi dalla soluzione dell'equazione di Schrödinger a molti corpi. Per trovare infatti lo stato fondamentale del nostro sistema non dovremo far altro che minimizzare, rispetto alla densità il funzionale appena costruito. Il problema di questo approccio consiste però nel fatto che il funzionale passa di fatto ancora tramite la costruzione della funzione d'onda molti corpi e che il teorema di Hohenberg-Kohn non fornisce alcun metodo pratico per costruire tale funzione. Il problema della costruzione della funzione d'onda resta in ultima analisi legato a quello del fatto che le particelle sono interagenti. Il modello che riesce a superare questo ostacolo verrà spiegato nel prossimo paragrafo ed è stato formulato un anno dopo il teorema appena dimostrato. Come abbiamo detto nell'introduzione, sebbene la grandezza fondamentale per questa teoria resti la densità del sistema, all'interno di questo modello assumeranno un ruolo fondamentale le funzioni d'onda di particella singola che sono le uniche funzioni d'onda che siamo in grado di calcolare a partire dall'equazione di Schrödinger. Sottolineiamo però che tali funzioni d'onda non avranno di fatto nessun significato fisico ma saranno semplicemente un artificio utilizzato per raggiungere i nostri scopi.

2.2 Lo schema di Kohn e Sham

2.2.1 Perchè scegliere di lavorare con un sistema non interagente

Lo schema di Kohn e Sham nasce dall'idea di utilizzare come supporto per i nostri scopi un sistema di particelle non interagenti, in modo che, nei calcoli che dovremo fare, ci troveremo a lavorare con equazioni di Schrödinger a particella singola che saremo quindi in grado di risolvere. La scelta di lavorare con le funzioni d'onda di un sistema non interagente, anziché direttamente con la densità del sistema, sembrerebbe una complicazione della teoria sin qui presentata poiché in questo modo ci troveremo a lavorare con grandezze a molte variabili e dunque dovremo nuovamente affrontare il problema del numero elevato di particelle. D'altra parte questa scelta offre il vantaggio di essere un punto di partenza migliore per introdurre delle approssimazioni che consentano di utilizzare in pratica la teoria presentata. In particolare il successo di questa scelta è in gran parte dovuto al successo dell'approssimazione LDA di cui parleremo nel capitolo 4 di questa tesi.

Anche in questo tipo di approccio la densità resta comunque la grandezza fondamentale dello schema e il punto di partenza della teoria.

2.2.2 Le equazioni di Kohn e Sham

L'idea è dunque quella di utilizzare il teorema di Hohenberg-Kohn per un sistema ausiliario in cui l'interazione è nulla. In questo modo otterremo a partire da una densità di prova una funzione d'onda di particelle indipendenti $\Psi_s[\rho]$ soluzione di un'Hamiltoniana con potenziale esterno $V_s^{ext}[\rho]$ entrambi costruiti a partire dalle mappe F_s e G_s per un sistema non interagente.

$$\left(\hat{T} + \hat{v}_s[\rho]\right) \Psi_s[\rho] = E\Psi_s[\rho] \quad . \quad (2.7)$$

L'apice "s" indica appunto il fatto che facciamo riferimento ad un sistema in cui $\hat{w} = 0$.

Vogliamo ora provare a riscrivere il funzionale della densità da cui ricaviamo l'energia del sistema nel suo minimo partendo dalla funzione d'onda $\Psi_s[\rho]$. L'idea per tale funzionale è quella di fare il valor medio dell'Hamiltoniana non interagente rispetto alla nuova funzione d'onda e di inserire poi dei termini correttivi per tener conto dell'interazione e della differenza tra la

funzione d'onda reale e quella non interagente.

$$\begin{aligned} E_s[\rho] &= \langle \Psi_s[\rho] | \hat{T} + \hat{V}^{ext} | \Psi_s[\rho] \rangle + \int \int \frac{\rho(\mathbf{r})\rho(\mathbf{r}')}{|\mathbf{r} - \mathbf{r}'|} d^3\mathbf{r} d^3\mathbf{r}' + E_{xc}[\rho] \\ &= T_s[\rho] + U^{ext}[\rho] + E_H[\rho] + E_{xc}[\rho] \quad , \end{aligned} \quad (2.8)$$

Cerchiamo di analizzare il funzionale scelto. Il primo termine è costituito dall'energia cinetica delle particelle non interagenti ($T_s[\rho]$) poiché la speranza è quella che non differisca di molto dall'energia cinetica del sistema reale. Il secondo termine è costituito dall'energia dovuta al potenziale esterno (U^{ext}) e poiché questa dipende solo dalla densità sarà identica a quella del sistema interagente. Il terzo termine è costituito dall'energia di Hartree ($E_H[\rho]$) cioè l'energia dovuta a quello che è il campo medio degli elettroni. È stato inserito poiché è l'unica parte dell'interazione che sappiamo scrivere in modo esatto sotto forma di funzionale della densità e di cui quindi sappiamo calcolare l'energia; anch'esso dipende unicamente dalla densità e corrisponde all'energia di campo medio del sistema interagente. L'ultimo termine infine viene definito come la differenza tra il funzionale costruito per il sistema interagente e i termini sin qui considerati del funzionale appena costruito. Esso in particolare tiene conto della differenza tra l'energia cinetica dei due funzionali e di quella dovuta tra l'energia di Hartree e l'energia dovuta all'interazione.

$$E_{xc}[\rho] = (T[\rho] - T_s[\rho]) + (E_w[\rho] - E_H[\rho]) \quad ,$$

dove con E_w abbiamo indicato il valor medio dell'interazione \hat{w} rispetto alla funzione d'onda del sistema interagente. Scritta in particolare l'espressione dell'interazione come

$$\hat{w} = \int \int d^3\mathbf{r} d^3\mathbf{r}' \frac{1}{|\mathbf{r} - \mathbf{r}'|} \hat{\psi}^\dagger(\mathbf{r}) \hat{\psi}^\dagger(\mathbf{r}') \hat{\psi}(\mathbf{r}') \hat{\psi}(\mathbf{r}) \quad , \quad (2.9)$$

possiamo ora definire la “funzione di correlazione a coppie”

$$g(\mathbf{r}, \mathbf{r}', [\rho]) = \frac{\langle \hat{\rho}(\mathbf{r}) \hat{\rho}(\mathbf{r}') \rangle}{\rho(\mathbf{r})\rho(\mathbf{r}')} - \frac{\delta(\mathbf{r} - \mathbf{r}')}{\rho(\mathbf{r})} \quad , \quad (2.10)$$

e scrivere in modo esplicito il valor medio $\langle w(\mathbf{r}, \mathbf{r}') \rangle$

$$E_w[\rho] = \frac{1}{2} \int d^3\mathbf{r} \int d^3\mathbf{r}' \frac{\rho(\mathbf{r})\rho(\mathbf{r}')}{|\mathbf{r} - \mathbf{r}'|} g(\mathbf{r}, \mathbf{r}', [\rho]) \quad , \quad (2.11)$$

il che ci dà un'idea della differenza di questo rispetto all'energia di Hartree.

Poiché il funzionale così costruito è identico a quello del sistema interagente se ora cerchiamo il minimo rispetto alla densità otterremo, come in

precedenza, la densità e l'energia di stato fondamentale del nostro sistema. Ciò che invece non avrà significato fisico sarà la funzione d'onda.

Possiamo ora sfruttare il fatto che stiamo studiando un sistema di particelle non interagenti e scrivere la funzione d'onda come il prodotto di funzioni d'onda di particella singola. In questo modo in particolare la densità del sistema non sarà altro che la somma dei moduli quadri delle funzioni d'onda. Pensando ora al nostro funzionale come a un funzionale composto scegliamo di minimizzarlo rispetto alle funzioni d'onda anziché rispetto alla densità. Poiché però le funzioni d'onda rispetto a cui vogliamo minimizzare il nostro funzionale non possono variare liberamente nello spazio delle funzioni d'onda (che è il prodotto tensoriale degli spazi di Hilbert di particella singola) ma devono essere ortonormali dovremo cercare un minimo vincolato. Utilizzando la teoria dei moltiplicatori di Lagrange l'equazione che dovremo risolvere sarà:

$$\sum_{i=1}^n \frac{\delta}{\delta \psi_i^*} \left(E[\rho(\psi_1, \dots, \psi_n)] + \sum_{h,k} \left(\delta_{h,k} - \lambda_{h,k} \int \psi_h(\mathbf{r}) \psi_k(\mathbf{r}) d^3\mathbf{r} \right) \right) |\psi_i\rangle = 0 . \quad (2.12)$$

Il fatto che le funzioni d'onda sono ortogonali ci permette ora di pensare all'equazione appena scritta come ad un set di n equazioni differenti. Scriviamo dunque in modo esplicito tali equazioni, poiché esse costituiscono in effetti il set di equazioni a particella singola che siamo in grado di risolvere e che cercavamo. A questo scopo utilizziamo la seguente relazione tra la derivata funzionale rispetto alle funzioni d'onda e quella rispetto alla densità

$$\frac{\delta}{\delta \psi_i^*} = \frac{\partial \rho}{\partial \psi_i^*} \frac{\delta}{\delta \rho} = \psi_i \frac{\delta}{\delta \rho} , \quad (2.13)$$

in modo da poter finalmente scrivere l'equazione a particella singola nel seguente modo:

$$\begin{aligned} \frac{\delta}{\delta \psi_i^*} T_s + \psi_i \frac{\delta}{\delta \rho} (E_H + U^{ext} + E_{xc}) &= \lambda_i \psi_i \\ \left(\hat{T} + \hat{v}_H[\rho] + \hat{V}^{ext} + \hat{v}_{xc}[\rho] \right) \psi_i &= \lambda_i \psi_i \quad . \end{aligned} \quad (2.14)$$

Siamo dunque giunti alla fine delle nostre fatiche, almeno per quanto concerne la formulazione della teoria che dovremo poi utilizzare. Cerchiamo di analizzare i termini di questa equazione e capire come possiamo pensare di utilizzarla ai nostri scopi. Come volevamo è un'equazione a particella singola, abbiamo un termine per l'energia cinetica, un termine per il campo medio, il potenziale esterno e un potenziale che tiene conto del fatto che il risultato

della nostra equazione deve essere un set di funzioni d'onda che generi una densità identica a quella di un set di particelle reali poste all'interno dello stesso potenziale esterno presente nella nostra equazione. Otteniamo dunque che, se sommiamo in un unico termine il potenziale esterno, il potenziale di Hartree e il termine di scambio e correlazione otteniamo esattamente il potenziale \hat{v}_s introdotto nell'equazione (2.7).

2.3 Alcune considerazioni

2.3.1 Lo spin

Finora abbiamo parlato di DFT prendendo in considerazione la densità e abbiamo mostrato come l'energia dello stato fondamentale del sistema possa essere espressa come funzionale di questa grandezza. Tutte le dimostrazioni sin qui eseguite restano di fatto valide se il potenziale esterno può essere espresso nella forma scelta per la dimostrazione del teorema, ovvero nel caso in cui non siano presenti campi magnetici. Se volessimo includere gli effetti di un campo magnetico, perlomeno l'accoppiamento del campo con il momento magnetico dovuto allo spin

$$\hat{V}^{ext} = \int d^3\mathbf{r} [V^{ext}(\mathbf{r})\hat{\rho}(\mathbf{r}) - \mathbf{B}(\mathbf{r}) \cdot \hat{\mathbf{m}}(\mathbf{r})] \quad (2.15)$$

dovremmo riscrivere il passaggio (2.4) nel seguente modo

$$\begin{aligned} \langle \Psi'_0 | \hat{H}' - \hat{V}'^{ext} + \hat{V}^{ext} | \Psi'_0 \rangle = E'_0 \\ + \int d^3\mathbf{r} \rho'(\mathbf{r}) [V^{ext}(\mathbf{r}) - V'^{ext}(\mathbf{r})] - \mathbf{m}[\rho'](\mathbf{r}) \cdot [\mathbf{B}(\mathbf{r}) - \mathbf{B}'(\mathbf{r})] \quad , \quad (2.16) \end{aligned}$$

il che porterebbe però ad avere un potenziale che agisce in modo non locale sulla funzione d'onda nello schema di KS [2].

Quello che dunque viene solitamente fatto è sviluppare la teoria scrivendo un funzionale della densità e della magnetizzazione (o della matrice densità di spin, il che è equivalente) in modo da poter lavorare con dei campi locali. Non riportiamo qui la dimostrazione di questa estensione dei teoremi visti; nel corso del nostro lavoro faremo comunque uso di questo funzionale

$$E = E[\rho_{\alpha\beta}] \quad , \quad (2.17)$$

poiché tale teoria viene utilizzata anche per lo studio di sistemi che presentano uno stato fondamentale spin-polarizzato.

Poiché in realtà all'interno di questo lavoro ci limiteremo a studiare sistemi collineari e perturbazioni con campi magnetici diretti secondo l'asse z sarà sufficiente studiare il seguente funzionale

$$E = E[\rho_{\uparrow}, \rho_{\downarrow}] \quad (2.18)$$

in cui l'energia è cioè funzionale delle sole componenti diagonali della matrice densità di spin. Vedremo più in dettaglio quale sia il significato di tale scelta nel capitolo 4.

Se infine volessimo inserire anche l'accoppiamento del campo magnetico con la corrente elettronica dovremmo sviluppare ulteriormente la teoria. Ciò esula però dagli scopi di questo lavoro.

2.3.2 La teoria costruita

Abbiamo costruito una teoria che possa essere utilizzata per studiare un sistema di particelle interagenti. Come volevamo siamo riusciti a semplificare l'equazione di Schroödinger in modo da dover studiare solo equazioni a particella singola, partendo da una grandezza integrata (la densità). Le quantità che siamo in grado di calcolare sono l'energia dello stato fondamentale del sistema e la sua densità. Non possiamo invece dire niente, almeno secondo giustificazione formale, della funzione d'onda.

La cosa più notevole del nostro risultato credo consista nel fatto che nei passaggi sin qui svolti non abbiamo introdotto nessuna approssimazione. Le uniche approssimazioni fin qui utilizzate sono quella di Born-Oppenheimer (di cui abbiamo già parlato) e il fatto che stiamo utilizzando un'interazione di tipo statico. Ovviamente sarebbe tutto troppo bello se potessimo accontentarci di queste due approssimazioni. La nostra teoria presenta infatti un elemento oscuro che è appunto il potenziale di scambio e correlazione (o se preferite l'energia di scambio e correlazione). Per una discussione sulla questione rimandiamo nuovamente al capitolo 4 del presente lavoro.

Una considerazione a parte merita la questione dello studio dello spettro di eccitazione del sistema. Fino ad ora infatti ci siamo limitati a parlare di energia di stato fondamentale e abbiamo sviluppato un metodo pratico, lo schema di Kohn e Sham, per poter calcolare tale grandezza. Ritornando al teorema di Hohenberg-Kohn però possiamo osservare come, poiché il potenziale esterno può essere scritto come funzionale della densità a partire da questo, tramite la soluzione dell'equazione di Schroödinger potremmo, in principio, riuscire a calcolare tutti gli stati eccitati del nostro sistema. In pratica avremmo bisogno di sviluppare un metodo, equivalente allo schema di Kohn e Sham, per il computo delle energie di eccitazione del sistema. Nel

capitolo sullo studio dello spettro di eccitazione vedremo come tale metodo pratico è in effetti costituito dalla Time-Dependent DFT (TDDFT) per quel che riguarda lo studio delle energie di eccitazione per stati che presentano lo stesso numero di particelle dello stato fondamentale. Non ci occuperemo invece dello studio delle energie di eccitazione di stati con un numero di particelle differenti dal quello del stato fondamentale. Per chi fosse interessato al problema rimandiamo come sempre alla referenza [2] e all'articolo [7].

Capitolo 3

La teoria della funzione di Green

3.1 Introduzione

In questo capitolo cercheremo di introdurvi a quella che è la “Many Body Perturbation Theory” o se preferite “Teoria della funzione di Green”. Per la comprensione del capitolo sarà richiesta, oltre che la conoscenza della meccanica quantistica secondo la formulazione di Schroödinger anche il formalismo matematico della seconda quantizzazione e dunque la definizione di operatore di campo. Cercheremo di delineare tutti quei passaggi che portano alla costruzione delle formule matematiche che verranno poi utilizzate all’interno di questo lavoro e, per quanto possibile di riportare anche una dimostrazione dei teoremi che via via citeremo. Poiché d’altro canto questa teoria è di fatto molto più elaborata della DFT non ci sarà possibile presentare in modo semplice e lineare tutti i suoi risultati. Saremo quindi spesso costretti a rimandare il lettore ad altri libri specialistici o a pubblicazioni sull’argomento. In particolare all’interno di questa tesi faremo spesso riferimento al testo di Fetter e Walecka [1], “Quantum Theory of Many-Particle Systems” che costituisce il libro su cui ho studiato tale teoria.

3.2 La funzione di Green

3.2.1 Definizione

La MBPT cerca di descrivere il nostro sistema di particelle interagenti a partire da una grandezza integrata, la funzione di Green, così come la DFT partiva dalla densità del sistema. Se però è certo chiaro a tutti cosa sia la

densità è sicuramente più difficile spiegare cosa sia la funzione di Green. A dire il vero esistono perlomeno due differenti definizioni di questa grandezza e, non avendo ben chiaro quale sia il suo significato fisico, risulta ancora più complicato capire perché le differenti definizioni possano portare alla stessa grandezza. La scelta che faremo all'interno di questo lavoro sarà quella di presentare innanzi tutto la funzione di Green secondo la definizione che è alla base della MBPT. A partire da questa cercheremo di capire quale possa essere il suo significato fisico e quale sia il motivo per cui sia stata scelta tale grandezza per descrivere il nostro sistema. Il riferimento all'altro modo in cui è possibile definire tale funzione verrà fatto unicamente in un secondo momento per aiutarci nella comprensione del significato fisico di tale grandezza.

La funzione di Green è dunque definita nel seguente modo:

$$iG_{\sigma_1\sigma_2}(\mathbf{x}_1, t_1; \mathbf{x}_2, t_2) = \frac{\langle \Psi_0 | T \left[\hat{\psi}_{\hat{H}, \sigma_1}(\mathbf{x}_1, t_1) \hat{\psi}_{\hat{H}, \sigma_2}^\dagger(\mathbf{x}_2, t_2) \right] | \Psi_0 \rangle}{\langle \Psi_0 | \Psi_0 \rangle} \quad (3.1)$$

$$iG(1, 2) = \frac{\langle \Psi_0 | T \left[\hat{\psi}_{\hat{H}}(1) \hat{\psi}_{\hat{H}}^\dagger(2) \right] | \Psi_0 \rangle}{\langle \Psi_0 | \Psi_0 \rangle} .$$

Nella seconda linea abbiamo introdotto la convenzione $1 = (\mathbf{x}_1, t_1, \sigma_1)$ di cui faremo uso a volte all'interno di questa tesi. Questa grandezza è in particolare la funzione di Green T -ordinata a particella singola. È dunque definita come il valor medio, rispetto allo stato fondamentale $|\Psi_0\rangle$ di un sistema descritto da un'Hamiltoniana indipendente dal tempo. Possiamo immaginare sia la stessa Hamiltoniana che abbiamo utilizzato nel presentare la DFT e dunque l'Hamiltoniana del nostro problema many-body introdotto nel primo capitolo di questa tesi

$$\hat{H} = \hat{T} + \hat{w} + \hat{V}^{ext} \quad , \quad (3.2)$$

dove ancora \hat{T} rappresenta l'operatore energia cinetica, \hat{w} l'interazione e \hat{V}^{ext} il potenziale esterno del sistema, nel nostro caso quello degli ioni. Il valor medio è fatto sugli operatori di campo in descrizione di Heisenberg (vedi paragrafo successivo). I due operatori sono sotto l'operatore di T -ordinamento, o ordinamento temporale, che è definito nel seguente modo¹

$$T \left[\hat{\psi}_{\hat{H}}(1) \hat{\psi}_{\hat{H}}^\dagger(2) \right] = \theta(t_1 - t_2) \hat{\psi}_{\hat{H}}(1) \hat{\psi}_{\hat{H}}^\dagger(2) - \theta(t_2 - t_1) \hat{\psi}_{\hat{H}}^\dagger(2) \hat{\psi}_{\hat{H}}(1) . \quad (3.3)$$

In altre parole i due operatori vengono T -ordinati facendo agire prima quello il cui argomento temporale è precedente. Il segno meno tra i 2 operatori

¹Più in generale il T -ordinamento di N operatori di campo è definito come $T[\hat{\psi}(t_3)\hat{\psi}(t_1)\hat{\psi}(t_2)] = (-1)^P \hat{\psi}(t_1)\hat{\psi}(t_2)\hat{\psi}(t_3)$ con P uguale al numero di permutazioni eseguite e con $t_1 > t_2 > t_3$

è dovuto al fatto che stiamo studiando un sistema di fermioni e che quindi gli operatori di campo sono definiti secondo regole di anti-commutazione².

3.2.2 Rappresentazione di Schroödinger, Heisenberg e interazione

Nella formulazione più semplice della meccanica quantistica, che chiamiamo rappresentazione di Schroödinger, l'evoluzione temporale del sistema è descritta dall'evoluzione delle funzioni d'onda o stati del sistema. Come noto infatti sono le funzioni d'onda a descrivere tutte le proprietà del sistema. Quando ci si trova però a dover studiare sistemi con un numero molto elevato di particelle, come abbiamo già detto, le funzioni d'onda diventano oggetti difficili da controllare e si deve dunque ricorrere ad altro. Il formalismo matematico che viene utilizzato per questo scopo è appunto quello della seconda quantizzazione. In esso parte centrale viene svolta dagli operatori e in particolare dagli operatori di campo, l'idea è dunque quella di spostare anche l'evoluzione temporale del sistema su questi oggetti. Vediamo come.

Nella formulazione di Schroödinger le funzioni d'onda sono rappresentate dalle soluzioni dell'equazione

$$i\hbar \frac{\partial}{\partial t} |\Psi_S(t)\rangle = \hat{H} |\Psi_S(t)\rangle \quad , \quad (3.4)$$

dove il pedice S indica che è la rappresentazione di Schroödinger. L'operatore evoluzione temporale in questa descrizione risulta:

$$e^{-i\frac{\hat{H}t}{\hbar}} \quad , \quad (3.5)$$

Se ora vogliamo una rappresentazione in cui l'evoluzione temporale venga tolta dagli stati (che chiamiamo rappresentazione di Heisenberg) possiamo definire

$$|\Psi_H\rangle = e^{i\frac{\hat{H}t}{\hbar}} |\Psi_H(t)\rangle \quad , \quad (3.6)$$

da cui si vede facilmente che $|\Psi_H\rangle$ è indipendente dal tempo:

$$i\hbar \frac{\partial}{\partial t} |\Psi_H\rangle = 0 \quad . \quad (3.7)$$

Se ora vogliamo imporre che le due formulazioni siano equivalenti dobbiamo richiedere che i valori medi degli operatori di Heisenberg rispetto a tali stati

²La teoria della funzione di Green è in realtà più generale e può essere utilizzata anche per lo studio di bosoni. All'interno di questa tesi ci limiteremo però a studiare la funzione di Green fermionica

siano uguali ai valori medi degli operatori di Schroödinger rispetto agli stati di Schroödinger.

$$\langle \Psi_H | \hat{O}_H | \Psi_H \rangle = \langle \Psi_S | \hat{O} | \Psi_S \rangle \quad , \quad (3.8)$$

da cui utilizzando l'inversa della formula (3.6) si vede facilmente che

$$\hat{O}_H = e^{i\frac{\hat{H}t}{\hbar}} \hat{O} e^{-i\frac{\hat{H}t}{\hbar}} \quad , \quad (3.9)$$

dove gli operatori senza pedice sono quelli in descrizione di Schroödinger.

La maggior difficoltà del problema many-body è costituita dal fatto che le particelle siano tra loro interagenti. Un punto di partenza migliore per superare tale difficoltà sarebbe quindi costituito da una descrizione che separa l'evoluzione temporale dovuta all'interazione da quella dovuta alla parte restante dell'Hamiltoniana. Vediamo come.

Immaginiamo la nostra Hamiltoniana suddivisa in due parti, entrambe indipendenti dal tempo,

$$\hat{H} = \hat{H}_0 + \hat{H}_1 \quad , \quad (3.10)$$

e definiamo lo stato come

$$|\Psi_I(t)\rangle = e^{i\frac{\hat{H}_0 t}{\hbar}} |\Psi_S(t)\rangle \quad , \quad (3.11)$$

il pedice I sta per "interazione". Vediamo ora qual'è la dipendenza dal tempo degli stati così costruiti

$$\begin{aligned} i\hbar \frac{\partial}{\partial t} |\Psi_I(t)\rangle &= -\hat{H}_0 e^{i\frac{\hat{H}_0 t}{\hbar}} |\Psi_S(t)\rangle + e^{i\frac{\hat{H}_0 t}{\hbar}} [\hat{H}_0 + \hat{H}_1] |\Psi_S(t)\rangle \\ &= e^{i\frac{\hat{H}_0 t}{\hbar}} \hat{H}_1 e^{-i\frac{\hat{H}_0 t}{\hbar}} |\Psi_S(t)\rangle \quad , \end{aligned} \quad (3.12)$$

dove abbiamo usato l'inversa della (3.11) e il fatto che $e^{i\frac{\hat{H}_0 t}{\hbar}}$ commuta con \hat{H}_0 . Lo stato è dunque ancora dipendente dal tempo ma si vede che la sua dipendenza sarà dovuta alla seconda parte dell'Hamiltoniana, moltiplicata per i due esponenziali. Richiedendo come in precedenza che anche per questa formulazione risulti

$$\langle \Psi_I | \hat{O}_I | \Psi_I \rangle = \langle \Psi_S | \hat{O} | \Psi_S \rangle \quad , \quad (3.13)$$

otteniamo

$$\hat{O}_I = e^{i\frac{\hat{H}_0 t}{\hbar}} \hat{O} e^{-i\frac{\hat{H}_0 t}{\hbar}} \quad . \quad (3.14)$$

Dunque l'evoluzione dello stato è dovuta semplicemente all'operatore \hat{H}_1 in descrizione di interazione mentre l'operatore evolve secondo il solo operatore \hat{H}_0 . Se ora scegliamo $\hat{H}_0 = \hat{T} + \hat{V}^{ext}$ e $\hat{H}_1 = \hat{w}$ abbiamo ottenuto il nostro scopo: l'evoluzione libera è stata spostata sugli operatori mentre l'evoluzione

dovuta all'interazione resta sugli stati e in particolare può essere racchiusa nell'operatore $\hat{U}(t, t_0)$ che diventa il termine rilevante della teoria.

Vediamo dunque come esprimere proprio tale operatore studiando l'evoluzione di uno stato

$$\begin{aligned} |\Psi_I(t)\rangle &= e^{i\frac{\hat{H}_0 t}{\hbar}} |\Psi_S(t)\rangle = e^{i\frac{\hat{H}_0 t}{\hbar}} e^{i\frac{\hat{H}(t-t_0)}{\hbar}} |\Psi_S(t_0)\rangle \\ &= e^{i\frac{\hat{H}_0 t}{\hbar}} e^{i\frac{\hat{H}(t-t_0)}{\hbar}} e^{-i\frac{\hat{H}_0 t_0}{\hbar}} |\Psi_I(t_0)\rangle \quad . \end{aligned} \quad (3.15)$$

È possibile infine mostrare come [1] l'operatore di evoluzione temporale così scritto può essere ricondotto ad un'espressione del tutto simile a quella dell'operatore che descrive l'evoluzione degli stati di Schroödinger, con la sola differenza che in questo caso l'Hamiltoniana che descrive l'evoluzione è dipendente dal tempo, poiché l'operatore \hat{H}_1 è in descrizione di interazione e che quindi "tutto è più complicato". Il risultato che viene dimostrato in Ref.[1] è il seguente:

$$\begin{aligned} \hat{U}(t, t_0) &= \sum_{n=0}^{+\infty} \left(\frac{i}{\hbar}\right)^n \frac{1}{n!} \int_{t_0}^t dt_1 \dots \int_{t_0}^{t_1} dt_n \hat{T}[\hat{H}_1(t_1)] \dots \hat{H}_1(t_n) \\ &= \hat{T} \left[e^{-\frac{i}{\hbar} \int_{t_0}^t \hat{H}_1(t') dt'} \right] \quad . \end{aligned} \quad (3.16)$$

L'ultima riga è un'espressione formale. In particolare tale espressione descrive l'evoluzione di un qualsiasi stato in presenza di un'Hamiltoniana dipendente dal tempo, come in effetti è lo stato in descrizione di interazione essendo soluzione della (3.12).

3.2.3 Perché la funzione di Green

La scelta di utilizzare la funzione di Green come grandezza integrata da cui partire a studiare il nostro sistema può essere motivata da diverse ragioni; uno dei motivi principali resta però il fatto che a partire da essa è possibile ricavare il valore di aspettazione rispetto al ground state di un qualsiasi operatore a particella singola e che è inoltre possibile calcolare l'energia totale del sistema.

La prima delle due affermazioni è facilmente verificabile. Consideriamo un generico operatore \hat{A} a particella singola (per comodità di notazione scegliamo un operatore indipendente dal tempo, per operatori dipendenti dal tempo la dimostrazione sarebbe identica) e scriviamone la sua rappresentazione in spazio (\mathbf{x}, σ) prima in rappresentazione di Schroödinger, quindi in

rappresentazione di Heisenberg:

$$\begin{aligned}\hat{A} &= \sum_{\sigma_1, \sigma_2} \int d^3 \mathbf{x}_1 d^3 \mathbf{x}_2 A_{\alpha, \beta}(\mathbf{x}_1, \mathbf{x}_2) \hat{\psi}_{\sigma_1}^\dagger(\mathbf{x}_1) \hat{\psi}_{\sigma_2}(\mathbf{x}_2) \\ \hat{A}_H(t) &= \sum_{\sigma_1, \sigma_2} \int d^3 \mathbf{x}_1 d^3 \mathbf{x}_2 A_{\sigma_1, \sigma_2}(\mathbf{x}_1, \mathbf{x}_2) \hat{\psi}_{\hat{H}, \sigma_1}^\dagger(\mathbf{x}_1, t) \hat{\psi}_{\hat{H}, \sigma_2}(\mathbf{x}_2, t) \quad .\end{aligned}\tag{3.17}$$

Se ora facciamo il valor medio rispetto allo stato fondamentale in descrizione di Heisenberg della seconda riga e inseriamo una variabile $t_2 \rightarrow t^+$ otteniamo (e scegliendo $t_1 = t$)

$$\langle \Psi_0 | \hat{A}_H | \Psi_0 \rangle = -i \sum_{\sigma_1, \sigma_2} \int d^3 \mathbf{x}_1 d^3 \mathbf{x}_2 \lim_{t_2 \rightarrow t^+} A_{\sigma_1, \sigma_2}(\mathbf{x}_1, \mathbf{x}_2) G_{\sigma_1, \sigma_2}(\mathbf{x}_1 t, \mathbf{x}_2 t_2) \quad .\tag{3.18}$$

Il simbolo t^+ indica un tempo che è un infinitesimo successivo all'istante t ed è stato utilizzato per garantire che la funzione di Green sia ben definita. Se infine vogliamo studiare un operatore diagonale in spazio \mathbf{x} dovremo banalmente inserire un limite $\mathbf{x}_2 \rightarrow \mathbf{x}$ in modo analogo a quanto abbiamo fatto per l'istante T . Il computo dell'energia totale del sistema risulta invece più complicata poiché per ottenere tale grandezza dobbiamo calcolare anche il valor medio di un operatore a due particelle quale è l'interazione che, in linea di principio, richiederebbe l'utilizzo di una funzione di Green a due particelle. L'ostacolo può essere però aggirato utilizzando l'equazione di Schroödinger; riportiamo il risultato che è possibile trovare sulla referenza [1]:

$$\langle \hat{w} \rangle = -\frac{i}{2} \sum_{\sigma} \int d^3 \mathbf{x} \lim_{t_2 \rightarrow t^+} \lim_{\mathbf{x}_2 \rightarrow \mathbf{x}} \left[i\hbar \frac{\partial}{\partial t} - \hat{h}_0(\mathbf{x}) \right] G_{\sigma, \sigma}(\mathbf{x}t, \mathbf{x}_2 t_2) \quad , \tag{3.19}$$

dove $\hat{h}_0 = \hat{T} + \hat{V}^{ext}$. Da questa l'energia totale del sistema nel suo stato fondamentale può essere facilmente ottenuta come la somma dei valori medi degli operatori che compongono la nostra Hamiltoniana.

3.3 Il teorema di Gell-Mann e Low

3.3.1 Introduzione: l'accensione adiabatica

Abbiamo già anticipato che delle tre rappresentazioni di cui abbiamo parlato in precedenza quella che utilizzeremo sarà la rappresentazione d'interazione. L'idea è quella di utilizzare infatti tale rappresentazione per legare in qualche modo la funzione d'onda soluzione dell'Hamiltoniana completa a quella

soluzione dell'Hamiltoniana non interagente facendo evolvere quest'ultima in descrizione di interazione.

Partiamo dalla seguente Hamiltoniana:

$$\hat{H}(t) = \hat{H}_0 + e^{-\varepsilon|t|}\hat{H}_1 \quad , \quad (3.20)$$

dove nel nostro caso \hat{H}_1 è l'interazione e $\hat{H}_0 = \hat{T} + \hat{V}^{ext}$ è l'Hamiltoniana del sistema non interagente, ε è una costante positiva arbitraria. Notiamo che per $t \gg \varepsilon^{-1}$ risulta $\hat{H}(t) \simeq \hat{H}_0$ e che per $t = 0$ invece $\hat{H}(0) = \hat{H}_0 + \hat{H}_1$. Utilizziamo ora la descrizione di interazione³ e scriviamo l'evoluzione di uno stato dal tempo t_0 al tempo t :

$$|\Psi_I(t)\rangle = \hat{U}_\varepsilon(t, t_0)|\Psi_I(t_0)\rangle \quad , \quad (3.21)$$

dove per ora lo stato $|\Psi_I(t_0)\rangle$ non è specificato. Utilizziamo quindi nuovamente la definizione (3.11) e scegliamo come stato di partenza per la descrizione di Schroödinger lo stato fondamentale del sistema non interagente. Infine scegliamo come istante iniziale un tempo $t_0 \ll \varepsilon^{-1}$ in modo che a tale istante l'evoluzione temporale dello stato fondamentale del sistema sia (quasi) quella libera e otteniamo

$$|\Psi_I(t_0)\rangle = e^{\frac{i\hat{H}_0}{\hbar}t_0}|\Psi_S(t_0)\rangle \simeq |\Phi_0\rangle \quad , \quad (3.22)$$

cioè l'autostato a energia minima del sistema non interagente (potremmo partire da un autostato qualsiasi, o anche da una qualsiasi combinazione lineare di tali autostati, ma poiché siamo interessati alla ricerca dello stato fondamentale del sistema...). Se ora facciamo il limite per $t_0 \rightarrow -\infty$ le relazioni scritte diventano esatte ed otteniamo:

$$|\Psi_I(t)\rangle = \hat{U}_\varepsilon(t, -\infty)|\Phi_0\rangle \quad , \quad (3.23)$$

siamo cioè in grado di scrivere uno stato in descrizione di interazione in un istante t arbitrario. Ciò che ci chiediamo ora è cosa accade se facciamo il limite per $\varepsilon \rightarrow 0$, poiché siamo interessati a far sparire la dipendenza da ε (non ha senso che i nostri risultati dipendano da una costante arbitraria) e poiché in questo caso l'Hamiltoniana si riduce appunto a quella che vogliamo studiare⁴.

La risposta a tale domanda è tutt'altro che banale e costituisce il risultato del teorema di Gell-Mann e Low.

³È possibile dimostrare che la (3.16) è valida anche nel caso in cui l'Hamiltoniana dipenda dal tempo

⁴Parte essenziale della teoria è che i due processi di limite vengano eseguiti nell'ordine che abbiamo indicato, e cioè prima $t_0 \rightarrow +\infty$ e poi $\varepsilon \rightarrow 0$. L'inversione dei due limiti porterebbe ad una formulazione del tutto inutile.

3.3.2 Enunciato

L'enunciato del teorema di Gell-Mann e Low è dunque:

Se la seguente quantità esiste a tutti gli ordini in teoria perturbativa

$$\lim_{\varepsilon \rightarrow 0} \frac{\hat{U}_\varepsilon(0, -\infty)|\Phi_0\rangle}{\langle\Phi_0|\hat{U}_\varepsilon(0, -\infty)|\Phi_0\rangle}, \quad (3.24)$$

è un autostato dell'Hamiltoniana $\hat{H} = \hat{H}_0 + \hat{H}_1$

Per la dimostrazione di tale teorema rimandiamo alla bibliografia [1]. Segnaliamo però come in effetti il teorema non parla di stato fondamentale dell'Hamiltoniana ma di semplice autostato. Già nel paragrafo precedente abbiamo accennato al fatto che in effetti tutto ciò che è stato fatto finora vale per un qualsiasi autostato del sistema. Il problema diventa dunque come individuare lo stato fondamentale. In precedenza abbiamo suggerito di scegliere come stato di partenza lo stato fondamentale del sistema non interagente (Φ_0 appunto). Il fatto che lo stato fondamentale non interagente porti allo stato fondamentale interagente non è in realtà garantito in alcun modo dal teorema; questo punto rappresenta anzi una delle maggiori difficoltà della MBPT ed è dovuta alla scelta di considerare l'interazione come una perturbazione del sistema.

3.4 Interpretazione fisica della funzione di Green

3.4.1 Analizziamo l'espressione

Cerchiamo ora di dare un'interpretazione fisica alla funzione di Green analizzandone l'espressione in descrizione di interazione. Partiamo dunque dal considerare uno stato $|\Psi_I(t')\rangle$ a cui aggiungiamo una particella nel punto $(\mathbf{x}'t')$ in modo da ottenere lo stato $\psi_I^\dagger(\mathbf{x}'t')|\Psi_I(t')\rangle$. Facciamo quindi evolvere lo stato dal tempo t' al tempo t utilizzando l'operatore di evoluzione temporale in questa descrizione (3.16) $\hat{U}(t, t')\psi_I^\dagger(\mathbf{x}'t')|\Psi_I(t')\rangle$.

Ora per un istante qualsiasi $t > t'$ consideriamo qual'è la sovrapposizione dello stato così ottenuto rispetto allo stato che si ottiene creando una particella nel punto $(\mathbf{x}t)$, $\psi_I^\dagger(\mathbf{x}t)|\Psi_I(t)\rangle$. Il risultato sarà appunto la funzione di Green per $t > t'$. Per $t < t'$ è possibile fare un ragionamento analogo a quello sin qui svolto, considerando la creazione di una buca all'istante t fatta poi evolvere fino all'istante t' .⁵

⁵Questa situazione può anche essere interpretata come una particella creata al tempo t' che evolve indietro nel tempo. L'interpretazione è dovuta a Feynman in un suo famoso articolo

La funzione di Green descrive quindi il propagarsi di una particella (o di una buca) creata all'interno del gas elettronico e che quindi interagisce con esso. Più in particolare essa ci dà la probabilità di trovare una particella (o una buca), creata nel punto $(\mathbf{x}'t')$, nel punto $(\mathbf{x}t)$.

3.4.2 L'equazione del moto e confronto con la definizione classica di funzione di Green

Per scrivere l'equazione del moto della funzione di Green non dobbiamo far altro che applicare l'operatore di derivazione rispetto al tempo alla definizione (3.1), svolgere quindi in modo esplicito la derivazione dei vari termini (la funzione $\theta(t)$ e l'operatore di campo), utilizzare l'equazione del moto per gli operatori in descrizione di Heisenberg

$$\frac{\partial \hat{\psi}_H^\dagger(t)}{\partial t} = -i\hbar[\hat{H}, \hat{\psi}_H^\dagger(t)] \quad (3.25)$$

e infine calcolare il commutatore dell'Hamiltoniana con l'operatore di campo. Non riportiamo qui la dimostrazione che, come sempre, può essere trovata nella Ref.[1] e scriviamo direttamente il risultato:

$$\left[i\hbar \frac{\partial}{\partial t} - \hat{h}_0(\mathbf{x}_1) \right] G(1, 2) = \hbar\delta(1, 2) - i\hbar w(1, 3)G(1, 3; 2, 3^+) \quad . \quad (3.26)$$

La notazione qui introdotta è l'estensione di quella già utilizzata in precedenza: $3^+ = (\mathbf{x}_3, \sigma_3, t_3^+)$. Se eliminiamo l'ultimo termine di sinistra dell'equazione ritroviamo quella che è la definizione di funzione di Green utilizzata nell'elettromagnetismo classico per la soluzione delle equazioni delle onde e che può essere facilmente interpretata come il campo generato da una sorgente di tipo deltiforme (nello spazio e nel tempo). Il termine che compare in più non rappresenta nient'altro che una "correzione" a tale definizione. Tale correzione è dovuta al fatto che il campo fermionico (a differenza di quello elettromagnetico classico) "interagisce con se stesso". Alla luce di questa analogia possiamo capire l'interpretazione che in precedenza abbiamo fatto della funzione di Green. Il creare una particella nel punto $(\mathbf{x}'t')$ corrisponde al porre una sorgente puntiforme nello spazio e nel tempo che poi si propaga all'interno del gas elettronico.

Ora l'analogia si arresta qui poiché nei due casi le funzioni di Green vengono utilizzate in modo differente.

Per quanto riguarda l'elettromagnetismo classico viene utilizzato il principio di sovrapposizione per ottenere il campo in presenza di una certa densità di carica attraverso l'integrale di convoluzione della funzione di Green con

tale densità; oltre che alla densità sorgente la soluzione dell'equazione viene poi definita imponendo le condizioni al contorno nello spazio e nel tempo.

Nel caso fermionico non ha più senso parlare di sorgente del campo (o perlomeno non è in questo modo che si procede). Ciò a cui siamo interessati è la funzione di Green stessa che descrive il modo in cui il campo si propaga mentre interagisce con se stesso. Ancora una volta la difficoltà principale nasce dalla presenza dell'interazione e quindi del termine in più che in precedenza non compariva. Vediamo infatti come la funzione di Green a una particella, a causa della presenza dell'interazione sia legata a quella a due particelle; allo stesso modo per una funzione di Green a n particelle si ricava un'equazione del moto che conterrà una funzione di Green a $n + 1$ particelle. Per superare il problema dovremo dunque cercare di esprimere in modo diverso l'interazione che come sempre è la causa di tutte le nostre difficoltà. Vedremo nei paragrafi successivi come ciò sarà fatto.

3.5 La rappresentazione di Lehmann

Prima di procedere con la presentazione della teoria many-body ci vogliamo soffermare sull'espone quella che è la rappresentazione di Lehmann della funzione di Green. In questa sezione le funzioni d'onda vanno intese in rappresentazione di Heisenberg. L'idea è semplicemente quella di partire dalla funzione di Green e di inserire tra la coppia di operatori di campo l'operatore identità scritto come:

$$\hat{I} = \sum_J |\Psi_J\rangle\langle\Psi_J| \quad , \quad (3.27)$$

dove $|\Psi_J\rangle$ sono gli autostati dell'Hamiltoniana completa⁶.

$$iG(1, 2) = \sum_{J \neq 0} \langle\Psi_0|\hat{\psi}_H^\dagger(1)|\Psi_J\rangle\langle\Psi_J|\hat{\psi}_H(2)|\Psi_0\rangle\Theta(t_1 - t_2) - \langle\Psi_0|\hat{\psi}_H(2)|\Psi_J\rangle\langle\Psi_J|\hat{\psi}_H^\dagger(1)|\Psi_0\rangle\Theta(t_2 - t_1) \quad . \quad (3.28)$$

Notiamo che nella sommatoria non compare il termine per $J = 0$ poiché il valor medio sullo stato fondamentale di un operatore di campo è nullo dato che l'Hamiltoniana scelta commuta con l'operatore numero di particelle. Ora, sfruttiamo il fatto che le funzioni d'onda sono autostati dell'Hamiltoniana

⁶Abbiamo preso la funzione d'onda dello stato fondamentale normalizzata

completa otteniamo:

$$iG(1, 2) = \sum_J \langle \Psi_0 | \hat{\psi}_{\sigma_1}^\dagger(\mathbf{x}_1) | \Psi_J \rangle \langle \Psi_J | \hat{\psi}_{\sigma_2}(\mathbf{x}_2) | \Psi_0 \rangle \Theta(t_1 - t_2) e^{-i\hbar^{-1}(E_J - E_0)(t_1 - t_2)} - \\ \langle \Psi_0 | \hat{\psi}_{\sigma_2}(\mathbf{x}_2) | \Psi_J \rangle \langle \Psi_J | \hat{\psi}_{\sigma_1}^\dagger(\mathbf{x}_1) | \Psi_0 \rangle \Theta(t_2 - t_1) e^{-i\hbar^{-1}(E_J - E_0)(t_2 - t_1)} .$$

Scrivendo infine la funzione Θ come

$$\Theta(t - t') = \frac{1}{2\pi i} \lim_{\eta \rightarrow 0} \int_{-\infty}^{+\infty} \frac{e^{-i\omega(t-t')}}{\omega + i\eta} d\omega \quad (3.29)$$

e applicando la trasformata di Fourier otteniamo:

$$G_{\sigma_1\sigma_2}(\mathbf{x}_1, \mathbf{x}_2, \omega) = \sum_J \frac{\langle \Psi_0 | \hat{\psi}^\dagger(\mathbf{x}_1) | \Psi_J \rangle \langle \Psi_J | \hat{\psi}(\mathbf{x}_2) | \Psi_0 \rangle}{\omega - \omega_J + i\eta} + \\ - \frac{\langle \Psi_0 | \hat{\psi}(\mathbf{x}_2) | \Psi_J \rangle \langle \Psi_J | \hat{\psi}^\dagger(\mathbf{x}_1) | \Psi_0 \rangle}{\omega + \omega_J - i\eta} , \quad (3.30)$$

dove abbiamo definito $\hbar\omega_J = (E_J - E_0)$. Questo modo di scrivere la funzione di Green nello spazio delle frequenze ci permette di individuarne i poli come la differenza tra l'energia dello stato fondamentale e quella di un qualsiasi stato che presenti una particella in più o in meno di tale stato. Il fatto che consideriamo solo gli stati che abbiano una particella in più o in meno dello stato eccitato dipende dal fatto che stiamo considerando gli elementi di matrice degli operatori di campo che creano o distruggono una particella.

La funzione di Green potrebbe costituire quindi, in principio, un metodo per ottenere le eccitazioni del sistema, per stati con $N \pm 1$ particelle, a partire dalla DFT e in particolare dal teorema di Hohenberg-Kohn, dato che la funzione di Green è calcolata come valor medio rispetto allo stato fondamentale del sistema. D'altra parte, ancora una volta, il teorema di Hohenberg-Kohn non fornisce un metodo pratico per la costruzione della funzione d'onda e dunque per il calcolo dello spettro di eccitazione del sistema. Lo schema di Kohn e Sham non è infatti qui applicabile dato che l'espressione necessita della funzione d'onda multi corpi del sistema. In effetti non è a tutt'oggi ancora stato sviluppato un metodo pratico, per la DFT, che permetta di accedere alle energie di eccitazione che con $N \pm 1$ particelle. Per ulteriori approfondimenti sull'argomento si veda la referenza [2].

3.6 Il teorema di Wick

3.6.1 Introduzione al teorema

Ora che abbiamo trovato un modo di esprimere lo stato fondamentale del sistema interagente a partire dallo stato fondamentale del sistema in cui $\hat{w} = 0$ vogliamo utilizzare questo risultato per calcolare la funzione di Green. Dalla definizione di funzione di Green otteniamo:

$$\frac{\langle \Psi_0 | T \left[\hat{\psi}_H^\dagger(1) \hat{\psi}_H(2) \right] | \Psi_0 \rangle}{\langle \Psi_0 | \Psi_0 \rangle} = \lim_{\varepsilon \rightarrow 0} \frac{D}{D} \frac{\langle \Phi_0 | \hat{U}_\varepsilon(+\infty, 0) T \left[\hat{\psi}_H^\dagger(1) \hat{\psi}_H(2) \right] \hat{U}_\varepsilon(0, -\infty) | \Phi_0 \rangle}{\langle \Phi_0 | \hat{U}_\varepsilon(+\infty, 0) \hat{U}_\varepsilon(0, -\infty) | \Phi_0 \rangle} . \quad (3.31)$$

Definiamo quindi l'operatore $\hat{S}_\varepsilon = \hat{U}_\varepsilon(+\infty, -\infty)$ e riscriviamo gli operatori di campo in rappresentazione di interazione e otteniamo:

$$\lim_{\varepsilon \rightarrow 0} \frac{\langle \Phi_0 | T \left[\hat{U}_\varepsilon(+\infty, t) \hat{\psi}_I^\dagger(1) \hat{U}_\varepsilon(t_1, t_2) \hat{\psi}_I(2) \hat{U}_\varepsilon(t_2, -\infty) \right] | \Phi_0 \rangle}{\langle \Phi_0 | \hat{S}_\varepsilon | \Phi_0 \rangle} , \quad (3.32)$$

dove gli operatori unitari $\hat{U}_\varepsilon(+\infty, 0)$ e $\hat{U}_\varepsilon(0, -\infty)$ sono passati all'interno del T-ordinamento poiché indipendenti dal tempo. Scrivendo infine esplicitamente tutti gli operatori di evoluzione temporale e facendo alcuni "giochetti con gli indici" otteniamo quello che può essere definito "The most useful result of quantum field theory" [1]:

$$iG_{\alpha\beta}(\mathbf{x}t_x, \mathbf{y}t_y) = \sum_{n=0}^{+\infty} \left(\frac{-i}{\hbar} \right)^n \frac{1}{n!} \int_{-\infty}^{+\infty} dt_1 \dots dt_n \frac{\langle \Phi_0 | \hat{T} \left[\hat{H}_1(t_1) \dots \hat{H}_1(t_n) \hat{\psi}_{I,\alpha}^\dagger(\mathbf{x}, t_x) \hat{\psi}_{I,\beta}(\mathbf{y}, t_y) \right] | \Phi_0 \rangle}{\langle \Phi_0 | \hat{S} | \Phi_0 \rangle}$$

$$iG(1, 2) = \frac{\langle \Phi_0 | \hat{T} \left[\hat{S} \hat{\psi}_I^\dagger(1) \hat{\psi}_I(2) \right] | \Phi_0 \rangle}{\langle \Phi_0 | \hat{S} | \Phi_0 \rangle} , \quad (3.33)$$

dove nella prima riga, avendo scritto in modo esplicito l'operatore di scattering \hat{S} abbiamo usato una notazione differente per i due estremi non integrati della funzione di Green $(\mathbf{x}, \alpha, t_x)$ e (\mathbf{y}, β, t_y) per evidenziarli. Notiamo in

particolare che nell'ultima espressione è stato svolto il limite per $\varepsilon \rightarrow 0$, la cui convergenza è garantita dal fatto che gli operatori di evoluzione temporale compaiono sia al numeratore che al denominatore, in analogia a quanto accade nella dimostrazione del teorema di Gell-Mann e Low, cancellando la divergenza della fase nell'espressione. Risulta quindi $\hat{S} = \lim_{\varepsilon \rightarrow 0} \hat{S}_\varepsilon$.

Scopo del teorema di Wick è esattamente quello di valutare il T -ordinamento di un numero arbitrario di operatori di campo e dunque di valutare in modo esplicito l'ultima formula scritta.

3.6.2 Enunciato

Prima di scrivere l'enunciato del teorema dobbiamo introdurre due nuovi operatori, il primo è l' N -ordinamento (o ordinamento normale) di operatori di campo, mentre il secondo è la contrazione di coppie di operatori di campo.

L'ordinamento normale del prodotto di un numero arbitrario di operatori di campo non è altro che un riordinamento di tali operatori in cui tutti gli operatori di distruzione, ovvero quegli operatori che applicati allo stato fondamentale di un sistema danno come risultato zero, vengono spostati a destra. In altre parole

$$N [\hat{\psi}_1 \hat{\psi}_2^\dagger \hat{\psi}_3 \hat{\psi}_4^\dagger] = (-1)^P \hat{\psi}_2^\dagger \hat{\psi}_4^\dagger \hat{\psi}_1 \hat{\psi}_3 \quad , \quad (3.34)$$

dove con ψ e ψ^\dagger abbiamo indicato appunto se un operatore è di distruzione o di creazione. P indica il numero di permutazioni eseguite per ottenere la formula finale in questo esempio.

La contrazione di una coppia di operatori di campo è invece definita come la differenza tra il T -ordinamento e l'ordinamento normale di tale coppia di operatori:

$$\overline{\hat{\psi}\hat{\psi}} = T[\hat{\psi}\hat{\psi}] - N[\hat{\psi}\hat{\psi}] \quad . \quad (3.35)$$

Poniamo l'accento sul fatto che sia il T -ordinamento che l' N -ordinamento sono definiti a partire dagli operatori di campo e che possono essere facilmente estesi a qualsiasi operatore poiché un qualsiasi operatore può essere scritto utilizzando gli operatori di campo (anche se nel caso del T -ordinamento si incontrano dei problemi dovuti al fatto che esso non è ben definito per operatori a tempi uguali). L'operatore di contrazione è invece definito solo per coppie di operatori di campo, la definizione non è valida per una coppia qualsiasi di operatori.

Definiti questi operatori il teorema di Wick può essere enunciato nella seguente maniera:

“Il T -ordinamento di un numero qualsiasi di operatori di campo è uguale alla somma dell'ordinamento normale di tali operatori, più la somma su tutte le possibili coppie dell'ordinamento normale di tali operatori in cui una coppia è però “contratta”, più la somma su tutte le possibili doppie coppie di operatori dell'ordinamento normale di tali operatori in cui due coppie sono però “contratte”, più...” continuando così fino al termine in cui tutti gli operatori, tranne al più uno, sono contratti.

Tale teorema afferma in altre parole che

$$T[\hat{\psi}\hat{\psi}\hat{\psi}\hat{\psi}\dots] = N[\hat{\psi}\hat{\psi}\hat{\psi}\hat{\psi}\dots] + \sum_{\square} N[\overline{\hat{\psi}\hat{\psi}}\hat{\psi}\hat{\psi}\dots] + \sum_{\square\square} N[\overline{\hat{\psi}\hat{\psi}}\overline{\hat{\psi}\hat{\psi}}\dots] + \dots \quad (3.36)$$

L'idea del teorema è quella di spostare via via verso destra tutti gli operatori di annichilazione che poi, applicati allo stato fondamentale del sistema non interagente danno appunto risultato nullo. In questo modo restano dei termini dovuti al fatto che la commutazione di due operatori è in generale differente da zero. Poiché anche i termini in cui compaiono le somme sulle contrazioni sono N -ordinati gli unici termini non nulli, una volta applicato il valor medio sullo stato fondamentale, saranno quelli in cui tutti gli operatori sono contratti a coppie. È dunque evidente che un'espressione in cui compare un numero dispari di operatori di campo sarà identicamente nulla.

In definitiva ciò che resta da calcolare è il prodotto di coppie di operatori di campo “contratte”. Per calcolare il valore di una contrazione partiamo dalla considerazione che la contrazione di una coppia qualsiasi di operatori è un numero e non un operatore. Questa affermazione può essere dimostrata osservando che la differenza tra il T -ordinamento e l'ordinamento normale di una coppia di operatori di campo o è nulla o è pari al commutatore di tali operatori che sono entrambi numeri [1]. Se ora applichiamo l'operazione di valor medio sullo stato fondamentale a entrambi i termini della definizione di

operatore di contrazione otteniamo facilmente che:

$$\begin{aligned}
 \overline{\hat{\psi}^\dagger(1)\hat{\psi}(2)} &= ig(1, 2) \\
 \overline{\hat{\psi}(1)\hat{\psi}^\dagger(2)} &= -ig(1, 2) \\
 \overline{\hat{\psi}(1)\hat{\psi}(2)} &= 0 \\
 \overline{\hat{\psi}^\dagger(1)\hat{\psi}^\dagger(2)} &= 0 \quad ,
 \end{aligned}
 \tag{3.37}$$

dove $g(1, 2)$ la funzione di Green del sistema non interagente, ovvero l'ordine zero dell'espressione ricavata nella sezione precedente. Essa è infatti il valor medio rispetto allo stato fondamentale del sistema non interagente di una coppia di operatori di campo. È implicito che tutto il formalismo è stato sviluppato per operatori in descrizione di interazione, poiché il nostro scopo era quello di calcolare il valor medio di una serie di operatori in descrizione di interazione.

3.7 Analizziamo la funzione di Green con il teorema di Wick

3.7.1 La prima equazione di Hedin

Abbiamo finalmente a disposizione tutti gli strumenti matematici necessari per studiare la funzione di Green. Partiamo innanzi tutto dall'espressione (3.33) scrivendo in modo esplicito il termine:

$$\hat{H}_1(t_1) = \sum_{\sigma_1, \sigma_2} \int d^3\mathbf{z}_1 d^3\mathbf{z}_2 w(\mathbf{z}_1, \mathbf{z}_2) \delta(t_1 - t_2) \hat{\psi}^\dagger(\mathbf{z}_1 t_1^+) \hat{\psi}^\dagger(\mathbf{z}_2 t_2^+) \hat{\psi}(\mathbf{z}_2 t_2) \hat{\psi}(\mathbf{z}_1 t_1)
 \tag{3.38}$$

A questo punto le cose diventano “abbastanza semplici” poiché non dobbiamo far altro che contrarre in tutti i modi possibili gli operatori di campo che compaiono ad ogni ordine di tale espressione, ricordando che la contrazione di una coppia dà come risultato la funzione di Green libera. Nell'eseguire le contrazioni partiamo sempre dall'operatore di campo $\hat{\psi}_\alpha^\dagger(\mathbf{x}t_x)$ e terminiamo sempre con il termine $\hat{\psi}_\beta^\dagger(\mathbf{y}t_y)$ poiché sono evidentemente gli estremi della funzione di Green completa e sono le uniche due grandezze non integrate nell'espressione. Il risultato sarà il prodotto di convoluzione di una serie di funzioni di $G(1, 2)$ e di $w(1, 2)$ che possono essere rappresentati con i diagrammi di Feynman.

Tralasciamo i dettagli di questo procedimento e ci limitiamo a segnalare che svolgendo lo sviluppo sia per il numeratore che per il denominatore è possibile dimostrare che tutti i termini che compaiono al denominatore cancellano in modo esatto alcuni termini che compaiono al numeratore ed in particolare vengono cancellati tutti quei termini che contengono diagrammi di vuoto, dove i diagrammi di vuoto sono definiti da una serie di contrazioni che parte e termina su due punti dello spazio $N = (\mathbf{z}_N, \sigma_N, t_N)$ e $N' = (\mathbf{z}_{N'}, \sigma_{N'}, t_{N'})$ entrambi integrati.

Resta dunque intuitivo che a tutti gli ordini in teoria perturbativa potremo scrivere il risultato come una prima funzione di Green che parte dal punto $(\mathbf{x}, \alpha, t_x)$ ed arriva nel punto $1 = (\mathbf{z}_1, \sigma_1, t_1)$, più una serie di termini più un'ultima funzione di Green che parte da un punto $N = (\mathbf{z}_N, \sigma_N, t_N)$ e che termina nel punto (\mathbf{y}, β, t_y) . Raccogliendo su tutti gli ordini queste due funzioni di Green e definendo "ciò che rimane" come la self energia del sistema otteniamo la seguente equazione

$$G(1, 2) = g(1, 2) + g(1, 3)\Sigma_H(3, 4)g(4, 2) \quad , \quad (3.39)$$

dove stiamo integrando sulle variabili ripetute, il pedice alla self energia ci ricorda che il potenziale di Hartree è in essa incluso. L'ultimo passo che ci manca per scrivere l'equazione di Dyson è per la funzione di Green, che costituisce la prima equazione di Hedin, è quello di studiare il termine appena definito.

Studiando i diagrammi di Feynman è possibile mostrare che la Self-energia così definita può essere scritta come una serie di infiniti termini identici che si ripetono e quindi

$$\begin{aligned} \Sigma_H(1, 2) &= \Sigma_H^*(1, 2) + \Sigma_H^*(1, 3)g(3, 4)\Sigma_H^*(4, 2) + \\ &\quad \Sigma_H^*(1, 3)g(3, 4)\Sigma_H^*(4, 5)g(5, 6)\Sigma_H^*(6, 2) \dots \quad (3.40) \\ &= \Sigma_H^*(1, 2) + \Sigma_H^*(1, 3)g(3, 4)\Sigma_H(4, 2) \quad . \end{aligned}$$

Per la definizione di $\Sigma_H^*(1, 2)$ rimandiamo alla referenza [1]. Inserendo l'equazione appena scritta all'interno della (3.39) e usando l'equazione stessa otteniamo finalmente:

$$G(1, 2) = g(1, 2) + g(1, 3)\Sigma_H^*(3, 4)G(4, 2) \quad . \quad (3.41)$$

3.8 Equazione del moto con la self-energia

Ora che abbiamo costruito l'equazione di Dyson per la funzione di Green possiamo cercare di guardare da un nuovo punto di vista quale sia il significato

fisico delle grandezze sin qui definite. A questo scopo ci serviremo, oltre che di tale equazione, della rappresentazione di Lehmann della funzione di Green, per confrontare la funzione di Green libera e quella interagente.

Iniziamo con l'osservare che la funzione di Green libera, cioè soluzione dell'equazione

$$\left[i\hbar \frac{\partial}{\partial t} - \hat{h}_0(\mathbf{x}_1) \right] g(1, 2) = \hbar \delta(1, 2) \quad , \quad (3.42)$$

può essere facilmente scritta in rappresentazione di Lehmann come

$$g_{\sigma_1 \sigma_2}(\mathbf{x}_1, \mathbf{x}_2, \omega) = \sum_I \frac{\psi_{i\sigma_1}(\mathbf{x}_1) \psi_{i\sigma_2}^*(\mathbf{x}_2)}{\omega - \omega_i + i\eta} - \frac{\psi_{i\sigma_2}^*(\mathbf{x}_2) \psi_{i\sigma_1}(\mathbf{x}_1)}{\omega + \omega_i + i\eta} \quad , \quad (3.43)$$

dove $\hbar\omega_i = \epsilon_i - \epsilon_0$ e ϵ_i son gli autovalori di singola particella dell'Hamiltoniana \hat{h}_0 . Partendo dall'espressione (3.30) abbiamo utilizzato come base le funzioni d'onda dell'Hamiltoniana non interagente e abbiamo quindi sfruttato il fatto che esse sono il prodotto di funzioni d'onda a particella singola. Vediamo quindi che la funzione di Green non interagente è facilmente calcolabile (poiché è possibile calcolare le funzioni d'onda di particelle non interagenti) ed è più immediata la sua interpretazione fisica: i suoi poli sono le auto-energie di singola particella del sistema e a numeratore troviamo il prodotto delle funzioni d'onda e quindi la matrice densità del sistema.

Ciò che vogliamo fare ora è cercare di ottenere una formulazione simile per la funzione di Green completa. A questo scopo applichiamo l'operatore $i\hbar \frac{\partial}{\partial t} - \hat{h}_0(\mathbf{x}_1)$ all'equazione di Dyson della funzione di Green completa (3.41) ottenendo:

$$\left[i\hbar \frac{\partial}{\partial t} - \hat{h}_0(\mathbf{x}_1) \right] G(1, 2) = \hbar \delta(1, 2) + \hbar \Sigma_H^*(1, 3) G(3, 2) \quad , \quad (3.44)$$

dunque

$$\left[(i\hbar \frac{\partial}{\partial t} - \hat{h}_0(\mathbf{x}_3)) \delta(1, 3) - \hbar \Sigma_H^*(1, 3) \right] G(3, 2) = \hbar \delta(1, 2) \quad , \quad (3.45)$$

dove abbiamo utilizzato l'equazione (3.42).

È possibile dimostrare [7, 8] che se inseriamo l'espressione di Lehmann (3.30) nella (3.45) e riscriviamo il numeratore definendo le ampiezze di Lehmann come:

$$f_{J\sigma}(\mathbf{x}) = \begin{cases} \langle E_0 | \hat{\psi}_\sigma(\mathbf{x}) | E_J \rangle & \text{if } \omega_J \geq \mu \\ \langle E_J | \hat{\psi}_\sigma(\mathbf{x}) | E_0 \rangle & \text{if } \omega_J < \mu \end{cases} \quad , \quad (3.46)$$

otteniamo un'equazione del tutto simile a quella per il caso non interagente,

$$\left[(\hbar\omega_J - \hat{h}_0(\mathbf{x}_3))\delta(1,3) - \hbar\Sigma_H^*(1,3;\omega_J) \right] f_{J\sigma_3}(\mathbf{x}_3) = 0 \quad , \quad (3.47)$$

con la differenza che ora anziché il prodotto delle funzioni d'onda di particella singola abbiamo il prodotto delle funzioni $f_{J\sigma}(\mathbf{x})$ e che questa volta compare la self energia del sistema. $\hbar\omega_J = (E_J - E_0)$ risulta essere l'autostato di queste funzioni rispetto all'equazione di Schrödinger appena scritta e coincide con i poli della funzione di Green. Nelle ultime due equazioni è stata inoltre introdotta la notazione $1 = (\mathbf{x}_1, \sigma_1)$ in cui, rispetto alla notazione abituale, non è più inclusa la variabile temporale.

3.9 Le equazioni di Hedin

Lo studio della funzione di Green tramite lo sviluppo della self-energia a ordini successivi sin qui presentato porta alla formulazione di equazioni che non possono essere risolte se non nel caso del gas uniforme di elettroni poiché si ottengono delle espressioni molto complesse dal punto di vista matematico. Anche in questo caso però la soluzione può essere trovata solo per i primi ordini perturbativi e di nuovo è tutt'altro che banale. Un ulteriore problema è costituito dal fatto che abbiamo scelto di scrivere come correzioni perturbative delle quantità che non siamo sicuri siano trascurabili o piccole rispetto ad altri. Ciò si traduce in quella che può essere considerata una delle maggiori difficoltà di tutte le teorie di campo, quale è la MBPT, e che è costituita dalla presenza di termini di ordine elevato che, anziché che essere trascurabili, risultano essere divergenti. Un'esempio è costituito dal secondo ordine dell'energia del gas uniforme appunto e più in particolare dal termine che viene solitamente indicato [1] come E_2^{ring} .

Un approccio alternativo a quello sin qui introdotto, sempre basato sulle grandezze della funzione di Green e della self-energia è quello delle cinque equazioni di Hedin. L'idea è quella di trovare delle quantità che insieme alla funzione di Green e alla self-energia formino un set di equazioni chiuso. Tale set di equazioni ancora una volta risulta essere troppo complesso per essere risolto in modo esatto ma ci sono tentativi di risoluzione, attraverso l'uso dei calcolatori, in modo iterativo. L'idea per superare il problema dei termini divergenti che compaiono nella MBPT è quella di non scegliere come "grandezze fondamentali" quelle libere, $g(1,2)$ e $w(1,2)$, ma le grandezze "rivestite" $G(1,2)$ e $W(1,2)$.

Prima di procedere con la formulazione del set di equazioni di Hedin segnaliamo che il punto di partenza sarà l'espressione già scritta per la funzione di

Green grazie all'ausilio del teorema di Gell-Mann e Low. In questo caso però noteremo come, a differenza di quanto sin qui fatto, l'operatore $S(+\infty, -\infty)$ sia costruito a partire da un potenziale esterno anziché dall'interazione \hat{w} . Questo poiché utilizzeremo il teorema di Gell-Mann e Low pensando l'Hamiltoniana separata in due parti con \hat{H}_0 costituito dall'Hamiltoniana completa (interazione inclusa) e $\hat{H}_1 = \hat{\varphi}$, che rappresenta un potenziale esterno applicato al sistema. Ovviamente la funzione di Green così definita sarà differente da quella sinora definita, ritroveremo la funzione di Green sin qui studiata semplicemente ponendo il potenziale esterno pari a zero.

3.9.1 Introduzione alle equazioni

Partiamo come annunciato con lo scrivere la funzione di Green secondo la formula (3.33)

$$iG_\varphi(1, 2) = \frac{\langle \Psi_0 | \hat{T} \left[\hat{S} \hat{\psi}^\dagger(1) \hat{\psi}(2) \right] | \Psi_0 \rangle}{\langle \Psi_0 | \hat{S} | \Psi_0 \rangle}, \quad (3.48)$$

dove l'operatore \hat{S} è definito come

$$T[\hat{S}] = T \left[\exp \left(-\frac{i}{\hbar} \hat{\psi}^\dagger(1^+) \hat{\psi}(1) \varphi(1) \right) \right] \quad (3.49)$$

e lo stato rispetto a cui facciamo il valor medio è questa volta lo stato fondamentale dell'Hamiltoniana completa.

Eseguiamo ora alcuni "giochetti" che ci permettono di scrivere una relazione tra la funzione di Green a particella singola e la funzione di Green a due particelle; scriviamo innanzitutto la variazione della funzione di Green così definita rispetto al potenziale esterno $\hat{\varphi}$

$$i\delta G_\varphi(1, 2) = \frac{\langle \Psi_0 | T \left[\delta \hat{S} \hat{\psi}^\dagger(1) \hat{\psi}(2) \right] | \Psi_0 \rangle}{\langle \Psi_0 | \hat{S} | \Psi_0 \rangle} - iG_\varphi(1, 2) \frac{\langle \Psi_0 | T[\delta \hat{S}] | \Psi_0 \rangle}{\langle \Psi_0 | \hat{S} | \Psi_0 \rangle}, \quad (3.50)$$

dove abbiamo utilizzato

$$T[\delta \hat{S}] = -\frac{i}{\hbar} T \left[\hat{S} \left(\hat{\psi}^\dagger(1^+) \hat{\psi}(1) \delta \varphi(1) \right) \right], \quad (3.51)$$

quindi utilizziamo la definizione di funzione di Green a due particelle ottenendo

$$\frac{\delta G_\varphi(1, 2)}{\delta \varphi(3)} = -\hbar^{-1} G_\varphi(1, 3; 2, 3^+) + \hbar^{-1} G_\varphi(1, 2) G_\varphi(3, 3^+) \quad (3.52)$$

Possiamo finalmente valutare la nostra espressione nel caso in cui il potenziale esterno sia uguale a zero in modo da avere delle grandezze confrontabili con i risultati sin qui ottenuti per via perturbativa⁷. In particolare sostituendo l'espressione ricavata per la funzione di Green a due particelle nell'equazione del moto per la funzione di Green (3.26) otteniamo:

$$\left[i\hbar \frac{\delta}{\delta t} - \hat{h}_0(\mathbf{x}_1) \right] G(1, 2) + i w(1, 3)G(3, 3^+)G(1, 2) - i\hbar w(1, 3) \frac{\delta G(1, 2)}{\delta \varphi(3)} = \hbar \delta(1, 2) \quad . \quad (3.53)$$

Utilizziamo ora la seguente identità matematica per riscrivere l'equazione ottenuta:

$$\frac{\delta G(1, 2)}{\delta \varphi(3)} = -\hbar^{-1} G(1, 4) \frac{\delta G^{-1}(4, 5)}{\delta \varphi(3)} G(5, 2) \quad (3.54)$$

e confrontandone il risultato con l'equazione (3.45) otteniamo

$$\begin{aligned} \hbar \Sigma_H^*(1, 2) &= -i\delta(1, 2) w(1, 3)G(3, 3^+) + \\ &\quad - i w(1, 3)G(1, 4) \frac{\delta G^{-1}(4, 2)}{\delta \varphi(3)} \\ &= \delta(1, 2)v_H(1) + i w(1, 3)G(1, 4)\Gamma(4, 2; 3) \quad . \end{aligned} \quad (3.55)$$

Il primo termine è evidentemente il potenziale di Hartree, mentre il secondo termine costituisce un'espressione in forma funzionale (e non più perturbativa quindi) dei termini della self-energia oltre il potenziale di Hartree. Nell'ultima linea abbiamo già definito la funzione di vertice come

$$\Gamma(4, 2; 3) = -\frac{\delta G^{-1}(4, 2)}{\delta \varphi(3)} \quad . \quad (3.56)$$

Potremmo ora procedere con il costruire un'equazione di Dyson per la funzione vertice e ottenere così un set di 3 equazioni con tre funzioni incognite: il propagatore, la self-energia e il vertice (l'interazione libera è nota). Ciò che invece si preferisce fare è partire dall'interazione "rivestita" anziché da quella libera e costruire il set di cinque equazioni che dimostreremo nel prossimo paragrafo poiché, come già detto, l'utilizzo dell'interazione libera porta dei problemi di divergenza nella teoria.

⁷D'ora in poi tutte le funzioni di Green saranno intese valutate a potenziale esterno nullo e quando indicheremo una variazione rispetto al potenziale sottintenderemo di fare la variazione e poi valutare l'espressione a campo nullo

3.9.2 Dimostrazione delle equazioni

In questo paragrafo presenteremo la teoria così come l'abbiamo trovata in letteratura. Poiché d'altra parte crediamo che questo modo di procedere (sebbene elegante dal punto di vista matematico) impedisca in qualche modo di vedere la fisica che dietro di essa è nascosta, nel paragrafo successivo cercheremo di svolgere quelle considerazioni a nostro avviso necessarie per capire il significato delle grandezze che compaiono. Come altrove nell'esposizione della MBPT saremo dunque costretti a presentare la teoria in modo non lineare, crediamo d'altronde che sia questo il modo migliore di guardare ad essa e che entrambi i livelli di analisi siano necessari per poterla comprendere.

Iniziamo dunque con il definire un "potenziale esterno efficace" pari alla somma della perturbazione introdotta più il potenziale di Hartree

$$V(1) = \varphi(1) + v_H(1) \quad . \quad (3.57)$$

Definiamo quindi la funzione dielettrica come (vedremo più avanti il perché di questa scelta)

$$\begin{aligned} \epsilon^{-1}(1, 2) &= \frac{\delta V(1)}{\delta \varphi(2)} \\ &= \delta(1, 2) + w(1, 3)\Pi(3, 2) \quad , \end{aligned} \quad (3.58)$$

dove per la seconda linea abbiamo utilizzato la definizione classica di funzione di risposta, ricordando che la densità è pari alla parte diagonale della funzione di Green

$$\Pi(1, 2) = -i \frac{\delta G(1, 1^+)}{\delta \varphi(2)} \quad . \quad (3.59)$$

Otteniamo quindi l'interazione efficace come

$$\begin{aligned} W(1, 2) &= \epsilon^{-1}(1, 3)w(3, 2) \\ &= w(1, 2) + w(1, 3)\Pi(3, 4)w(4, 2) \quad . \end{aligned} \quad (3.60)$$

Utilizziamo ora le regole di derivazione a catena nell'equazione scritta per la funzione risposta (3.59), o polarizzazione del sistema, e scriviamo:

$$\begin{aligned} \Pi(1, 2) &= -i \frac{\delta G(1, 1^+)}{\delta V(3)} \frac{\delta V(3)}{\delta \varphi(2)} \\ &= \tilde{\Pi}(1, 2) + \tilde{\Pi}(1, 3)w(3, 4)\Pi(4, 2) \quad , \end{aligned} \quad (3.61)$$

dove abbiamo definito la polarizzazione ridotta come la derivata della densità rispetto al potenziale efficace; in questo modo abbiamo "messo in evidenza" il

ruolo del campo di Hartree. Inserendo l'ultima equazione scritta nella (3.60) otteniamo

$$W(1, 2) = w(1, 2) + w(1, 3)\Pi(3, 4)W(4, 2) \quad (3.62)$$

Utilizzando ora nuovamente la relazione (3.54) insieme alle due definizioni di funzione risposta e funzione risposta ridotta otteniamo

$$\begin{aligned} \hbar\Pi(1, 2) &= -i G(1, 3)G(4, 1^+)\Gamma(2; 3, 4) \\ \hbar\tilde{\Pi}(1, 2) &= -i G(1, 3)G(4, 1^+)\tilde{\Gamma}(2; 3, 4) \quad . \end{aligned} \quad (3.63)$$

Le due grandezze differiscono solo per il fatto che una è considerata rispetto al potenziale libero mentre l'altra rispetto al potenziale efficace. Allo stesso modo differiscono la funzione Γ e la funzione $\tilde{\Gamma}$ che abbiamo qui introdotto.

Se ora riprendiamo l'equazione per la self-energia scritta nel paragrafo precedente e utilizziamo la regola di derivazione a catena a la definizione di interazione efficace appena introdotta otteniamo⁸

$$\begin{aligned} \Sigma^*(1, 2) &= -i w(1^+, 3) \frac{\delta V(5)}{\delta \varphi(3)} \frac{\delta G^{-1}(1, 4)}{\delta V(5)} G(4, 2) \\ &= i G(1, 4)W(3, 1^+)\Gamma(4, 2; 3) \quad . \end{aligned}$$

Siamo così quasi giunti alla fine dei nostri sforzi. Ci manca ora solo di ricavare l'equazione per il vertice. Questa può essere ricavata partendo dalla definizione di funzione di vertice, utilizzando l'inverso dell'equazione del propagatore

$$g^{-1}(1, 2) = G_{\varphi}^{-1}(1, 2) + \delta(1, 2)(V_H(1) + \varphi(1)) + \Sigma^*(1, 2) \quad , \quad (3.64)$$

dove abbiamo esplicitato nuovamente il potenziale esterno per maggior chiarezza, nell'equazione per il vertice si deve poi immaginare, come sempre, di mettere il potenziale pari a zero. Utilizziamo ora le regole di derivazione a catena insieme con la relazione (3.54). In questo modo si ottiene (scriviamo qui il risultato per la funzione ridotta, ma si potrebbe fare lo stesso con la funzione Γ completa)

$$\begin{aligned} \tilde{\Gamma}(1; 2, 3) &= \delta(1, 2)\delta(1, 3) + \frac{\Sigma^*(2, 3)}{\delta V(1)} \\ &= \delta(1, 2)\delta(1, 3) + \\ &\quad \frac{1}{\hbar} \tilde{\Gamma}(1; 4, 5)G(6, 4)G(7, 5) \frac{\delta \Sigma^*(2, 3)}{\delta G(6, 7)} \quad . \end{aligned} \quad (3.65)$$

⁸Indichiamo qui con Σ^* solo il secondo termine della self energia, ovvero la self-energia meno il potenziale di Hartree $\Sigma_H^* - V_H$, per questa ragione non comparirà più, d'ora in poi, il pedice H accanto all'operatore della self-energia.

Scriviamo dunque le equazioni che abbiamo sin qui ricavato, introducendo per la scrittura finale la funzione di Green di Hartree in modo da utilizzare solo il secondo termine della come già fatto in precedenza.

$$g_H^{-1}(1, 2) = g^{-1}(1, 2) + V_H(1, 2) \quad . \quad (3.66)$$

Le equazioni di Hedin risultano quindi così scritte:

$$G(1, 2) = g_H(1, 2) + g_H(1, 3)\Sigma^*(3, 4)G(4, 2) \quad (3.67)$$

$$W(1, 2) = w(1, 2) + w(1, 3)\tilde{\Pi}(3, 4)W(4, 2) \quad (3.68)$$

$$\hbar\tilde{\Pi}(1, 2) = -i\tilde{\Gamma}(1; 3, 4)G(2, 3)G(4, 2) \quad (3.69)$$

$$\hbar\Sigma^*(1, 2) = i\Gamma(4; 1, 3)G(3, 2)W(2, 4) \quad (3.70)$$

$$\begin{aligned} \tilde{\Gamma}(1; 2, 3) &= \delta(1, 2)\delta(1, 3) + \\ &\hbar^{-1}\tilde{\Gamma}(1; 4, 5)G(6, 4)G(5, 7)\frac{\delta\Sigma^*(2, 3)}{\delta G(6, 7)} \quad . \end{aligned} \quad (3.71)$$

3.9.3 La fisica dietro le equazioni di Hedin

Prima di procedere oltre con l'esposizione della teoria sin qui esposta vorrei soffermarmi ad osservare le grandezze che abbiamo definito e cercare di capire quale sia il loro significato fisico. A questo scopo faremo uso, in modo decisivo delle regole di cambio base in seconda quantizzazione per un operatore e del concetto stesso di operatore che abbiamo precisato in appendice.

La prima domanda che mi sono posto dopo aver studiato questa teoria è perché la polarizzazione (e di conseguenza la funzione dielettrica) e l'interazione "rivestita" così definite dovrebbero coincidere con la loro definizione nell'elettromagnetismo classico. A questo scopo osserviamo più con calma le grandezze che compaiono. Innanzi tutto abbiamo un sistema di particelle che interagiscono e l'operatore che rappresenta l'interazione è il seguente

$$\hat{w} = \int \int d^3\mathbf{x}d^3\mathbf{y} \hat{\psi}^\dagger(\mathbf{x})\hat{\psi}^\dagger(\mathbf{y})w(\mathbf{x}, \mathbf{y})\hat{\psi}(\mathbf{y})\hat{\psi}(\mathbf{x}) \quad , \quad (3.72)$$

che è evidentemente un operatore a due particelle, dove $w(\mathbf{x}, \mathbf{y}) = \frac{1}{|\mathbf{x}-\mathbf{y}|}$. Il campo medio è il potenziale di Hartree ed è rappresentato dall'operatore ad una particella

$$\hat{v}_H = \int \int d^3\mathbf{x}d^3\mathbf{y} \hat{\psi}^\dagger(\mathbf{x})\frac{\rho(\mathbf{y})}{|\mathbf{x}-\mathbf{y}|}\hat{\psi}(\mathbf{x}) \quad . \quad (3.73)$$

Ipotizziamo infine, così come facciamo nella costruzione delle equazioni di Hedin, che sia presente un potenziale esterno applicato a tale sistema:

$$\hat{\varphi} = \int d^3\mathbf{x} \varphi(\mathbf{x})\hat{\psi}^\dagger(\mathbf{x})\hat{\psi}(\mathbf{x}) \quad . \quad (3.74)$$

Immaginiamo ora che il sistema si trovi nel suo stato fondamentale e di applicare una variazione del campo esterno $\delta\hat{\varphi}(\mathbf{x})$ il campo di cui risentirà una particella qualsiasi del sistema sarà dovuto alla somma del campo applicato più la variazione dell'interazione con tutte le altre particelle dovuta alla variazione della funzione d'onda delle stesse a causa del campo applicato.

$$\delta\hat{V}^{eff} = \delta\hat{\varphi} + \delta\hat{w} \quad . \quad (3.75)$$

Dove l'operatore $\delta\hat{w}$ deve rappresentare in qualche modo il campo dovuto alla variazione delle funzioni d'onda delle particelle⁹.

Cioè che nelle equazioni di Hedin è approssimare tale operatore con la variazione del campo di Hartree. Possiamo guardare all'approssimazione fatta come ad un modo di trascurare gli effetti quantistici di scambio e correlazione e tenere solo il campo medio. Se ora scriviamo esplicitamente la variazione del potenziale di Hartree

$$\delta\hat{v}_H = \int \int d^3\mathbf{x}d^3\mathbf{y} \hat{\psi}^\dagger(\mathbf{x}) \frac{\delta\rho(\mathbf{y})}{|\mathbf{x}-\mathbf{y}|} \hat{\psi}(\mathbf{x}) \quad , \quad (3.76)$$

vediamo facilmente come la funzione di risposta, che lega la variazione di densità al potenziale esterno all'ordine lineare rispetto alla densità, possa essere anche utilizzata per definire l'interazione rivestita e quindi la funzione dielettrica. Scriviamo in modo esplicito quanto affermato:

$$\delta\hat{V}^{eff} \simeq \delta\hat{\varphi} + w(1,2)\chi(2,3)\delta\hat{\varphi}(3) \quad , \quad (3.77)$$

da cui si capisce il perché della funzione dielettrica definita come la variazione del potenziale efficace rispetto al potenziale esterno.

Abbiamo parlato di approssimazione per l'interazione e abbiamo chiarito in che senso l'interazione è stata considerata in modo approssimato. Questo non ci deve però in alcun modo far pensare che la soluzione delle equazioni di Hedin sia in qualche modo approssimata! Tali equazioni sono infatti state costruite per permetterci di calcolare la funzione di Green e la sua self-energia e sono queste le due grandezze a cui dobbiamo guardare. L'interazione che compare (e con essa la polarizzazione) sono solo un mezzo per ottenere questo

⁹Formalmente non ha senso parlare di variazione di un operatore poiché esso è definito in modo unico e non dipende dalla funzione d'onda. Quello che viene fatto in pratica è cercare di costruire un operatore che possa tener conto della variazione delle funzioni d'onda del sistema e che risulti essere un operatore a particella singola. Nella presente teoria si riesce a includere solo una parte di questo effetto, il campo medio; se ad esempio guardiamo alla DFT in questa teoria tale effetto è viene incluso in modo satto per il sistema non interagente come variazione del potenziale di scambio e correlazione. Il prezzo da pagare è però che in questo caso la funzione d'onda multi-corpi non sarà quella esatta.

scopo. L'idea di utilizzare un'interazione così fatta nasce dalla necessità di una grandezza fisica che possa essere un punto di partenza migliore dell'interazione libera, ma che non deve necessariamente essere esatta. Gli effetti quantistici che non compaiono in tale grandezza saranno quindi inclusi altrove ed in particolare questo ci porta a guardare alla funzione di vertice.

L'interpretazione fisica di questa grandezza appare meno immediata delle altre (perlomeno all'autore di questa tesi) ma può essere in qualche modo delineata perlomeno in modo intuitivo. L'idea è che stiamo studiando un sistema in cui compaiono due grandezze, il campo fermionico degli elettroni e l'interazione. Per entrambe abbiamo definito "un propagatore" (possiamo immaginare l'interazione libera come il propagatore del fotone, sebbene in realtà il campo venga trattato qui in modo classico) e la sua self-energia (per l'interazione essa sarà costituita dalla polarizzazione). Appare quindi naturale la presenza di un termine che "leggi" tali "campi" e che, come detto, dovrà in qualche modo supplire al fatto che stiamo studiando il problema in modo semi-classico (o perlomeno con l'approssimazione appena indicata per quanto concerne l'interazione). Per l'interpretazione della funzione di vertice come inclusione degli effetti quantistici trascurati nella definizione dell'interazione rivestita rimandiamo alla bibliografia [1, 9].

Capitolo 4

Approssimazioni

4.1 Introduzione

Fino ad ora abbiamo presentato la formulazione esatta di due teorie per lo stato fondamentale di un sistema di elettroni interagenti. Se però vogliamo applicarle per lo studio di sistemi fisici dobbiamo necessariamente introdurre alcune approssimazioni. La necessità di eseguire tali approssimazioni nasce in modo differente per le due teorie: nel caso della DFT la necessità nasce dal fatto che non è noto il potenziale di scambio e correlazione e che dunque dovremo in qualche modo trovare una buona approssimazione per tale potenziale. Per la MBPT il problema nasce invece dal fatto che i calcoli che compaiono sono troppo complessi per poter essere risolti in modo esatto.

Le due approssimazioni che solitamente vengono utilizzate sono l'approssimazione locale o “Local Density Approximation” (LDA) per la DFT e l'approssimazione “GW” per la MBPT. La prima consiste nello scrivere il funzionale dell'energia del sistema a partire dal funzionale del gas omogeneo che può essere calcolato a partire dalla MBPT e da calcoli Montecarlo, la seconda nel risolvere le equazioni di Hedin (3.67) approssimando la funzione Γ con l'identità e dunque la Self-Energia con l'espressione $\Sigma = GW$, da cui il nome dell'approssimazione.

Nei prossimi paragrafi ci concentreremo soprattutto sulle approssimazioni necessarie all'utilizzo della DFT poichè i calcoli che faremo all'interno di questa tesi saranno svolti nell'ambito di tale teoria. La teoria MBPT resterà comunque sempre presente sia come uno dei possibili punti di partenza per la costruzione di approssimazioni per i funzionali del potenziale e dell'energia della DFT sia, come vedremo nell'ultimo capitolo di questa tesi, come possibile punto di partenza per correzioni alle approssimazioni svolte nei calcoli da noi eseguiti.

4.2 L'approssimazione locale

4.2.1 Approssimazione LDA

L'approssimazione locale costituisce una notevole semplificazione della teoria presentata e si basa sull'assunzione che la densità di energia in un punto dato del nostro sistema dipenda solamente dalla densità del gas elettronico in quel punto, da cui il nome di approssimazione locale. Facendo questo presupposto è possibile approssimare l'espressione dell'energia di scambio e correlazione come funzionale della densità nel seguente modo

$$E_{xc}[\rho] = \int d^3\mathbf{r} \rho(\mathbf{r})\epsilon_{xc}[\rho(\mathbf{r})] \simeq \int d^3\mathbf{r} \rho(\mathbf{r})\epsilon_{xc}^{hom}(\rho(\mathbf{r})) \quad , \quad (4.1)$$

dove $\epsilon_{xc}^{hom}(\rho)$ è una semplice funzione di una variabile che può essere ricavata dall'energia del sistema con densità uniforme ρ

$$\epsilon_{xc}^{hom}(\rho) = \frac{E_{xc}^{hom}(\rho)}{V\rho} \quad , \quad (4.2)$$

dove V è il volume del sistema. Il potenziale di scambio e correlazione in questo modo risulta

$$v_{xc}[\rho](\mathbf{r}) = \frac{\delta E_{xc}[\rho]}{\delta \rho(\mathbf{r})} \simeq \epsilon_{xc}^{hom}(\rho(\mathbf{r})) + \rho(\mathbf{r}) \frac{d\epsilon_{xc}^{hom}(\rho)}{d\rho} \quad . \quad (4.3)$$

Per esprimere il funzionale dobbiamo quindi scrivere qual'è l'energia del sistema omogeneo in funzione della densità. A questo scopo scegliamo innanzi tutto di separare l'energia di scambio e correlazione in due parti, un termine per l'energia di scambio ed un termine per l'energia di correlazione appunto. Il primo termine di approssimazione locale può essere ottenuto a partire dall'espressione dell'energia di scambio dell'interazione che sappiamo può essere scritto in modo esatto in funzione della matrice densità di Kohn e Sham del sistema [2].

$$E_x^{KS}[\rho] = -\frac{e^2}{4} \int d^3\mathbf{r} \int d^3\mathbf{r}' \frac{|\gamma_s(\mathbf{r}, \mathbf{r}')|^2}{|\mathbf{r} - \mathbf{r}'|} \quad . \quad (4.4)$$

dove $\gamma_s(\mathbf{r}, \mathbf{r}') = \langle \Psi_0 | \hat{\psi}^\dagger(\mathbf{r}) \hat{\psi}(\mathbf{r}') | \Psi_0 \rangle$ è appunto la matrice densità del sistema¹. Sviluppando infatti all'ordine lineare la matrice densità rispetto alla densità

¹Vediamo come la matrice densità differisca dalla funzione di Green poiché quest'ultima è definita con gli operatori in rappresentazione di Heisenberg e quindi è dipendente dal tempo.

del sistema si ottiene [2]

$$\epsilon_x^{KS} = -d_0 \rho_0^{1/3} \quad \text{con} \quad d_0 = \frac{3e^2}{4} \left(\frac{3}{\pi} \right)^{1/3} . \quad (4.5)$$

Definendo la quantità $r_s^3 = \frac{3}{4\pi\rho}$ (cioè il raggio della sfera che contiene una quantità unitaria di materia), possiamo riscrivere l'espressione come [6]:

$$\epsilon_x = -\frac{0.458 e^2}{r_s} . \quad (4.6)$$

Per la parte di correlazione una delle prime parametrizzazioni proposte in questa approssimazione è invece la seguente [6]:

$$\epsilon_c = -\frac{0.44 e^2}{r_s + 7.8 a_0} , \quad (4.7)$$

dove a_0 è il raggio di Bohr. Abbiamo dunque

$$\epsilon_{xc} = -\frac{0.458 e^2}{r_s} - \frac{0.44 e^2}{r_s + 7.8 a_0} . \quad (4.8)$$

Molte altre parametrizzazioni più sofisticate sono comunemente note [1] e sono ottenute da fits di calcoli ab-initio virtualmente esatti.

4.2.2 Approssimazione LSDA

Fino ad ora abbiamo parlato di parametrizzazioni per il funzionale $E_{xc}[\rho]$; all'interno di questa tesi faremo però principalmente uso del funzionale $E_{xc}[\rho_\uparrow, \rho_\downarrow]$ per lo studio di sistemi spin polarizzati. Il funzionale $E_{xc}[\rho]$, e dunque anche la sua approssimazione LDA, tratta in modo simmetrico la componente ρ_\uparrow e la componente $\rho_{downarrow}$ della densità e dunque se provassimo a costruire da questa i potenziali di scambio e correlazione $v_{xc}^\uparrow[\rho]$ e $v_{xc}^\downarrow[\rho]$ otterremmo

$$\begin{aligned} v_{xc}^\uparrow[\rho] &= \frac{\delta E_{xc}[\rho_\uparrow + \rho_\downarrow]}{\delta \rho_\uparrow} = \frac{\delta E_{xc}[\rho]}{\delta \rho} \frac{\delta \rho}{\delta \rho_\uparrow} = v_{xc}[\rho] \\ v_{xc}^\downarrow[\rho] &= \frac{\delta E_{xc}[\rho_\uparrow + \rho_\downarrow]}{\delta \rho_\downarrow} = \frac{\delta E_{xc}[\rho]}{\delta \rho} \frac{\delta \rho}{\delta \rho_\downarrow} = v_{xc}[\rho] . \end{aligned} \quad (4.9)$$

Appare dunque evidente che per sistemi con magnetizzazione di spin sia necessario introdurre uno schema differente per approssimare il funzionale. L'idea è quella di partire dall'energia del sistema omogeneo completamente polarizzato, dove per completamente polarizzato intendiamo che la grandezza

$$\zeta = \frac{\rho_\uparrow - \rho_\downarrow}{\rho} \quad (4.10)$$

sia pari ad 1, il che significa che tutti gli elettroni hanno spin orientato nella stessa direzione. Calcolata l'energia del sistema omogeneo imponendo $\zeta = 1$, si trovano, in approssimazione LDA, le seguenti parametrizzazioni

$$\begin{aligned} e_x(\rho, \zeta = 1) &= 2^{1/3} e_x(\rho, \zeta = 0) \\ e_c(\rho, \zeta = 1) &= 0.5 e_c(2^{4/9}\rho, \zeta = 0) \quad , \end{aligned} \quad (4.11)$$

dove con $e_{x/c}(\rho, \zeta = 0)$ abbiamo indicato la densità di energia LDA.

L'approssimazione per sistemi spin polarizzati², che chiamiamo “Local Spin Density Approximation” (LSDA), viene costruita utilizzando

$$e_{xc}(\rho, \zeta) = e_{xc}(\rho, \zeta = 0) + (e_{xc}(\rho, \zeta = 1) - e_{xc}(\rho, \zeta = 0))g(\zeta) \quad , \quad (4.12)$$

dove $g(\zeta)$ è una funzione di interpolazione che vale

$$g(\zeta) = \frac{(1 + \zeta)^{4/3} + (1 - \zeta)^{4/3} - 2}{2(2^{1/3} - 1)} \quad . \quad (4.13)$$

4.3 Perché l'approssimazione LDA funziona così bene

4.3.1 Introduzione

L'approssimazione eseguita (LDA) è basata sull'idea che il funzionale dell'energia di scambio e correlazione non differisca di molto, nella forma, da quello del sistema omogeneo. Ci si aspetterebbe dunque che un approccio di questo tipo possa essere ragionevole per sistemi in cui la densità varia lentamente. In realtà applicazioni di questa approssimazione sono state utilizzate, con ottimi risultati, anche in sistemi che sono molto lontani dall'aver un comportamento della densità lentamente variabile, come possono essere ad esempio le molecole che studieremo all'interno di questa tesi.

Il successo ottenuto può comunque essere spiegato dal fatto che l'approssimazione locale soddisfa una regola di somma che riguarda “la densità di buca di scambio e correlazione” e che la stessa densità di buca in approssimazione LDA, pur essendo di molto differente da quella reale, presenta una media sferica molto simile a quest'ultima. Nei prossimi paragrafi spiegheremo dunque più in dettaglio questi punti, partendo dal teorema di connessione adiabatica e utilizzando nella dimostrazione il teorema di Hellmann Feynman [15].

Concludiamo questa introduzione segnalando però che pur essendo un ottimo punto di partenza anche per lo studio di sistemi isolati l'approssimazione

²o per lo studio di sistemi in presenza di campo magnetico

LDA ha l'inconveniente di non presentare il corretto andamento asintotico del potenziale di scambio e correlazione; questo inconveniente sarà una delle fonti di problemi nel calcolo dello spettro di eccitazione di alcune molecole.

4.3.2 Il teorema di connessione adiabatica

Partiamo dal considerare un'Hamiltoniana \hat{H}_λ così costruita

$$\begin{aligned} \hat{H}_\lambda = \hat{T} + \sum_{\sigma} \int d^3\mathbf{r} v_\lambda(\mathbf{r}) \hat{\psi}_{\sigma}^{\dagger}(\mathbf{r}) \hat{\psi}_{\sigma}(\mathbf{r}) \\ + \frac{\lambda}{2} \sum_{\sigma\sigma'} \int \int d^3\mathbf{r} d^3\mathbf{r}' w(\mathbf{r}, \mathbf{r}') \hat{\psi}_{\sigma}^{\dagger}(\mathbf{r}) \hat{\psi}_{\sigma'}^{\dagger}(\mathbf{r}') \hat{\psi}_{\sigma}(\mathbf{r}) \hat{\psi}_{\sigma'}(\mathbf{r}') \quad , \quad (4.14) \end{aligned}$$

e per il valore $\lambda = 1$ scegliamo di prendere $v_1 = V^{ext}$, il potenziale esterno applicato al nostro sistema fisico.

Ora sfruttiamo il teorema di Hohenberg-Kohn per il sistema descritto dalla seguente Hamiltoniana e fissiamo idealmente il potenziale v_λ per tutti i valori di λ differenti da 1 in modo che risulti

$$\rho_\lambda(\mathbf{r}) = \sum_{\alpha} \langle \Psi_{\lambda}^0 | \hat{\psi}_{\sigma}^{\dagger}(\mathbf{r}) \hat{\psi}_{\sigma}(\mathbf{r}) | \Psi_{\lambda}^0 \rangle = \rho_1(\mathbf{r}) = \rho_0(\mathbf{r}) \quad , \quad (4.15)$$

In questo modo il potenziale v_0 è evidentemente $v_0 = v_{KS} = V^{ext} + v_H + v_{xc}$.

Utilizziamo ora il teorema di Hellmann-Feynman, che corrisponde alla prima riga della (4.16), e scriviamo la variazione dell'energia dello stato fondamentale del sistema, intesa come il valor medio rispetto alla funzione d'onda $|\Psi_{\lambda}^0\rangle$ dell'Hamiltoniana \hat{H}_λ , come

$$\begin{aligned} \frac{dE(\lambda)}{d\lambda} &= \left\langle \Psi_{\lambda}^0 \left| \frac{\partial \hat{H}_\lambda}{\partial \lambda} \right| \Psi_{\lambda}^0 \right\rangle \\ &= \frac{1}{2} \int \int d^3\mathbf{r} d^3\mathbf{r}' w(\mathbf{r}, \mathbf{r}') \langle \Psi_{\lambda}^0 | \hat{\rho}(\mathbf{r}) \hat{\rho}(\mathbf{r}') - \delta(\mathbf{r} - \mathbf{r}') \hat{\rho}(\mathbf{r}) | \Psi_{\lambda}^0 \rangle \\ &\quad + \frac{\partial}{\partial \lambda} \int d^3\mathbf{r} v_\lambda(\mathbf{r}) \rho(\mathbf{r}) \quad . \end{aligned} \quad (4.16)$$

L'energia dello stato fondamentale del sistema fisico, che è quella dell'Hamiltoniana a $\lambda = 1$, può ora essere scritta come

$$\begin{aligned} E(1) = E(0) + \int_0^1 d\lambda \frac{dE(\lambda)}{d\lambda} = T_s[\rho] + \int d^3\mathbf{r} V^{ext}(\mathbf{r}) \rho(\mathbf{r}) \\ + \frac{1}{2} \int \int d^3\mathbf{r} d^3\mathbf{r}' w(\mathbf{r}, \mathbf{r}') \rho(\mathbf{r}) \rho(\mathbf{r}') + E_{xc}[\rho] \quad , \quad (4.17) \end{aligned}$$

dove abbiamo definito

$$E_{xc} = \frac{1}{2} \int_0^1 d\lambda \int \int d^3\mathbf{r} d^3\mathbf{r}' w(\mathbf{r}, \mathbf{r}') [\langle \Psi_\lambda^0 | (\hat{\rho}(\mathbf{r}) - \rho(\mathbf{r})) (\hat{\rho}(\mathbf{r}') - \rho(\mathbf{r}')) | \Psi_\lambda^0 \rangle - \rho(\mathbf{r})\delta(\mathbf{r} - \mathbf{r}')] \quad . \quad (4.18)$$

Definendo ora la funzione di correlazione a coppie g_λ come estensione della (2.10) nel caso in cui la funzione d'onda dipenda da λ otteniamo

$$E_{xc} = \frac{1}{2} \int \int d^3\mathbf{r} d^3\mathbf{r}' w(\mathbf{r}, \mathbf{r}') \rho(\mathbf{r})\rho(\mathbf{r}') \int_0^1 d\lambda [g_\lambda(\mathbf{r}, \mathbf{r}', [\rho]) - 1] \quad . \quad (4.19)$$

4.3.3 La buca di scambio e correlazione

Per capire il successo dell'approssimazione LDA ci resta ora da capire cosa significhi eseguire tale approssimazione per la funzione g_λ

A questo scopo definiamo un'ulteriore grandezza

$$\varrho_{xc} = \rho(\mathbf{r}') \left[\int_0^1 d\lambda [g_\lambda(\mathbf{r}, \mathbf{r}', [\rho]) - 1] \right] \quad , \quad (4.20)$$

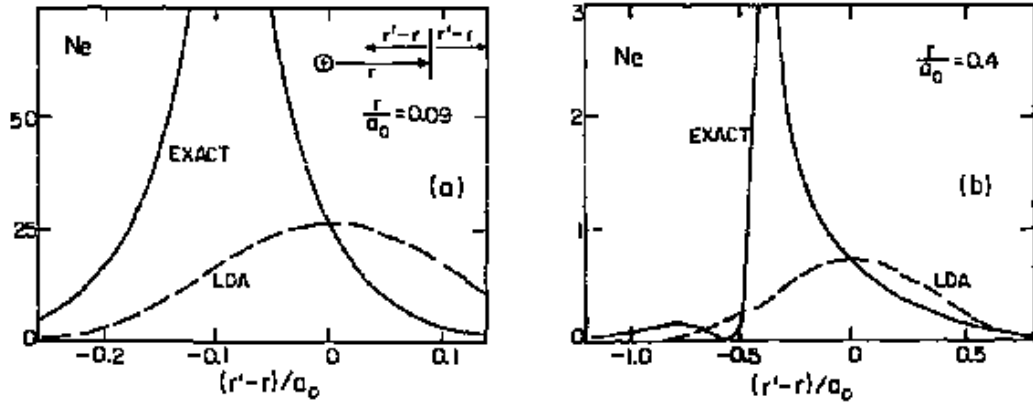
che può essere interpretata come la densità di una buca di scambio e correlazione [2]. Inserendo questa espressione nel funzionale per l'energia di scambio e correlazione è dunque possibile interpretare tale energia come un'interazione particella-buca di scambio e correlazione.

Ora è possibile mostrare che, espandendo tale densità in termini di multipolo rispetto alla distanza $\mathbf{r} - \mathbf{r}'$ solo il termine di multipolo, cioè il termine con andamento di tipo sferico, dà contributo all'energia di scambio e correlazione³ e che è sempre il termine di multipolo il solo a dare contributo alla regola di somma

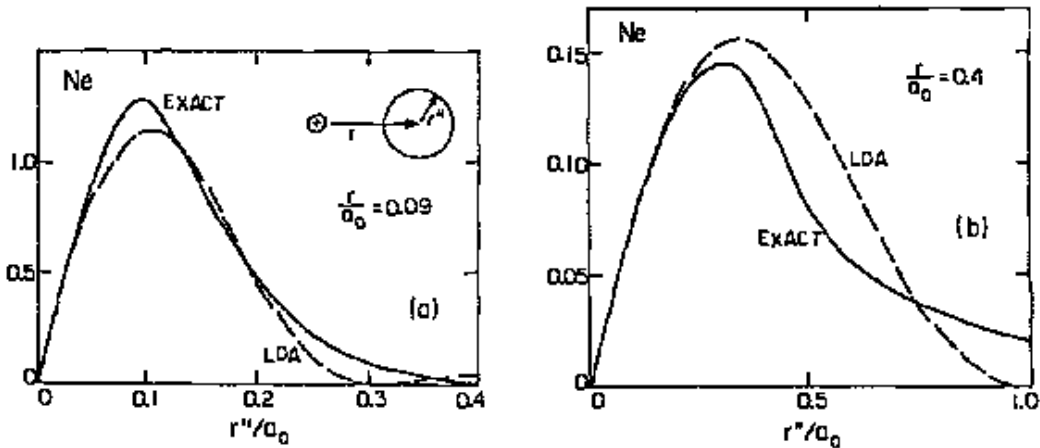
$$\int d^3\mathbf{r}' \varrho_{xc}(\mathbf{r}, \mathbf{r}') = -1 \quad . \quad (4.21)$$

Il successo dell'approssimazione LDA nasce proprio dal fatto che anche per quest'ultima ϱ_{xc} ha un andamento di tipo sferico e soddisfa alla regola di somma valida per il caso esatto. In altre parole pur essendo ϱ_{xc} molto differente da ϱ_{xc}^{LDA} per sistemi in cui la densità ρ varia rapidamente, risultano molto simili (4.1) le due grandezze ϱ_{xc}^{LDA} e ϱ_{xc}^{00} , dove con 00 abbiamo preso il termine di multipolo della buca di scambio e correlazione.

³Questo è vero solo nel caso di un'interazione che dipende soltanto da $|\mathbf{r} - \mathbf{r}'|$.



(a) Buca di scambio e correlazione



(b) Termine di monopolo della buca di scambio e correlazione. Media sferica.

Figura 4.1: Confronto tra l'andamento della densità esatta di scambio e correlazione e la sua media sferica.

4.4 Oltre l'approssimazione locale

4.4.1 L'equazione di Sham-Schluter

L'equazione di Sham-Schluter costituisce un possibile punto di partenza per la costruzione di un potenziale di scambio e correlazione nella teoria DFT a partire dalla MBPT. Essa stabilisce infatti una relazione esatta tra il potenziale di scambio e correlazione e la self-energia del sistema. Il punto di partenza per giungere a tale equazione è dato dall'osservazione che la parte

diagonale della funzione di Green coincide con la densità del sistema nello stato fondamentale che, come sappiamo, può essere calcolata nel formalismo del funzionale densità.

$$-iG(1, 1^+) = \rho(1) \quad . \quad (4.22)$$

Partendo da questa osservazione l'idea è quella di definire la funzione di Green soluzione dell'equazione del moto di KS come $G_{KS}(1, 2)$. Se ora cerchiamo di stabilire un legame tra la funzione di Green esatta e quella appena definita osservando le due equazioni del moto a cui queste soddisfano otteniamo

$$G(1, 2) = G_{KS}(1, 2) + G_{KS}(1, 3) \left(\Sigma(3, 4) - \delta(3, 4)v_{xc}(4) \right) G(4, 2) \quad . \quad (4.23)$$

Ricordiamo che della funzione di Green $G_{KS}(1, 2)$ solo la parte diagonale ha significato fisico. Utilizzando ora proprio il fatto che il termine diagonale di entrambe coincide con la densità del sistema otteniamo

$$G_{KS}(1, 3) \left(\Sigma^*(3, 4) - \delta(3, 4)v_{xc}(4) \right) G(4, 1) = 0 \quad . \quad (4.24)$$

Quella scritta è l'equazione di Sham-Schluter. Come sempre quando abbiamo a che fare con grandezze a molti corpi essa non può essere risolta in modo esatto, è necessario quindi trovarne delle soluzioni approssimate. Una possibilità è quella di trovare una soluzione linearizzata di tale equazione (il che significa approssimare nella (4.24) $G(4, 1) \simeq G_{KS}(4, 1)$); soluzione che può essere utilizzata ad esempio per ottenere un potenziale di scambio e correlazione con il corretto andamento asintotico in modo da correggere l'errore prodotto dall'approssimazione LDA [8].

Capitolo 5

Spettro di eccitazione. L'accoppiamento particella buca.

5.1 Introduzione

Fino ad ora ci siamo occupati di delineare le due teorie per lo studio dello stato fondamentale del nostro sistema ed abbiamo mostrato come da entrambe possiamo ottenere l'energia totale. Abbiamo inoltre già parlato delle energie di eccitazione del sistema per stati che presentano una particella in più o in meno dello stato fondamentale del sistemi. Non abbiamo invece detto nulla sullo spettro di eccitazione che riguarda stati che presentino lo stesso numero di particelle dello stato fondamentale poichè lo studio di tali energie comporta la necessità di tener conto di un importante effetto fisico, l'accoppiamento particella buca, che le teorie si qui formulate non sono in grado di descrivere in modo esauriente. Avremo dunque la necessità di svilupparle ulteriormente entrambe; andremo dunque verso quelle che sono le attuali frontiere delle ricerca, facendo in particolare riferimento, per quanto concerne lo stato dell'arte alle referenze [7, 3].

Per quel che riguarda la teoria many body lo spettro di eccitazione può in realtà già essere ottenuto a partire dalla rappresentazione di Lehmann della funzione risposta (o polarizzazione). Studiando però tale grandezza vedremo che compariranno delle funzioni "a quattro punti", che sono legate quindi alla funzione di Green a due particelle. Per questo motivo, se vogliamo scrivere un'equazione del tipo "equazione di Dyson" per questa grandezza avremo bisogno di definire una funzione di risposta a quattro punti. Il risultato di questo tipo di approccio sarà l'equazione di Bethe-Salpeter.

Per quel che riguarda la teoria del funzionale densità, sebbene in principio a partire dal teorema di Hohenberg-Kohn potremmo accedere allo spettro di eccitazione del sistema, di fatto abbiamo bisogno di costruire un metodo pratico per accedere a tale spettro. Come già anticipato tale metodo sarà costituito dalla TDDFT o meglio dalla Time-Dependent Density-Functional Response Theory (TD-DFRT¹). Dovremo dunque dimostrare nuovi teoremi che possano estendere la teoria al caso dipendente dal tempo.

Prima di procedere però allo sviluppo delle due teorie vogliamo introdurre la teoria della risposta lineare e mostrare come, a partire da questa, sarà possibile ricavare lo spettro di eccitazione del sistema attraverso la sua rappresentazione di Lehmann.

5.2 La teoria della risposta lineare

Consideriamo un sistema descritto da un'Hamiltoniana \hat{H} indipendente dal tempo. Immaginiamo quindi di perturbare il sistema accendendo, all'istante $t = t_0 > 0$, una perturbazione esterna dipendente dal tempo $\delta\hat{V}^{ext}(t)$ che possa essere considerata piccola. Scopo della teoria della risposta lineare è studiare come varia una grandezza fisica, all'ordine lineare, dopo l'accensione della perturbazione esterna. L'evoluzione di uno stato in descrizione di Schroödinger sarà data dalla solita funzione esponenziale per la parte di Hamiltoniana indipendente dal tempo e dall'operatore descritto nella (3.16) per la perturbazione che è dipendente dal tempo. Risulterà dunque:

$$\begin{aligned} |\Psi_S(t)\rangle &= e^{-i\hat{H}t/\hbar}\hat{U}(t, t_0)|\Psi(t_0)\rangle \\ &= e^{-i\hat{H}t/\hbar}|\Psi(t_0)\rangle + e^{-i\hat{H}t/\hbar} \int_{t_0}^t dt' \delta\hat{V}_{\hat{H}}^{ext}(t')|\Psi(t_0)\rangle + \dots \end{aligned} \quad (5.1)$$

dove abbiamo sviluppato all'ordine lineare rispetto alla perturbazione esterna l'operatore di evoluzione temporale $\hat{U}(t, 0)$. t_0 è l'istante a cui scegliamo di accendere la perturbazione esterna, mentre lo stato $\Psi(t_0)$ è autostato dell'Hamiltoniana \hat{H} ed è indipendente dal tempo: $\Psi(t_0) = \Psi(0)$. Scriviamo ora il valor medio di una grandezza qualsiasi che venga rappresentata da un operatore $\hat{O}(t)$ rispetto allo stato perturbato

$$\langle\hat{O}(t)\rangle = \langle\Psi(0)|\hat{O}_{\hat{H}}(t)|\Psi(0)\rangle + \int_{t_0}^t dt' \langle\Psi(0)|[\hat{O}_{\hat{H}}(t), \delta\hat{V}_{\hat{H}}^{ext}(t')|\Psi(0)\rangle + \dots \quad , \quad (5.2)$$

¹Per ragioni pratiche d'ora in avanti ci limiteremo a parlare di TDDFT

dove abbiamo spostato l'operatore di evoluzione temporale sull'operatore $\hat{O}(t)$ in modo che ora l'operatore sia scritto in descrizione di Heisenberg rispetto all'Hamiltoniana totale \hat{H} . In questo modo oltre alla possibile dipendenza dal tempo dell'operatore, l'operatore dipenderà dal tempo perché scritto in tale rappresentazione ($\hat{O}_{\hat{H}}(t)$)

Di particolare interesse è la risposta dell'operatore densità ad un potenziale esterno che possa essere scritto nella forma:

$$\delta\hat{V}^{ext}(t) = \sum_{\sigma} \int d^3\mathbf{x} \delta V_{\sigma}^{ext}(\mathbf{x}, t) \hat{\rho}_{\sigma}(\mathbf{x}) \quad . \quad (5.3)$$

In questo modo la formula della risposta lineare può essere scritta nel seguente modo

$$\rho_{\sigma}(\mathbf{x}, t) = \rho_{\sigma}^0(\mathbf{x}, t) + \sum_{\sigma'} \int_{-\infty}^{+\infty} dt' \int d^3\mathbf{x}' \Theta(t - t') \delta V_{\sigma'}^{ext}(\mathbf{x}'t') \langle \Psi(0) | [\hat{\rho}_{\sigma}(\mathbf{x}, t), \hat{\rho}_{\sigma'}(\mathbf{x}', t')] | \Psi(0) \rangle \quad , \quad (5.4)$$

dove l'integrazione sul tempo è stata estesa a tutto l'asse reale sfruttando il fatto che la perturbazione è nulla per $t' < t_0$ e inserendo la funzione $\Theta(t - t')$ per i tempi $t' > t$. La funzione di risposta può essere definita come (torniamo qui ad utilizzare la notazione $1 = \mathbf{x}_1, t_1, \sigma_1$):

$$\chi^R(1, 2) = \langle \Psi(0) | [\hat{\rho}(1), \hat{\rho}(2)] | \Psi(0) \rangle \Theta(t_1 - t_2) \quad . \quad (5.5)$$

In questo modo risulta infatti

$$\delta\rho(1) = \chi^R(1, 2) V^{ext}(2) \quad , \quad (5.6)$$

dove stiamo integrando sulle variabili ripetute. Troviamo così la definizione classica di funzione risposta come la variazione della densità rispetto ad una perturbazione esterna applicata.

Quella che abbiamo qui definito è in realtà la funzione di risposta “ritardata”. Fino ad ora avevamo invece lavorato con grandezze “T-ordinate”, poiché queste sono le uniche che possiamo sviluppare utilizzando in teorema di Wick e quindi i diagrammi di Feynman. La polarizzazione o funzione di risposta T-ordinata infatti, se calcolata esplicitamente utilizzando la definizione (3.61) risulta pari a

$$\chi(1, 2) = \langle \Psi(0) | T [\delta\hat{\rho}(1) \delta\hat{\rho}(2)] | \Psi(0) \rangle \quad , \quad (5.7)$$

dove $\delta\hat{\rho} = \hat{\rho} - \rho^0$ è l'operatore fluttuazione rispetto alla densità media $\rho^0 = \langle \Psi(0) | \hat{\rho} | \Psi(0) \rangle$.

I due tipi di grandezze possono in realtà essere ricollegate (insieme con le grandezza “avanzate”) utilizzando la rappresentazione di Lehmann delle stesse. Vediamo come nel prossimo paragrafo.

5.2.1 La rappresentazione di Lehmann della funzione risposta

Riprendiamo la definizione di rappresentazione di Lehmann (3.30) della funzione di Green e svolgendo passaggi del tutto analoghi a quelli già svolti per tale grandezza otteniamo la rappresentazione di Lehmann delle due funzioni risposta. La sola differenza sarà questa volta data dal fatto che il termine $I = 0$ non compare poiché viene cancellato in modo esatto sia nella funzione T-ordinata che in quella ritardata. Scriviamo dunque i due risultati

$$\chi^R(\mathbf{x}, \mathbf{x}', \omega) = \sum_{I \neq 0} \frac{\langle \Psi_0 | \hat{n}(\mathbf{x}) | \Psi_I \rangle \langle \Psi_I | \hat{n}(\mathbf{x}') | \Psi_0 \rangle}{\omega - \omega_I + i\eta} - \frac{\langle \Psi_0 | \hat{n}(\mathbf{x}') | \Psi_I \rangle \langle \Psi_I | \hat{n}(\mathbf{x}) | \Psi_0 \rangle}{\omega + \omega_I + i\eta}, \quad (5.8)$$

$$\chi(\mathbf{x}, \mathbf{x}', \omega) = \sum_{I \neq 0} \frac{\langle \Psi_0 | \hat{n}(\mathbf{x}) | \Psi_I \rangle \langle \Psi_I | \hat{n}(\mathbf{x}') | \Psi_0 \rangle}{\omega - \omega_I + i\eta} - \frac{\langle \Psi_0 | \hat{n}(\mathbf{x}') | \Psi_I \rangle \langle \Psi_I | \hat{n}(\mathbf{x}) | \Psi_0 \rangle}{\omega + \omega_I - i\eta}. \quad (5.9)$$

Vediamo come la funzione ritardata e la seconda funzione T-ordinata differiscano solo per il segno della parte immaginaria a denominatore.

Lo spettro di eccitazione ω_I scritto a denominatore della (5.8) e della (5.9) è costituito dagli autovalori di tutti quegli stati che hanno lo stesso numero di particelle del ground-state (poiché l'operatore densità commuta con l'operatore numero di particelle) relativo all'energia dello stato fondamentale: $\omega_I = E_I - E_0$. Per poter ottenere dunque tali valori non dobbiamo far altro che calcolare i poli di tale grandezza. Vediamo infine come la funzione ritardata e la funzione T-ordinata differiscano solo per il segno della parte immaginaria a denominatore.

5.3 L'approccio many-body

5.3.1 Perché la funzione di Green a particella singola non è sufficiente

L'idea per poter studiare la funzione risposta è quella di scrivere un'equazione di tipo Dyson per tale grandezza; nell'ambito dell'approccio many-body delle due grandezze studieremo la funzione risposta T-ordinata. A questo scopo riscriviamo l'equazione di Hedin (3.63) per la polarizzazione inserendo al posto

del vertice Γ la sua equazione di Hedin (3.65) nella versione completa

$$\Gamma(1; 2, 3) = \delta(1, 2)\delta(1, 3) + \frac{1}{\hbar}\Gamma(1; 4, 5)G(6, 4)G(7, 5) \\ \frac{\delta}{\delta G(6, 7)} [\delta(2, 3)v_H(3) + \Sigma^*(2, 3)] \quad . \quad (5.10)$$

In questo modo otteniamo

$$\Pi(1, 2) = G(1, 2)G(2, 1) + G(1, 3)G(1, 4) \\ \frac{\delta}{\delta G(5, 6)} [\delta(2, 3)v_H(3) + \Sigma^*(3, 4)]G(5, 7)G(6, 8)\Gamma(7, 8; 2) \quad . \quad (5.11)$$

Se ora cerchiamo di ricavare un'equazione di tipo Dyson per la polarizzazione, definendo la grandezza $\Pi_0(1, 2) = G(1, 2)G(2, 1)$ come ordine zero del nostro sviluppo, ci accorgiamo immediatamente che non è possibile ottenere il nostro obiettivo poiché le due funzioni di Green che compaiono a sinistra della derivata funzionale non sono chiuse, così come non lo sono le due funzioni di Green che compaiono a sinistra della stessa derivata funzionale. Se così fosse potremmo infatti riscrivere l'equazione appena ricavata utilizzando la (3.63) e la definizione appena introdotta di Π_0 :

$$\Pi = \Pi_0 + \Pi_0 K \Pi \quad , \quad (5.12)$$

con la grandezza K (il kernel dell'equazione) definita da

$$K(1, 2; 3, 4) = \frac{\delta}{\delta G(3, 4)} [\delta(1, 2)v_H(2) + \Sigma^*(1, 2)] \quad . \quad (5.13)$$

Il problema è che compare una grandezza sconosciuta, un kernel a quattro punti; fatto che in qualche modo è legato alla forma dell'operatore di interazione, che è un operatore a due particelle e che porta alla comparsa di grandezze a quattro punti come avevamo già visto nell'equazione del moto per la funzione di Green (3.26) in cui compare la funzione di Green a due particelle. Nello sviluppare la teoria per il ground-state siamo riusciti a superare questa difficoltà introducendo la self-energia del sistema e quindi le equazioni di Hedin. Sebbene anche in questa formulazione compaia lo stesso termine a quattro punti nell'equazione per il vertice, termine che costituisce la fonte di tutte le difficoltà che si incontrano del tentativo di risolvere tale set di equazioni in modo esatto, per lo studio del ground state è possibile fare approssimazioni (l'approssimazione GW) che ci permettano di lavorare semplicemente con grandezze a due punti.

Cercando di calcolare lo spettro di eccitazione del sistema non è invece più conveniente continuare a formulare la teoria in termini di grandezze a due punti. La ragione fisica di questa necessità può essere individuata nel fatto che quando eccitiamo un sistema dal suo stato fondamentale oltre a promuovere un elettrone in uno stato eccitato, creiamo una buca (hole) nel sistema e che l'interazione tra i due oggetti diventa decisiva nello studio del sistema. Non è più dunque possibile relegare il ruolo dell'interazione coulombiana schermata particella-buca in secondo ordine, all'interno della self energia. Il problema in altre parole dipende dal fatto che, poiché non siamo in grado di risolvere la teoria in modo esatto dobbiamo cercare di "mettere in evidenza" le grandezze che hanno un ruolo dominante dal punto di vista fisico.

5.3.2 L'equazione di Bethe Salpeter

L'idea per costruire l'equazione di Bethe-Salpeter è quella di partire dalla funzione di Green a due particelle. A questo scopo introduciamo una nuova grandezza che definiamo come la differenza tra la funzione di Green a due particelle, che descrive appunto la propagazione delle due mentre interagiscono tra loro (oltre che con il resto del sistema), e il prodotto di due funzioni di Green a particella singola, che descrivono la propagazione delle due particelle senza tener conto della reciproca interazione.

$$iL(1, 2; 3, 4) = -G_2(1, 2; 3, 4) + G(1, 3)G(2, 4) \quad . \quad (5.14)$$

Questa grandezza descrive evidentemente il moto accoppiato delle due particelle, possiamo immaginarla come la correzione alla semplice propagazione indipendente delle due. I passaggi che dobbiamo ora svolgere per la costruzione di un'equazione di tipo Dyson per questa grandezza sono del tutto simili a quelli che abbiamo utilizzato per costruire l'equazione di Hedin per la funzione risposta (o polarizzazione) e quindi l'equazione scritta nel paragrafo precedente con la quale non siamo riusciti a raggiungere il nostro scopo semplicemente perché stavamo lavorando con grandezze a 2 punti. Partiamo con l'osservare che la funzione $L(1, 2; 3, 4)$ coincide con la definizione del termine di destra dell'equazione (3.52) se invece di considerare un potenziale esterno a particella singola ne consideriamo uno a due particelle:

$$iL(1, 2; 3, 4) = \frac{\delta G(1, 3)}{\delta \varphi(4, 2)} \quad . \quad (5.15)$$

Procediamo quindi come in precedenza utilizzando la relazione (3.54)

$$iL(1, 2; 3, 4) = - G(1, 5)G(6, 3) \frac{\delta G^{-1}(5, 6)}{\delta \varphi(4, 2)} \quad (5.16)$$

e definendo, portando avanti l'analogia con quanto fatto in precedenza, una funzione di vertice a 4 punti

$$\Gamma_4(1, 2; 3, 4) = \frac{G^{-1}(1, 3)}{\delta\varphi(4, 2)} \quad . \quad (5.17)$$

Possiamo ora scrivere l'equivalente dell'equazione (3.65) nel caso che stiamo considerando, cioè con un vertice a quattro punti completo

$$\Gamma_4(1, 2; 3, 4) = \delta(1, 3)\delta(2, 4) + \frac{\delta(\delta(1, 3)v_H(1) + \Sigma^*(1, 3))}{\delta\varphi(4, 2)} \quad . \quad (5.18)$$

Utilizziamo infine le regole di derivazione a catena e definiamo (ora si è possibile) l'ordine zero della nostra funzione ($L_0(1, 2; 3, 4) = G(1, 4)G(2, 3)$) insieme con il kernel

$$K(1, 2; 3, 4) = \frac{\delta(\delta(1, 3)v_H(1) + \Sigma^*(1, 3))}{\delta G(4, 2)} \quad , \quad (5.19)$$

ottenendo la seguente equazione:

$$\begin{aligned} L(1, 2; 3, 4) &= G(1, 4)G(2, 3) + \\ &G(1, 6)G(2, 5) \frac{\delta(\delta(5, 7)v_H(5) + \Sigma^*(5, 7))}{\delta G(8, 6)} \frac{\delta G(7, 3)}{\delta\varphi(4, 8)} \quad (5.20) \\ &= L_0(1, 2; 3, 4) + \\ &L_0(1, 2; 5, 6)K(5, 6; 7, 8)L(7, 8; 3, 4) \quad . \end{aligned}$$

Quella appena scritta è l'equazione di Bethe-Salpeter ed è l'equazione utilizzata nell'approccio many-body per studiare le eccitazioni del sistema. Confrontando infatti le equazioni (5.11) e (5.20) si vede come la contrazione della funzione $L(1, 2; 3, 4)$ dia come risultato la polarizzazione del sistema

$$L(1, 2; 1, 2) = \Pi(1, 2) \quad (5.21)$$

e dunque lo spettro di eccitazione del sistema.

5.4 La Time-Dependent DFT

Per poter studiare il problema delle eccitazioni nell'ambito della teoria del funzionale densità il primo passo da fare è quello di estendere la validità del teorema di Hohenberg-Kohn al caso in cui l'Hamiltoniana sia dipendente dal tempo. Se consideriamo infatti un'Hamiltoniana in cui è presente un

potenziale che dipende dal tempo il nostro sistema non presenta più uno stato fondamentale e dunque non è più possibile utilizzare il teorema di HK. Tale estensione è stata elaborata da Runge e Gross nel 1984 e definisce una corrispondenza biunivoca (a meno di una costante additiva dipendente dal tempo per il potenziale e di una fase dipendente dal tempo per la funzione d'onda) tra la densità, la funzione d'onda e il potenziale esterno. A questo scopo viene richiesto che sia già definito uno stato iniziale al tempo t_0 e che il potenziale esterno sia sviluppabile in serie di Taylor nell'intorno dell'istante t_0 stesso. Non siamo però ora interessati ai dettagli della dimostrazione, per la quale, così come per gli altri dettagli della teoria del funzionale densità, rimandiamo chi fosse interessato alle citazioni della bibliografia. Ciò a cui siamo ora interessati è mostrare come possa essere utilizzata l'estensione al caso dipendente dal tempo della teoria per ottenere lo spettro di eccitazione del nostro sistema. In particolare in questa sezione lavoreremo nell'ambito della teoria della risposta lineare, per la quale, oltre che nel risultato di Runge e Gross, la teoria trova giustificazione formale in un altro lavoro di Gross e Kohn.

5.4.1 Utilizziamo la teoria della risposta lineare nella TDDFT

L'idea per ottenere lo spettro di eccitazione di un sistema a partire dalla TD-DFT è semplicemente quella di studiare la relazione tra una perturbazione esterna dipendente dal tempo introdotta nel nostro sistema e la variazione della densità. Entrambe queste grandezze infatti devono corrispondere a quelle reali nell'ambito di questa teoria.

Consideriamo dunque nuovamente il nostro sistema descritto dall'Hamiltoniana

$$\hat{H} = \hat{T} + \hat{W} + \hat{V}^{ext} \quad , \quad (5.22)$$

in cui il potenziale esterno non dipende dal tempo e la corrispondente Hamiltoniana efficace della DFT

$$\hat{H}_{DFT} = \hat{T} + \hat{V}^{ext} + \hat{v}_H[\rho] + \hat{v}_{xc}[\rho] \quad . \quad (5.23)$$

Inseriamo quindi una perturbazione $\delta V^{ext}(t)$ dipendente dal tempo e vediamo come varia l'Hamiltoniana della DFT

$$\delta \hat{v}_s(t) = \delta \hat{V}^{ext}(t) + \delta \hat{v}_H + \delta \hat{v}_{xc} \quad , \quad (5.24)$$

dove $\delta \hat{v}_H = \hat{v}_H[\rho'] - \hat{v}_H[\rho]$ e $\delta \hat{v}_{xc} = \hat{v}_{xc}[\rho'] - \hat{v}_{xc}[\rho]$. La variazione della densità potrà essere scritta, all'ordine lineare, come

$$\delta \rho(1) = \chi_0^{KS}(1, 2) \delta v_s(2) \quad , \quad (5.25)$$

dove la funzione di risposta χ^{KS} è stata indicata con l'apice KS in quanto descrive la risposta delle particelle del sistema di KS, che ricordiamo sono particelle non interagenti. Notiamo come rispetto alla teoria many-body qui utilizziamo la funzione di risposta ritardata.

Poiché siamo interessati alla variazione della densità rispetto al potenziale esterno trasformiamo l'equazione precedente scrivendo esplicitamente la forma del potenziale efficace. In particolare, per consistenza con l'approssimazione in cui stiamo lavorando, linearizziamo i potenziali di scambio e correlazione e il potenziale di Hartree rispetto alla variazione della densità. In questo modo risulta

$$\begin{aligned} v_H[\rho'] &\simeq v_H[\rho] + \frac{\delta v_H[\rho]}{\delta \rho} \delta \rho \\ v_{xc}[\rho'] &\simeq v_{xc}[\rho] + \frac{\delta v_{xc}[\rho]}{\delta \rho} \delta \rho \quad . \end{aligned} \quad (5.26)$$

Definiamo ora la grandezza

$$f_{Hxc}[\rho](1, 2) = \frac{\delta v_H[\rho](1)}{\delta \rho(2)} + \frac{\delta v_{xc}[\rho](1)}{\delta \rho(2)} \quad , \quad (5.27)$$

la sostituiamo nell'equazione (5.25) e, utilizzando la (5.6), otteniamo

$$\begin{aligned} \delta \rho(1) &= (\chi^{KS}(1, 2)\delta(2, 3)\delta(3, 4) \\ &\quad + \chi^{KS}(1, 2)f_{Hxc}(2, 3)\chi^R(3, 4))\delta V^{ext}(4) \quad . \end{aligned} \quad (5.28)$$

Abbiamo così scritto la relazione tra il potenziale esterno e la densità utilizzando gli elementi della formulazione many-body della TDDFT. Poiché in particolare sappiamo che i poli della funzione χ_0^{RS} non sono altro che le differenze tra gli autovalori di KS possiamo già vedere come all'ordine zero della teoria (scegliendo cioè $f_{Hxc} = 0$) sia in effetti giustificato considerare gli autovalori di KS per valutare le eccitazioni del sistema. Tale approssimazione è d'altra parte spesso insufficiente a dare una descrizione soddisfacente delle proprietà fisiche di un sistema qualsiasi. Tutto questo sarà poi meglio chiarito nella formulazione di Casida della TDDFT (Capitolo 6).

5.4.2 Un'equazione di Dyson per la TDDFT

Il risultato appena ottenuto può essere facilmente riscritto sotto forma di equazione di Dyson per la funzione di risposta. Un semplice confronto dell'equazione (5.28) con l'equazione (5.6) ci porta

$$\chi^R(1, 2) = \chi^{KS}(1, 2) + \chi^{KS}(1, 3)f_{Hxc}(3, 4)\chi^R(4, 2) \quad . \quad (5.29)$$

Sottolineiamo ancora una volta la differenza tra la teoria many-body e la TD-DFT. In quest'ultima infatti siamo riusciti a scrivere un'equazione di Dyson per la funzione risposta utilizzando grandezze a due punti poiché a differenza della teoria many-body stiamo utilizzando due grandezze diagonali nello spazio \mathbf{r} . Il fatto che la funzione risposta sia diagonale in spazio diretto non deve però far pensare che stiamo utilizzando grandezze differenti. Se scriviamo infatti la funzione risposta in seconda quantizzazione vediamo che essa è in effetti il valor medio di quattro operatori, sia in TDDFT, sia nelle equazioni di Hedin, sia nell'equazione di Bethe-Salpeter. La sola differenza è che nello sviluppare la teoria nell'ambito del formalismo many-body dobbiamo considerare anche i termini "non diagonali" mentre per la teoria del funzionale densità questo non è necessario. Ancora una volta vedremo come nella formulazione di Casida, quando proietteremo le grandezze nello spazio degli stati anche l'equazione per la TDDFT diventerà una grandezza a quattro punti.

5.5 Approssimazioni

5.5.1 L'approssimazione adiabatica LDA

Come per il computo dello stato fondamentale del sistema, anche per il computo delle eccitazioni la teoria esatta non può essere risolta e dobbiamo utilizzare delle approssimazioni. Poiché nell'ambito di questa tesi calcoleremo spettri di eccitazioni con la TDDFT indicheremo in questa sezione quella che è l'approssimazione utilizzata nell'ambito di tale teoria: l'approssimazione adiabatica.

Tale approssimazione è in effetti l'equivalente dell'approssimazione locale, presentata per la DFT, per la variabile temporale. In termini matematici consiste nell'utilizzare la seguente relazione

$$v_{xc}[\rho](\mathbf{x}, t) = \frac{\delta A_{xc}[\rho]}{\delta \rho(\mathbf{x}, t)} \simeq \frac{\delta E_{xc}[\rho_t]}{\delta \rho_t(\mathbf{x})} \quad , \quad (5.30)$$

dove nell'ultimo termine abbiamo indicato la variabile temporale a pedice della densità per indicare che non stiamo facendo la derivata funzionale rispetto a tale variabile ma solo rispetto alla variabile spaziale. L'energia di scambio e correlazione E_{xc} dipende cioè solo dalla densità al tempo t e nell'approssimazione vengono dunque persi tutti gli "effetti di memoria".

Questo è particolarmente chiaro nella scrittura del kernel della TDDFT nell'ambito di tale approssimazione che risulta

$$f_{xc}[\rho](\mathbf{x}_1 t_1, \mathbf{x}_2 t_2) = \frac{\delta v_{xc}[\rho](\mathbf{x}_1, t_1)}{\delta \rho(\mathbf{x}_2, t_2)} \simeq \delta(t_1 - t_2) \frac{\delta v_{xc}^A[\rho_{t_1}](\mathbf{x}_1)}{\delta \rho_{t_1}(\mathbf{x}_2)} \quad . \quad (5.31)$$

Nello scrivere il kernel abbiamo qui trascurato il termine di Hartree, poiché infatti il campo di Hartree è statico l'approssimazione adiabatica non avrà alcun effetto su tale campo e quindi sul suo kernel che è d'altra parte conosciuto in modo esatto

$$f_H[\rho](\mathbf{x}_1, \mathbf{x}_2) = \frac{1}{|\mathbf{x}_1 - \mathbf{x}_2|} . \quad (5.32)$$

Se mettiamo insieme l'approssimazione adiabatica con l'approssimazione LDA utilizzata per l'energia di scambio e correlazione otteniamo la seguente espressione per il kernel

$$f_{xc}^{ALDA}(1, 2) = \delta(1, 2) \left(2 \frac{d\epsilon_{xc}^{hom}(\rho)}{d\rho} + \rho \frac{d^2 \epsilon_{xc}^{hom}(\rho)}{d^2 \rho} \right) . \quad (5.33)$$

Possiamo infine inserire una parametrizzazione per l'energia di stato omogeneo in funzione della densità scrivendo così in modo esplicito il kernel in funzione della densità. A questo scopo scriviamo quella che è l'approssimazione locale dell'energia di scambio, trascurando l'energia di correlazione. Riprendendo lo sviluppo fatto nel capitolo 4 e in particolare la (4.5) otteniamo

$$\begin{aligned} \epsilon_x^{hom}(\rho_t(\mathbf{x})) &= -d_0 \rho_t^{1/3}(\mathbf{x}) \\ f_x^{ALDA}(1, 2) &= -\delta(1, 2) \left(\frac{4d_0}{9} \rho_{t_1}^{-2/3}(\mathbf{x}_1) \right) , \end{aligned} \quad (5.34)$$

da cui possiamo osservare l'andamento divergente del kernel nelle regioni in cui la densità tende a zero. Inserendo anche il termine di correlazione (4.7) è possibile vedere che anche questo diverge in zone in cui la densità tende a zero.

5.5.2 L'approssimazione adiabatica LSDA

Per il nostro lavoro dobbiamo considerare un kernel che dipenda dallo spin e dunque anziché utilizzare, nell'ambito dell'approssimazione adiabatica, il funzionale LDA utilizzeremo il funzionale LSDA. Avremo dunque un kernel definito come

$$f_{Hxc}(1, 2) = \frac{\delta v_{xc}(1)}{\delta \rho(2)} , \quad (5.35)$$

dove le variabili di spin sono come sempre incluse nella notazione $1 = (\mathbf{x}_1, t_1, \sigma_1)$. In approssimazione A-LSDA otteniamo

$$f_{xc}^{ALDA}(1, 2) = \delta(t_1 - t_2) \delta(\mathbf{x}_1 - \mathbf{x}_2) \left(\frac{d\epsilon_{xc}^{LSDA}(\rho, \zeta)}{d\rho_{\sigma_1}} + \frac{d\epsilon_{xc}^{LSDA}(\rho, \zeta)}{d\rho_{\sigma_2}} + \rho \frac{d^2 \epsilon_{xc}^{LSDA}(\rho, \zeta)}{d\rho_{\sigma_1} d\rho_{\sigma_2}} \right) , \quad (5.36)$$

dove la derivazione rispetto alla componente σ della densità è intesa come (utilizzando la regola di derivazione per le funzioni composte)

$$\frac{d\epsilon_{xc}^{LSDA}(\rho, \zeta)}{d\rho_\sigma} = \frac{\partial\epsilon_{xc}^{LSDA}(\rho, \zeta)}{\partial\rho} \pm \frac{\delta\epsilon_{xc}^{LSDA}(\rho, \zeta)}{\partial\zeta} \quad ; \quad (5.37)$$

\pm dipende dalla componente della densità che stiamo utilizzando: + per ρ_\uparrow ;
– per ρ_\downarrow .

Parte II

Studio di sistemi isolati

Capitolo 6

La formulazione di Casida della TDDFT

6.1 Introduzione

L'idea di Casida è essenzialmente quella di proiettare la formulazione della TDDFT nello spazio degli stati o spazio delle configurazioni. In altre parole invece di rappresentare le grandezze della teoria in spazio diretto (\mathbf{x}, σ) o in spazio reciproco (\mathbf{k}, σ) sceglie di rappresentarle rispetto ad una base di funzioni d'onda di particella singola. In particolare la base scelta è quella degli autostati dell'Hamiltoniana di KS della DFT, in modo che, come vedremo, la funzione di risposta libera sia diagonale in tale spazio. La scelta fatta è soprattutto mirata allo studio di sistemi isolati, per i quali lo spazio delle configurazioni è sicuramente la descrizione migliore poiché la mancanza di periodicità del sistema elimina i vantaggi dell'utilizzo dello spazio reciproco.

In questa nuova rappresentazione l'idea di Casida è in particolare quella di studiare come grandezza di riferimento non la funzione di risposta ma la polarizzazione del sistema, definita come:

$$\alpha = \left[\frac{\delta\mu(\mathbf{E}, \mathbf{B})}{\delta\mathbf{E}} \right]_{\mathbf{E}=\mathbf{B}=0}, \quad (6.1)$$

dove μ è il momento di dipolo elettrico del sistema, mentre \mathbf{E} e \mathbf{B} sono il campo elettrico e il campo magnetico che vengono applicati al sistema.

6.2 La polarizzabilità del sistema

Vediamo innanzi tutto come la polarizzabilità è legata alla funzione di risposta e quindi alle grandezze fisiche del sistema. A questo scopo consideriamo ora

il caso in cui il potenziale applicato sia del tipo

$$\delta V^{ext}(t) = zE_z(t) \quad . \quad (6.2)$$

Consideriamo quindi il momento di dipolo in direzione x , esso sarà definito come

$$\delta\mu_x = -q\delta x \quad , \quad (6.3)$$

Qui q è la carica elettrica che d'ora in avanti supporremo pari ad uno, mentre δx sarà la variazione del valor medio dell'operatore $\hat{x} = \int d^3\mathbf{x} \hat{\rho}(\mathbf{x})x$ (il termine dopo l'uguale è la sua rappresentazione in seconda quantizzazione). Ovvero

$$\delta x = \int d^3\mathbf{x} \delta\rho(\mathbf{x}, t)x \quad , \quad (6.4)$$

da cui la componente xz polarizzabilità nello spazio delle frequenze risulta:

$$\alpha_{xz}(\omega) = - \int d^3\mathbf{x} \frac{\delta\rho(\mathbf{x})x}{E_z(\omega)} \quad . \quad (6.5)$$

La relazione con lo spettro di eccitazione del sistema può infine essere scritta utilizzando la rappresentazione di Lehmann di quest'ultima insieme con la relazione

$$\langle\Psi_0|\hat{x}|\Psi_I\rangle\langle\Psi_I|\hat{z}|\Psi_0\rangle = \langle\Psi_0|\hat{z}|\Psi_I\rangle\langle\Psi_I|\hat{x}|\Psi_0\rangle \quad , \quad (6.6)$$

ottenendo:

$$\alpha_{xz} = \sum_I \frac{2(E_I - E_0)\langle\Psi_0|\hat{x}|\Psi_I\rangle\langle\Psi_I|\hat{z}|\Psi_0\rangle}{(E_I - E_0)^2 - \omega^2} \quad . \quad (6.7)$$

Nelle sezioni seguenti ci occuperemo dunque di riscrivere la TDDFT nella nuova base e quindi di calcolare l'espressione della polarizzabilità con tale formalismo. Confrontando infine il nostro risultato con l'espressione appena scritta potremo ricavare lo spettro di eccitazione e le forze di oscillatore.

6.3 La TDDFT nello spazio delle configurazioni

6.3.1 Cambio di base

Ciò che dobbiamo fare è semplicemente scrivere le relazioni tra matrici e vettori dello spazio di Hilbert esplicitandone gli elementi in funzione della base scelta in modo da avere alla fine delle relazioni tra elementi di matrice,

ovvero dei numeri complessi. I dettagli dei passaggi eseguiti sono piuttosto noiosi, riportiamo qui semplicemente la regola necessaria per ottenere questo risultato. Ciò che in pratica si fa è passare dalle formule scritte in spazio (\mathbf{x}, σ) alle formule scritte nello spazio delle configurazioni utilizzando le formule per il cambio di base in seconda quantizzazione. La regola da utilizzare è dunque la seguente:

$$\begin{aligned}\hat{a}_i &= \sum_j \hat{a}_j \langle i|j \rangle \\ \hat{a}_i^\dagger &= \sum_j \hat{a}_j^\dagger \langle j|i \rangle \quad ,\end{aligned}\quad (6.8)$$

dove abbiamo scritto un operatore di campo di base i in una nuova base j ; nel caso in cui la base di arrivo sia continua le sommatorie andranno sostituite con degli integrali, ma la regola del cambio di base risulterà la stessa. Se preferite, poiché stiamo lavorando con i valori medi e non con gli operatori direttamente è possibile utilizzare anche la regola per proiettare una grandezza sugli stati, (facendo però attenzione al fatto che stiamo utilizzando grandezze che sono diagonali in spazio \mathbf{x}):

$$\begin{aligned}f_{j_1, \dots, j_n} &= \int d^3\mathbf{x}_1 \dots d^3\mathbf{x}_n \psi_{j_1}(\mathbf{x}_1) \psi_{j_2}^*(\mathbf{x}_2) \dots \\ &f(\mathbf{x}_1, \dots, \mathbf{x}_n) \dots \psi_{j_{n-1}}^*(\mathbf{x}_{n-1}) \psi_{j_n}(\mathbf{x}_n) \quad .\end{aligned}\quad (6.9)$$

Effettuando il cambio di base per l'operatore densità otteniamo:

$$\hat{n}_\sigma(\mathbf{x}, t) = \sum_{i,j} \psi_{i\sigma}^*(\mathbf{x}) \psi_{j\sigma}(\mathbf{x}) \hat{a}_{i\sigma}^\dagger(t) \hat{a}_{j\sigma}(t) \quad .\quad (6.10)$$

Definiamo ora la grandezza

$$P_{ij\sigma}(t) = \langle \Psi_{KS} | \hat{a}_{i\sigma}^\dagger(t) \hat{a}_{j\sigma}(t) | \Psi_{KS} \rangle \quad ,\quad (6.11)$$

che corrisponde ad una densità nello spazio delle configurazioni e le equazioni (5.25) e (5.28) nel nuovo spazio diventano

$$\delta P_{ij\sigma}(t_1) = \int dt' \chi_{ij\sigma, hk\tau}^{KS}(t_1 - t_2) (v_s)_{hk\tau}(t_2) \quad (6.12)$$

$$\delta P_{ij\sigma}(t_1) = \int dt' \chi_{ij\sigma, hk\tau}(t_1 - t_2) V_{hk\tau}^{ext}(t_2) \quad ,\quad (6.13)$$

dove stiamo sommando sugli indici ripetuti. Scriviamo ora anche il Kernel K nello spazio delle configurazioni

$$K_{ij\sigma, hk\tau}^{Hxc}(t_1 - t_2) = \frac{\delta v_{ij\sigma}^H(t_1)}{\delta P_{hk\tau}(t_2)} + \frac{\delta v_{ij\sigma}^{xc}(t_1)}{\delta P_{hk\tau}(t_2)} \quad (6.14)$$

e abbiamo tutti gli elementi per riscrivere l'equazione (5.28) nella nuova base. Prima di scrivere la nuova equazione vogliamo però anche cambiare la base della variabile temporale e passare nello spazio delle frequenze poiché in questo modo le relazioni di convoluzione che compaiono diventeranno dei semplici prodotti nel nuovo spazio. Appliciamo dunque la trasformata di Fourier a tutte le grandezze che compaiono nelle formule e siamo finalmente pronti a scrivere il nostro risultato

$$\left[(\chi_{ij\sigma,hk\tau}^{KS}(\omega))^{-1} - K_{ij\sigma,hk\tau}(\omega) \right] \delta P_{hk\tau}(\omega) = \delta V_{ij\sigma}^{ext}(\omega) \quad , \quad (6.15)$$

dove come sempre sommiamo sugli indici ripetuti. Abbiamo qui direttamente invertito la funzione risposta in modo da scrivere l'equazione in modo più compatto, in particolare nel farlo abbiamo invertito la funzione χ^{KS} che potrebbe però essere non invertibile. In realtà sappiamo che tale matrice (lo vedremo nel prossimo paragrafo) è diagonale nella rappresentazione scelta e dunque certamente invertibile. L'unico pericolo risulterebbe costituito dai termini diagonali nulli; questi però possono essere esclusi dalla teoria poiché quando χ^{KS} è pari a zero il sistema presenta una variazione di densità nulla (cfr. eq (5.25)) e tutte le equazioni scritte non portano alcuna informazione.

6.3.2 La funzione risposta libera e il kernel

Prima di procedere studiamo più in dettaglio la funzione di risposta di un sistema di particelle non interagenti. Questa è infatti conosciuta in modo esatto e può essere facilmente ricavata nello spazio degli stati a partire dalla definizione di funzione di risposta. Partiamo dalla rappresentazione di Lehmann della funzione di risposta (5.9) scritta però nella nuova base scelta:

$$\chi_{ij\sigma,hk\tau}^{KS}(\omega) = \sum_I \frac{\langle \Psi_0^{KS} | \hat{a}_{j\sigma}^\dagger \hat{a}_{i\sigma} | \Psi_I^{KS} \rangle \langle \Psi_I^{KS} | \hat{a}_{h\tau}^\dagger \hat{a}_{k\tau} | \Psi_0^{KS} \rangle}{\omega - (E_I - E_0) + i\eta} - \frac{\langle \Psi_0^{KS} | \hat{a}_{h\tau}^\dagger \hat{a}_{k\tau} | \Psi_I^{KS} \rangle \langle \Psi_I^{KS} | \hat{a}_{j\sigma}^\dagger \hat{a}_{i\sigma} | \Psi_0^{KS} \rangle}{\omega + (E_I - E_0) + i\eta} \quad . \quad (6.16)$$

Il fatto che stiamo considerando la funzione di risposta libera (ovvero quella di un sistema non interagente) significa ora che le funzioni d'onda a molti corpi sono semplicemente il prodotto di funzioni d'onda a particella singola e che quindi gli stati eccitati non sono altro che eccitazioni di singola particella. Questo si può vedere chiaramente nella formula poichè, essendo gli stati di particella singola ortogonali tra loro, le funzioni d'onda Ψ_I non possono differire da Ψ_0 che per una particella passata dallo stato i allo stato j .

Come conseguenza di tutto ciò la funzione di risposta libera risulta diagonale in questa rappresentazione. Inoltre poiché gli stati eccitati differiscono dallo stato fondamentale per un solo autovalore di KS (lo stato i al posto di quello j) risulterà $E_I - E_0 = \epsilon_j^{KS} - \epsilon_i^{KS}$. Infine valutando i numeratori dell'espressione, se ammettiamo che gli stati possano avere numeri di occupazione frazionaria, otterremo dall'applicazione dell'operatore di distruzione a numeratore esattamente i numeri di occupazione. Possiamo quindi scrivere la funzione di risposta libera (la somma sugli stati eccitati scompare perché sopravvive solo quello stato eccitato con eccitazione $i \rightarrow j$ e per lo stesso motivo abbiamo solo uno dei due termini della somma):

$$\chi_{ij\sigma,hk\tau}^{KS}(\omega) = \delta_{\sigma,\tau} \delta_{j,k} \delta_{i,h} \frac{f_{j\sigma} - f_{i\sigma}}{\omega - (\epsilon_i^{KS} - \epsilon_j^{KS})} \quad . \quad (6.17)$$

Per esprimere il kernel in funzione di grandezze note non possiamo invece far altro che scriverlo in funzione del kernel in spazio (\mathbf{x}, σ) poiché solo in questa base siamo in grado di calcolarlo. L'espressione è facilmente scrivibile utilizzando le regole di cambio base della prima quantizzazione (6.9) e ricordando che il nostro kernel è diagonale nello spazio e nello spin

$$K_{ij\sigma,hk\tau}(\omega) = \int d^3\mathbf{x}_1 d^3\mathbf{x}_2 \psi_{i\sigma}^*(\mathbf{x}_1) \psi_{j\sigma}(\mathbf{x}_1) K_{\sigma,\tau}[\rho](\mathbf{x}_1, \mathbf{x}_2; \omega) \psi_{h\tau}(\mathbf{x}_2) \psi_{k\tau}^*(\mathbf{x}_2) \quad . \quad (6.18)$$

6.3.3 L'equazione di Casida

Abbiamo finalmente tutti gli elementi per scrivere l'equazione che è possiamo dire alla base del lavoro di Casida e che non è altro che la formulazione dell'equazione della TDDFT nello spazio delle configurazioni:

$$\sum_{kl\tau}^{f_{k\tau} - f_{h\tau} \neq 0} \left[\delta_{\sigma,\tau} \delta_{j,h} \delta_{i,k} \frac{\omega - (\epsilon_{h\tau} - \epsilon_{k\tau})}{f_{k\tau} - f_{h\tau}} - K_{ij\sigma,hk\tau}(\omega) \right] \delta P_{hk\tau}(\omega) = \delta V_{ij\sigma}^{ext}(\omega) \quad . \quad (6.19)$$

Poiché siamo passati ad una base in cui né la densità né il potenziale esterno sono diagonali avremo a che fare sia con la parte reale che quella immaginaria di tali grandezze, poiché come sappiamo le grandezze fisiche vengono rappresentate da matrici hermitiane i cui termini non diagonali possono dunque essere complessi.

Per mettere in luce la parte immaginaria e quella reale l'idea è quella di riordinare la base del nostro spazio nel seguente modo: $i < j \rightarrow f_{i\sigma} \geq f_{j\sigma}$. Poi di dividere l'equazione in due, la prima per la quale consideriamo i termini in

cui $f_{i\sigma} > f_{j\sigma}$ e la seconda per cui $f_{i\sigma} < f_{j\sigma}$. In ciascuna delle due equazioni inoltre separiamo in due parti la sommatoria, la prima con $f_{h\tau} > f_{k\tau}$ e la seconda con $f_{h\tau} < f_{k\tau}$. Ora invertiamo a coppie il nome di tutti quegli indici per cui quello con numero di occupazione minore viene prima in modo da ottenere ovunque $f_{i\sigma} > f_{j\sigma}$ e $f_{h\tau} > f_{k\tau}$:

$$\sum_{kl\tau}^{f_{h\tau}-f_{k\tau}>0} \left[\delta_{\sigma,\tau} \delta_{i,h} \delta_{j,k} \frac{\omega - (\epsilon_{h\tau} - \epsilon_{k\tau})}{f_{k\tau} - f_{h\tau}} - K_{ij\sigma,hk\tau}(\omega) \right] \delta P_{hk\tau}(\omega) - \sum_{kl\tau}^{f_{h\tau}-f_{k\tau}>0} K_{ij\sigma,kh\tau}(\omega) \delta P_{kh\tau}(\omega) = \delta V_{ij\sigma}^{ext}(\omega) \quad (6.20)$$

$$\sum_{kl\tau}^{f_{h\tau}-f_{k\tau}>0} \left[\delta_{\sigma,\tau} \delta_{i,h} \delta_{j,k} \frac{\omega - (\epsilon_{k\tau} - \epsilon_{h\tau})}{f_{h\tau} - f_{k\tau}} - K_{ji\sigma,kh\tau}(\omega) \right] \delta P_{kh\tau}(\omega) - \sum_{kl\tau}^{f_{h\tau}-f_{k\tau}>0} K_{ji\sigma,hk\tau}(\omega) \delta P_{hk\tau}(\omega) = \delta V_{ji\sigma}^{ext}(\omega) \quad , \quad (6.21)$$

Possiamo riscrivere le due equazioni in forma matriciale sfruttando il fatto che il kernel $K_{Hxc}(\mathbf{x}_1 t_1, \mathbf{x}_2 t_2)$ è una matrice hermetiana. Otteniamo così:

$$\left[\begin{pmatrix} A(\omega) & B(\omega) \\ B^*(\omega) & A^*(\omega) \end{pmatrix} - \omega \begin{pmatrix} C & 0 \\ 0 & -C \end{pmatrix} \right] \begin{pmatrix} \delta P(\omega) \\ \delta P^*(\omega) \end{pmatrix} = \begin{pmatrix} \delta V_{ext}(\omega) \\ \delta V_{ext}^*(\omega) \end{pmatrix} \quad , \quad (6.22)$$

dove abbiamo definito le grandezze:

$$\begin{aligned} A_{ij\sigma,hk\tau}(\omega) &= \delta_{\sigma,\tau} \delta_{i,h} \delta_{j,k} \frac{\epsilon_{h\tau} - \epsilon_{k\tau}}{f_{h\tau} - f_{k\tau}} - K_{ij\sigma,hk\tau}(\omega) \\ B_{ij\sigma,hk\tau}(\omega) &= -K_{ij\sigma,kh\tau}(\omega) \\ C_{ij\sigma,hk\tau} &= \frac{\delta_{\sigma,\tau} \delta_{i,h} \delta_{j,k}}{f_{h\tau} - f_{k\tau}} \quad . \end{aligned} \quad (6.23)$$

Se ora facciamo l'ulteriore assunzione che gli orbitali di KS siano reali e che il kernel in spazio (\mathbf{x}, σ) sia una quantità reale¹ otteniamo le relazioni $A = A^*$ e $B = B^*$ e possiamo quindi diagonalizzare la prima matrice da sinistra dell'espressione ricavando un'equazione in cui compaiono la parte

¹Il che coincide, in accordo a quanto afferma Casida [12], ad interpretare come infinito il tempo di vita delle eccitazioni.

reale e quella immaginaria sia del potenziale che della densità:

$$\left[\begin{pmatrix} A(\omega) + B(\omega) & 0 \\ 0 & A(\omega) - B(\omega) \end{pmatrix} - \omega \begin{pmatrix} 0 & -C \\ -C & 0 \end{pmatrix} \right] \begin{pmatrix} \Re[\delta P](\omega) \\ -i\Im[\delta P](\omega) \end{pmatrix} = \begin{pmatrix} \Re[\delta V_{ext}](\omega) \\ -i\Im[\delta V_{ext}](\omega) \end{pmatrix} .$$

Se ora esplicitiamo l'equazione per la parte reale della densità da quella per la parte immaginaria otteniamo

$$\begin{aligned} [(A(\omega) + B(\omega)) - \omega^2 C(A(\omega) - B(\omega))^{-1} C] \Re[\delta P](\omega) = \\ \Re[\delta V_{ext}](\omega) - i\omega C(A(\omega) - B(\omega))^{-1} \Im[\delta V_{ext}](\omega) \end{aligned} \quad (6.24)$$

$$\begin{aligned} [(A(\omega) - B(\omega)) - \omega^2 C(A(\omega) + B(\omega))^{-1} C] \Im[\delta P](\omega) = \\ \Im[\delta V_{ext}](\omega) - i\omega C(A(\omega) + B(\omega))^{-1} \Re[\delta V_{ext}](\omega) . \end{aligned} \quad (6.25)$$

Infine nel caso di una perturbazione reale se consideriamo solo la variazione della parte reale della densità possiamo riscrivere nel seguente modo la prima delle due equazioni:

$$\Re[\delta P](\omega) = S^{-1/2}(\omega^2 - \Omega(\omega))^{-1} S^{-1/2} \delta V_{ext}(\omega) , \quad (6.26)$$

dove abbiamo definito le due grandezze

$$\begin{aligned} S(\omega) &= C(A - B)^{-1} C \\ \Omega(\omega) &= S^{-1/2}(A + B)S^{-1/2} . \end{aligned} \quad (6.27)$$

A partire dall'espressione (6.26) la polarizzabilità del sistema può essere facilmente scritta come (scriviamo qui la componente α_{xz}) utilizzando la (6.5) proiettata nello spazio degli stati:

$$\alpha_{xz}(\omega) = 2\vec{x}^\dagger S^{-1/2}(\Omega(\omega) - \omega^2)^{-1} S^{-1/2} \vec{z} , \quad (6.28)$$

dove tutte le grandezze vanno ovviamente pensate nello spazio degli stati. Il simbolo di vettore sopra le grandezze x e z indica che queste sono vettori in tale rappresentazione.

Confrontando questa espressione con la (6.7) possiamo immediatamente osservare che lo spettro di eccitazione del sistema può essere ottenuto diagonalizzando la matrice Ω . L'equazione agli autovalori di cui parlavamo all'inizio di questa sezione sarà dunque:

$$\Omega(\omega_I) F_I = \omega_I^2 F_I . \quad (6.29)$$

Tale equazione costituisce il risultato principale del lavoro di Casida ed è di fatto l'equazione che viene utilizzata per calcolare lo spettro di eccitazioni di sistemi finiti nell'ambito della TDDFT. Segnaliamo che il risultato sin qui ottenuto è esatto e del tutto generale, in particolare lo stesso formalismo potrebbe essere ad esempio applicato partendo, invece che dal sistema di Kohn e Sham dall'Hamiltoniana di Hartree-Fock o da una qualsiasi Hamiltoniana a particella singola.

Nell'ambito della TDDFT tale formulazione offre però l'indubbio vantaggio di essere molto più semplice. Se infatti consideriamo particelle a funzione d'onda reale possiamo facilmente osservare che il kernel risulta simmetrico rispetto all'inversione delle coppie di indici (i, j) o (h, k) e la matrice Ω può essere scritta come

$$\begin{aligned} \Omega_{ij\sigma, hk\tau}(\omega) = & \delta_{i,h} \delta_{j,k} \delta_{\sigma,\tau} (\epsilon_{k\sigma} - \epsilon_{h\sigma})^2 \\ & + 2\sqrt{(f_{i\sigma} - f_{j\sigma})(\epsilon_{j\sigma} - \epsilon_{i\sigma})} K_{ij\sigma, hk\tau}(\omega) \sqrt{(f_{h\tau} - f_{k\tau})(\epsilon_{k\tau} - \epsilon_{h\tau})} \quad . \quad (6.30) \end{aligned}$$

Anche quest'ultimo risultato è esatto. Nessuna ulteriore approssimazione è stata sin qui introdotta.

Ciò che in pratica viene fatto è diagonalizzare questa equazione scegliendo una certa approssimazione per l'energia di scambio e correlazione (che rappresenta come sempre il termine approssimato della TDDFT) e di conseguenza per il kernel, che ricordiamo è la derivata seconda dell'energia. L'approssimazione che solitamente viene fatta e che utilizzeremo anche noi nelle molecole da studiare nell'ambito della tesi, è l'approssimazione adiabatica, già introdotta nel capitolo precedente. Tale approssimazione, nel formalismo introdotto da Casida, corrisponde a considerare un kernel statico e quindi una matrice Ω statica, partendo dalla trasformata di Fourier della (5.33).

6.4 Studio di sistemi a shell chiusa

I primi studi di Casida sulla TDDFT sono stati applicati in particolare per l'analisi di sistemi a shell chiusa. Tali sistemi hanno la particolarità di avere la funzione d'onda a spin up identica alla funzione d'onda a spin down (spin lungo l'asse z) il che permette di trasformare la matrice Ω in una matrice a blocchi sfruttando anche le simmetrie risultanti dal considerare l'approssimazione adiabatica. Per illustrare tali simmetrie scegliamo di utilizzare un sistema modello (fig. 6.1): un sistema con tre stati, che chiameremo i , j e k in cui lo stato i è occupato mentre gli stati j e k sono liberi.

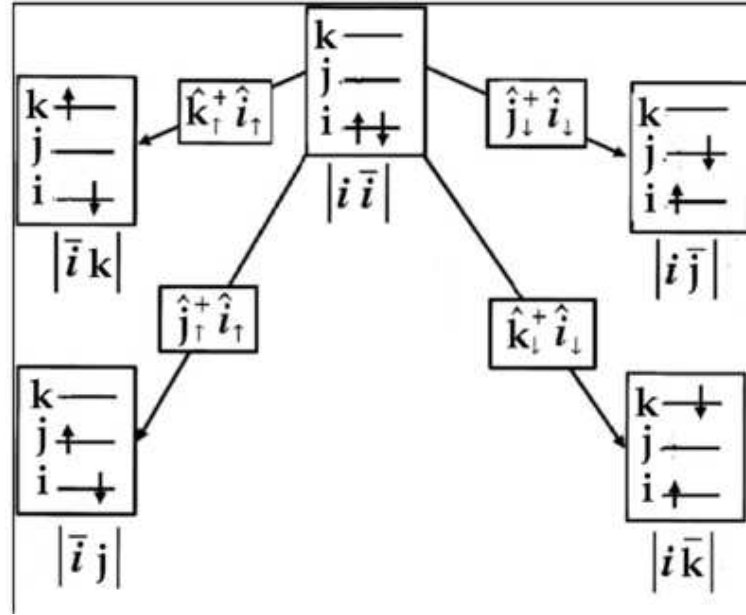


Figura 6.1: Descrizione degli stati eccitati per un modello a 3 livelli, 2 elettroni.

Scriviamo quindi la matrice Ω per tale sistema:

$$\begin{pmatrix} A_{\uparrow\uparrow}(\omega) & B_{\uparrow\downarrow}(\omega) & \alpha_{\uparrow\uparrow}(\omega) & \beta_{\uparrow\downarrow}(\omega) \\ B_{\downarrow\uparrow}(-\omega) & A_{\downarrow\downarrow}(\omega) & \beta_{\downarrow\uparrow}(\omega) & \alpha_{\downarrow\downarrow}(\omega) \\ \alpha_{\uparrow\uparrow}(-\omega) & \beta_{\uparrow\downarrow}(-\omega) & C_{\uparrow\uparrow}(-\omega) & D_{\uparrow\downarrow}(-\omega) \\ \beta_{\downarrow\uparrow}(-\omega) & \alpha_{\downarrow\downarrow}(-\omega) & D_{\downarrow\uparrow}(-\omega) & C_{\downarrow\downarrow}(\omega) \end{pmatrix},$$

dove gli indici che variano sia sulle righe che sulle colonne sono $1 = ij \uparrow$, $2 = ij \downarrow$, $3 = ik \uparrow$, $4 = ik \downarrow$. Queste sono infatti le uniche eccitazioni possibili del sistema. A , B , C , D , α e β indicano qui gli elementi della matrice Ω e possono essere costruiti a partire dalla (6.30) (e non devono essere confuse con la notazione utilizzata in precedenza per le grandezze A , B e C); la scelta di nominarle in questo modo è stata fatta per mettere in evidenza le grandezze che risultano poi identiche nell'ambito delle approssimazioni eseguite. Ora l'approssimazione adiabatica per il kernel della TDDFT fa sì che gli elementi con argomento ω siano identici a quelli con argomento $-\omega$ (i.e.: $A(\omega) = A(-\omega) = A(0)$), mentre il fatto che stiamo considerando un sistema a shell chiusa fa sì che risulti $A_{\uparrow\uparrow} = A_{\downarrow\downarrow}$, $C_{\uparrow\uparrow} = C_{\downarrow\downarrow}$, $\alpha_{\uparrow\uparrow} = \alpha_{\downarrow\downarrow}$ e infine $\beta_{\uparrow\downarrow} = \beta_{\downarrow\uparrow}$.²

²Le identità $D_{\uparrow\downarrow} = D_{\downarrow\uparrow}$ e $B_{\downarrow\uparrow} = B_{\uparrow\downarrow}$ sono sempre vere, anche nella formulazione esatta.

In questo modo la matrice risulta presentare gli autovettori nella seguente forma:

$$\begin{pmatrix} a \\ a \\ b \\ b \end{pmatrix} \begin{pmatrix} c \\ c \\ d \\ d \end{pmatrix} \begin{pmatrix} e \\ -e \\ f \\ -f \end{pmatrix} \begin{pmatrix} g \\ -g \\ h \\ -h \end{pmatrix} .$$

La matrice può essere di conseguenza ridotta in due blocchi e di fatto possiamo pensare di risolvere due sistemi agli autovalori con matrici di dimensione dimezzata:

$$\begin{pmatrix} A+B & \alpha+\beta \\ \alpha+\beta & C+D \end{pmatrix} \quad \begin{pmatrix} A-B & \alpha-\beta \\ \alpha-\beta & C-D \end{pmatrix} .$$

Cercare le eccitazioni di un sistema a shell chiusa utilizzando il formalismo di Casida consiste nel cercare di diagonalizzare le due matrici appena scritte; troveremo dunque due gruppi di eccitazioni. Nella prossima sezione cercheremo dunque di interpretare il significato fisico delle due matrici; a questo scopo sarà necessario passare allo studio delle funzioni d'onda del sistema sebbene queste dal punto di vista formale non abbiano alcun significato fisico (ricordiamo che sono le funzioni d'onda di Kohn e Sham).

6.4.1 Interpretazione delle funzioni d'onda degli stati eccitati e regole di selezione

Questa parte come già detto non trova una giustificazione formale altrettanto rigorosa che le sezioni precedenti ma, come afferma lo stesso Casida, risulta indispensabile per interpretare la teoria stessa. Per farlo partiamo da un modello ancora più semplice di quello considerato in precedenza che è costituito da un sistema con due livelli, una libera ed una occupata. In analogia a quanto fa Casida possiamo immaginare che questo modello rappresenti la molecola dell'Idrogeno.

Consideriamo dunque la molecola di idrogeno tenendo in considerazione solo i primi due stati elettronici i e j . Lo stato i corrisponde all'orbitale sigma legante e lo stato j all'orbitale sigma anti-legante. Lo stato fondamentale sarà il singolo determinante di Slater:

$$\Phi_0^1 = |\psi_{i\uparrow}\psi_{i\downarrow}| \quad ;$$

gli stati eccitati saranno invece

$$\begin{aligned}\Phi_0^1 &= \frac{1}{\sqrt{2}}|\psi_{j\uparrow}\psi_{i\downarrow}| + |\psi_{i\uparrow}\psi_{j\downarrow}| \\ \Phi_1^3 &= |\psi_{i\uparrow}\psi_{j\uparrow}| \\ \Phi_0^3 &= \frac{1}{\sqrt{2}}|\psi_{j\uparrow}\psi_{i\downarrow}| - |\psi_{i\uparrow}\psi_{j\downarrow}| \\ \Phi_{-1}^3 &= |\psi_{i\downarrow}\psi_{j\downarrow}| \quad .\end{aligned}$$

Questi stati possono essere costruiti cercando funzioni che siano autostati degli operatori \hat{h}_{KS} , \hat{S}^2 e \hat{S}_z .

Se ora guardiamo al potenziale esterno applicato al nostro sistema vediamo che esso è scritto nella forma

$$\begin{aligned}\hat{V}^{ext}(t) &= \sum_{\sigma} \int d^3\mathbf{x} \hat{\psi}_{\sigma}^{\dagger}(\mathbf{x})\hat{\psi}_{\sigma}(\mathbf{x})V_{\sigma}^{ext}(\mathbf{x}, t) \\ &= \sum_{\sigma} \int d^3\mathbf{x} \hat{\rho}_{\sigma}(\mathbf{x})V_{\sigma}^{ext}(\mathbf{x}, t) \quad .\end{aligned}\tag{6.31}$$

Possiamo però riscriverlo come

$$\begin{aligned}\hat{V}^{ext}(t) &= \int d^3\mathbf{x} \left[\frac{1}{2}[V_{\uparrow}^{ext}(\mathbf{x}, t) + V_{\downarrow}^{ext}(\mathbf{x}, t)][\hat{\rho}_{\uparrow}(\mathbf{x}) + \hat{\rho}_{\downarrow}(\mathbf{x})] + \right. \\ &\quad \left. \frac{1}{2}[V_{\uparrow}^{ext}(\mathbf{x}, t) - V_{\downarrow}^{ext}(\mathbf{x}, t)][\hat{\rho}_{\uparrow}(\mathbf{x}) - \hat{\rho}_{\downarrow}(\mathbf{x})] \right]\end{aligned}\tag{6.32}$$

e quindi otteniamo:

$$\hat{V}^{ext}(t) = \int d^3\mathbf{x} [V(\mathbf{x}, t)\hat{\rho}(\mathbf{x}, t) + B_z(\mathbf{x}, t)\hat{m}_z(\mathbf{x}, t)] \quad .\tag{6.33}$$

Da questo possiamo ricavare le regole di selezione del sistema che corrispondono a

$$\delta S = 0, 1 \quad \delta S_z = 0\tag{6.34}$$

e vediamo quindi che le uniche eccitazioni possibili per il sistema considerato sono quelle verso gli stati

$$\Phi_0^1 \quad \Phi_0^3 \quad ,\tag{6.35}$$

dunque un'eccitazione di singoletto ed un'eccitazione di tripletto.

6.4.2 Interpretazione delle matrici di Casida

Se analizziamo gli stati verso i quali le eccitazioni sono rese possibili dalle regole di selezione appena trovate notiamo come essi sono formati dalla somma e dalla differenza delle singole eccitazioni tra stati di KS. In altre parole la trasformazione che ci farebbe passare dalla base degli stati di KS alla base degli stati eccitati è caratterizzata dai vettori

$$\begin{pmatrix} 1 \\ 1 \end{pmatrix} \begin{pmatrix} 1 \\ -1 \end{pmatrix} .$$

Se confrontiamo questi con gli autovettori che dividono in due blocchi la matrice di Casida capiamo come i due gruppi di eccitazioni che otteniamo sono costituiti dal gruppo delle eccitazioni di tripletto e dal gruppo delle eccitazioni di singoletto. A questo punto può essere utile scrivere in modo esplicito come sono fatti gli elementi delle due matrici rispetto agli indici di spin. Utilizzando nuovamente le simmetrie dei sistemi a shell chiusa otteniamo

$$\begin{pmatrix} A_{\uparrow\uparrow} + B_{\uparrow\downarrow} & \alpha_{\uparrow\uparrow} + \beta_{\uparrow\downarrow} \\ \alpha_{\uparrow\uparrow} + \beta_{\uparrow\downarrow} & C_{\uparrow\uparrow} + D_{\uparrow\downarrow} \end{pmatrix} \quad \begin{pmatrix} A_{\uparrow\uparrow} - B_{\uparrow\downarrow} & \alpha_{\uparrow\uparrow} - \beta_{\uparrow\downarrow} \\ \alpha_{\uparrow\uparrow} - \beta_{\uparrow\downarrow} & C_{\uparrow\uparrow} - D_{\uparrow\downarrow} \end{pmatrix} ,$$

da cui abbiamo evidenziato come lo spin venga trattato nella divisione in due blocchi della matrice. In altre parole la matrice viene divisa in due blocchi:

$$\Omega_S = \Omega_{\uparrow\uparrow} + \Omega_{\uparrow\downarrow} \quad \Omega_T = \Omega_{\uparrow\uparrow} - \Omega_{\uparrow\downarrow} ,$$

un blocco per le eccitazioni di singoletto ed un blocco per le eccitazioni di tripletto.

6.5 Studio di sistemi a shell aperta

La teoria sin qui scritta è di fatto valida ed esatta, (se considerata nella sua forma esatta) anche per sistemi a shell-aperta. La matrice Ω da diagonalizzare sarà sempre esprimibile nella forma (6.30) dato che di fatto fino a quel punto nessuna ipotesi è stata fatta da questo punto di vista. Poiché d'altra parte abbiamo visto come lo studio delle simmetrie rispetto allo spin possano semplificare lo studio della matrice per lo studio di sistemi con stato fondamentale non polarizzato cerchiamo di capire anche nel caso di sistemi con stato fondamentale spin polarizzato (polarizzazione collineare) se la matrice di Casida può essere separata a blocchi. Come in precedenza lavoriamo in approssimazione adiabatica per il kernel della TDDFT.

Partiamo nuovamente da un sistema modello con tre bande (fig. 6.2) i , j e k di cui il primo occupato da due elettroni, il secondo solo da un

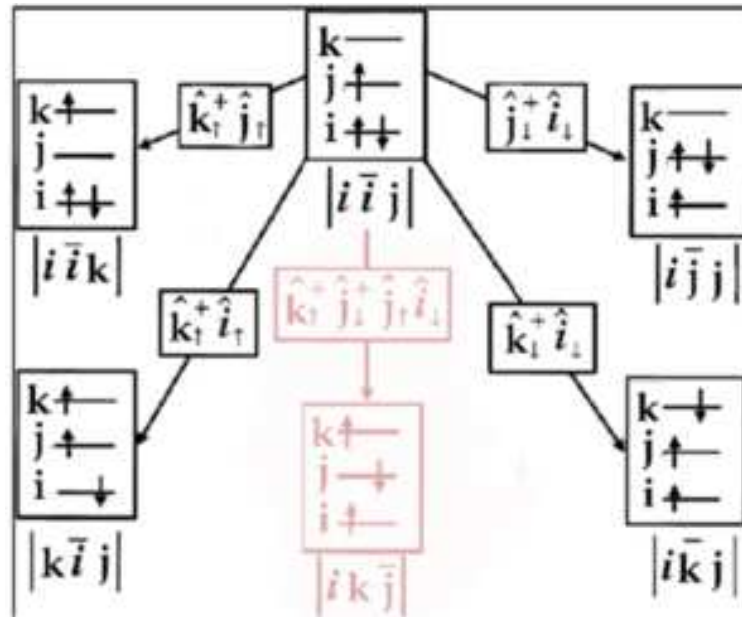


Figura 6.2: Descrizione degli stati eccitati per un modello a 3 livelli, 3 elettroni.

elettrone ed il terzo vuoto. Nella matrice Ω compariranno gli elementi che descrivono le transizioni $1 = jk \uparrow$, $2 = ij \downarrow$, $3 = ik \uparrow$, $4 = ik \downarrow$, abbiamo dunque una matrice di dimensione 4×4 . In questo caso però notiamo subito che la matrice non presenta più alcuna simmetria e dunque non può più essere separata in due blocchi. La simmetria della matrice rispetto allo spin sembra dunque scomparsa. D'altra parte sappiamo che anche per sistemi a shell aperta valgono le stesse regole di selezione individuate in precedenza, e dunque partendo da un sistema come il nostro in cui $S = 1/2$ e $S_z = 1/2$ dovremmo avere due possibili blocchi di eccitazioni, quelle che conservano lo spin, eccitazioni di doppietto, e quelle per cui $\Delta S = 1$, eccitazioni di quadrupletto. Cerchiamo di capire perché non ritroviamo tali simmetrie nella matrice costruita.

6.5.1 Il problema delle eccitazioni multiple

Partiamo sempre dal sistema modello con tre elettroni. Imponendo come in precedenza che lo stato fondamentale e gli stati eccitati siano contemporaneamente autostati di \hat{h}_{KS} , \hat{S}^2 e \hat{S}_z otteniamo le seguenti funzioni d'onda: lo

stato fondamentale con un doppietto

$$\Phi_{1/2}^2 = |\psi_{i\uparrow}\psi_{i\downarrow}\psi_{j\uparrow}| = |i\bar{i}j\rangle$$

e i suoi stati eccitati con quattro doppietti

$$\begin{aligned}\Phi_{1/2}^2 &= |i\bar{i}k\rangle \\ \Phi_{1/2}^2 &= |i\bar{j}j\rangle \\ \Phi_{1/2}^2 &= \frac{1}{\sqrt{2}}(|\bar{i}jk\rangle - |ij\bar{k}\rangle) \\ \Phi_{1/2}^2 &= \frac{1}{\sqrt{6}}(|\bar{i}jk\rangle + |ij\bar{k}\rangle - 2|i\bar{j}k\rangle)\end{aligned}$$

e uno stato di quadrupletto

$$\Phi_{1/2}^4 = \frac{1}{\sqrt{3}}(|\bar{i}jk\rangle + |ij\bar{k}\rangle + |i\bar{j}k\rangle) \quad .$$

Abbiamo qui già tenuto in considerazione le regole di selezione per lo spin, la barra sopra uno stato indica che questo è occupato da un elettrone a spin down. Notiamo immediatamente che l'aver imposto che le funzioni d'onda siano autostati di \hat{S}^2 fa sì che gli stati eccitati di KS debbano mischiarsi con uno stato che dal punto di vista delle funzioni d'onda di Kohn e Sham è uno stato a eccitazione doppia ($|i\bar{j}k\rangle$). Questo poiché in sistemi a shell aperta compaiono stati con tre bande semi occupate e come conseguenza l'operatore \hat{S}^2 di fatto mischia tali stati con altri in cui lo spin di due particelle del sistema è stato invertito (questo accadeva anche per sistemi a shell chiusa ma in questo caso venivano tra loro mischiati solo stati a eccitazione singola, poiché erano presenti solo stati eccitati con due bande semi-occupate). Mancando di fatto tale stato nella formulazione da noi fatta la matrice non può presentare la simmetria richiesta e dunque essere separata a blocchi.

Se cercassimo invece di costruire autostati di \hat{h}_{KS} , \hat{S}_z e \hat{S}^2 con le sole eccitazioni a particella singola otterremmo tre doppietti

$$\begin{aligned}\Phi_{1/2}^2 &= |i\bar{i}k\rangle \\ \Phi_{1/2}^2 &= |i\bar{j}j\rangle \\ \Phi_{1/2}^2 &= \frac{1}{\sqrt{2}}(|\bar{i}jk\rangle - |ij\bar{k}\rangle)\end{aligned}$$

e uno stato di tripletto [13]

$$\Phi_{1/2}^3 = \frac{1}{\sqrt{2}}(|\bar{i}jk\rangle + |ij\bar{k}\rangle) \quad .$$

Vediamo dunque come manchi uno dei doppietti, mentre abbiamo un tripletto invece di un quadrupletto. Tra le energie di eccitazione che otterremo diagonalizzando la matrice ci aspettiamo dunque che potranno essere in qualche modo considerate solo quelle eccitazioni che conservano \hat{S}^2 .

Poiché d'altra parte la teoria sopra formulata è in principio esatta dobbiamo immaginare che tale deficienza vada individuata nell'approssimazione eseguita e dunque nell'approssimazione adiabatica. In effetti mostreremo nell'ultimo capitolo di questa tesi il modello che Casida propone per correggere tale problema e come nell'analizzare il problema lo stesso Casida individui proprio nell'approssimazione adiabatica per il kernel della TDDFT il motivo per cui in tale formalismo non siano presenti tutti gli stati ad eccitazione doppia.

La correzione di questo problema, che come vedremo si tradurrà nella necessità di scartare alcune delle eccitazioni calcolabili diagonalizzando la matrice di Casida, esula però dagli scopi di questa tesi. Per i calcoli che effettueremo ci accontenteremo dunque di utilizzare la teoria sin qui costruita e di diagonalizzare la matrice completa in approssimazione adiabatica. Abbiamo in altre parole terminato di illustrare il formalismo che abbiamo implementato e che utilizzeremo nei capitoli successivi per lo studio degli stati eccitati di molecole con stato fondamentale spin polarizzato.

L'ultima sezione di questo capitolo costituisce invece un tentativo di generalizzare il formalismo sin qui presentato. Nei calcoli che faremo le generalizzazioni proposte non verranno considerate.

6.6 Proposte per estendere la teoria

In questa sezione infine cercheremo di mostrare come sia possibile estendere la teoria di Casida sin qui descritta a due situazioni che non sono state considerate.

La prima situazione è quella in cui venga considerata una perturbazione esterna di questo tipo

$$\hat{V}^{ext}(t) = \sum_{\alpha\beta} \int d^3\mathbf{x} V_{\alpha\beta}^{ext}(\mathbf{x}, t) \hat{\psi}_{\alpha}^{\dagger}(\mathbf{x}) \hat{\psi}_{\beta}(\mathbf{x}) \quad , \quad (6.36)$$

in cui cioè compaiano anche termini non diagonali nello spin.

La seconda situazione è quella in cui

$$[\hat{H}, \hat{S}_z] \neq 0 \quad , \quad (6.37)$$

in cui quindi l'Hamiltoniana e l'operatore \hat{S}_z non hanno autostati in comune e per cui è dunque necessario considerare degli spinori.

Per entrambe le estensioni non dovremo far altro che scegliere in modo adeguato lo spazio verso cui proiettare la TDDFT in modo da ottenere la corretta formulazione. Altra necessità che comparirà in entrambe le teorie sarà quella di lavorare con un kernel non diagonale rispetto allo spin e dunque che dovrà partire dalla forma completa dell'energia di scambio e correlazione come funzionale della matrice densità

$$K_{\sigma\tau,\delta\gamma} = \frac{\delta E_{xc}[\rho_{\sigma\tau}]}{\delta\rho_{\delta\gamma}} \quad . \quad (6.38)$$

6.6.1 Includere la possibilità di spin flip

Considerare una perturbazione in cui siano presenti anche le componenti non diagonali rispetto allo spin significa di fatto considerare la possibilità di una perturbazione in cui siano presenti oltre ai termini già individuati per il caso diagonale rispetto allo spin anche le componenti lungo le direzioni x e y del campo magnetico. La perturbazione può in altre parole essere scritta come

$$\begin{aligned} \hat{V}^{ext}(t) = & \int d^3\mathbf{x} [V(\mathbf{x}, t)\hat{\rho}(\mathbf{x}, t) + B_z(\mathbf{x}, t)\hat{m}_z(\mathbf{x}, t) \\ & + B_y(\mathbf{x}, t)\hat{m}_y(\mathbf{x}, t) + B_x(\mathbf{x}, t)\hat{m}_x(\mathbf{x}, t)] \quad . \end{aligned} \quad (6.39)$$

La principale conseguenza di questa scelta è, come già detto, che ora anche le componenti non diagonali della densità rispetto allo spin avranno una variazione differente da zero, questo perché anche nella perturbazione compaiono tali componenti della densità. Scriviamo dunque l'espressione della variazione di densità considerando tali componenti:

$$\delta n_{\alpha\beta}(\mathbf{x}t) = \int d^3\mathbf{x}' \int dt' \chi_{\alpha\beta,\gamma\delta}(\mathbf{x}t, \mathbf{x}'t') V_{\gamma\delta}^{ext}(\mathbf{x}'t') \quad . \quad (6.40)$$

Questa in realtà è una generalizzazione della (5.29) nel caso in cui si considerino componenti della densità non diagonali rispetto allo spin. La generalizzazione appena fatta ci appare qui del tutto intuitiva e dunque non ne riportiamo una dimostrazione. Scriviamo quindi la funzione di risposta ed il kernel nello spazio delle configurazioni.

$$\begin{aligned} \chi_{i\alpha j\beta, h\gamma k\delta} &= \int \int d^3\mathbf{x} d^3\mathbf{x}' \psi_{i\alpha}(\mathbf{x}) \psi_{j\beta}^*(\mathbf{x}) \chi_{\alpha\beta,\gamma\delta}(\mathbf{x}t, \mathbf{x}'t') \psi_{h\gamma}^*(\mathbf{x}') \psi_{k\delta}(\mathbf{x}') \\ K_{i\alpha j\beta, h\gamma k\delta} &= \int \int d^3\mathbf{x} d^3\mathbf{x}' \psi_{i\alpha}(\mathbf{x}) \psi_{j\beta}^*(\mathbf{x}') K_{\alpha\beta,\gamma\delta}(\mathbf{x}t, \mathbf{x}'t') \psi_{h\gamma}^*(\mathbf{x}') \psi_{k\delta}(\mathbf{x}') \quad . \end{aligned} \quad (6.41)$$

Vediamo dunque che così come per la densità anche per la funzione di risposta e per il kernel compaiono dei termini non diagonali nello spin. La prima differenza evidente che compare in questa situazione è dunque la presenza di un ulteriore indice di spin in tutte le formule. Prima di procedere con il tentativo di scrivere l'equazione di Casida dobbiamo però fare un'ultima considerazione sul potenziale scelto. Come sappiamo infatti l'idea di Casida parte dal fatto che, riordinando la base scelta possiamo scrivere una relazione tra la variazione della parte reale della densità rispetto alla parte reale del potenziale esterno in modo da ottenere una matrice che è di dimensione dimezzata e di tipo hermetiano. La condizione di realtà per il potenziale ha però senso in spazio reale e non nello spazio dello spin. Per questo per verificare la condizione di realtà del potenziale in quest'ultimo dobbiamo scrivere le trasformazioni dal primo. Per la situazione studiata da Casida queste coincidono con la (6.32) in cui compaiono solo coefficienti reali e dunque la condizione di realtà risulta equivalente nelle due formulazioni. Se consideriamo invece un potenziale non diagonale rispetto allo spin le trasformazioni risultano essere

$$\begin{aligned} V(\mathbf{x}) &= 1/2(V_{\uparrow\uparrow} + V_{\downarrow\downarrow}) \\ B_z(\mathbf{x}) &= 1/2(V_{\uparrow\uparrow} - V_{\downarrow\downarrow}) \\ B_x(\mathbf{x}) &= 1/2(V_{\uparrow\downarrow} + V_{\downarrow\uparrow}) \\ B_y(\mathbf{x}) &= -i/2(V_{\uparrow\downarrow} - V_{\downarrow\uparrow}) \quad . \end{aligned} \quad (6.42)$$

Compaiono dunque dei coefficienti immaginari e la relazione tra la realtà del potenziale esterno in spazio reale e in spazio di spin non è più quella banale.

In questo caso, in altre parole, ciò che possiamo fare è partire dall'equazione (6.22) e cercare di estrarre le eccitazioni da questa. Una possibilità è senz'altro costituita dalla scelta di lavorare in approssimazione Tamm-Dancoff (TDA), il che consiste nell'ignorare la seconda riga di tale equazione ottenendo

$$(A - \omega C)\delta P(\omega) = \delta V^{ext}(\omega) \quad . \quad (6.43)$$

Non sarà invece più possibile costruire la matrice $\Omega(\omega)$ di Casida.

Concludiamo il paragrafo segnalando come di fatto l'introduzione di questo tipo di perturbazione modifichi evidentemente le regole di selezione per lo spin. In questo caso avremo:

$$\Delta S = 0, 1 \quad ; \Delta S_z = 0, \pm 1 \quad .$$

6.6.2 Sistemi non collineari

La teoria di Casida fin qui esposta prevede che l'operatore \hat{S}_z commuti con l'Hamiltoniana totale del sistema e che quindi gli autostati dell'Hamiltoniana

siano funzioni d'onda con S_z fissato. Cerchiamo ora di studiare come potrebbe essere riformulata la teoria nel caso in cui questo non accada. La prima conseguenza sarebbe quella che le auto-funzioni a particella singola della DFT non sarebbero più degli spinori con una singola componente differente da zero, il che ci permetteva di lavorare con semplici funzioni d'onda, ma spinori con entrambe le componenti differenti da zero. Quello che dobbiamo quindi fare è molto semplicemente utilizzare le regole del cambio di base già viste per passare dallo spazio \mathbf{r}, σ allo spazio degli spinori n . Vediamo quindi come risulterebbero le equazioni in questo nuovo spazio. Iniziamo con lo scrivere la matrice densità

$$\hat{n}_{\alpha\beta}(\mathbf{x}, t) = \sum_{n,m} \phi_n^*(\mathbf{x}\alpha) \phi_m(\mathbf{x}\beta) \hat{b}_n^\dagger(t) \hat{b}_m(t) \quad , \quad (6.44)$$

dove con la notazione ϕ_n intendiamo uno spinore a due componenti $\psi_{n\uparrow}$ e $\psi_{n\downarrow}$. Sottolineiamo come in generale le nuove funzioni $\psi_{n\sigma}$ non siano però un s.o.n.c., ma semplicemente la componente dello spinore a spin up e down. Le relazioni di ortonormalità saranno invece date da

$$\begin{aligned} \int d^3\mathbf{r} \phi_n^*(\mathbf{r}) \phi_m(\mathbf{r}) &= \delta_{n,m} \\ \sum_{\sigma} \int d^3\mathbf{r} \psi_{n\sigma}^*(\mathbf{r}) \psi_{m,\sigma}(\mathbf{r}) &= \delta_{n,m} \quad . \end{aligned} \quad (6.45)$$

Definita quindi la nuova grandezza

$$Q_{nm}(t) = \langle \Psi_{KS} | \hat{b}_n^\dagger \hat{b}_m | \Psi_{KS} \rangle \quad , \quad (6.46)$$

otterremo le due equazioni

$$\delta Q_{nm}(t) = \chi_{nm,lt}^{KS}(t-t') V_{lt}^{eff}(t') \quad (6.47)$$

$$\delta Q_{nm}(t) = \chi_{nm,lt}(t-t') V_{lt}^{ext}(t') \quad . \quad (6.48)$$

Proseguendo in modo identico a quanto fatto in precedenza possiamo scrivere il kernel nella nuova rappresentazione, esprimere poi in modo esplicito la funzione di risposta libera e infine scrivere la nostra equazione per la funzione di risposta totale. Non ripetiamo quindi le considerazioni già fatte ma ci limitiamo a scrivere i risultati per il kernel,

$$K_{nm,lt}(t-t') = \frac{\delta V_{nm}^H(t)}{\delta Q_{lt}(t')} + \frac{\delta V_{nm}^{xc}(t)}{\delta Q_{lt}(t')} \quad , \quad (6.49)$$

e per la funzione di risposta libera

$$\chi_{nm,lt}^{KS}(\omega) = \delta_{n,t} \delta_{m,l} \frac{f_n - f_m}{\omega - (\epsilon_m^{KS} - \epsilon_n^{KS})} \quad . \quad (6.50)$$

Infine, come in precedenza esprimiamo il kernel nella nuova base rispetto alla base $\mathbf{r}\sigma$:

$$K_{nm,lt}(t-t') = \sum_{\alpha\beta,\delta\gamma} \int d^3\mathbf{r}d^3\mathbf{r}' \phi_n^*(\mathbf{r}, \alpha) \phi_m(\mathbf{r}, \beta) K_{\alpha\beta,\delta\gamma}[\rho](\mathbf{r}t, \mathbf{r}'t') \phi_l^*(\mathbf{r}', \delta) \phi_t(\mathbf{r}', \gamma) \quad (6.51)$$

In questo modo abbiamo riscritto il formalismo di Casida per un sistema in cui l'Hamiltoniana non commuta con lo l'operatore \hat{S}_z

Rispetto al caso studiato da Casida dovremo ora tenere in considerazione un'importanti differenza dovuta al fatto che avremo a che fare ma con degli spinori. Poichè infatti gli spinori sono grandezze intrinsecamente complesse (per vedere questo è sufficiente provare a scrivere gli autostati delle matrici di Pauli) non sarà in alcun modo valida la relazione

$$\phi_n^*(\mathbf{r}, \gamma) \phi_m(\mathbf{r}, \delta) = \phi_n(\mathbf{r}, \gamma) \phi_m^*(\mathbf{r}, \delta) \quad (6.52)$$

e come conseguenza la matrice del kernel nello spazio degli stati non avrà più quelle simmetrie che abbiamo utilizzato per giungere alla formulazione della matrice Ω (6.27). Come nel caso precedente dunque lo sviluppo della teoria dovrà partire dall'equazione (6.22) e dunque una possibile soluzione è nuovamente quella di lavorare in TDA (Tamm-Dancoff Approximation).

Un'ultima breve considerazione sulle regole di selezione per il caso non collineare. Poiché a determinare le regole di selezione è la perturbazione esterna, le regole di selezione saranno identiche a quelle sin qui trovate per i sistemi collineari. La non collinearità non porta da questo punto di vista niente di nuovo se non forse che perde in effetti di senso considerare la conservazione della componente z dello spin.

Capitolo 7

Risultati

7.1 La molecola di BeH

7.1.1 Calcoli eseguiti

Come già detto nell'introduzione, il lavoro di questa tesi è stato focalizzato su una modifica dell'implementazione del formalismo di Casida per la TDDFT all'interno del software ABINIT [14] che permettesse di studiare anche sistemi a shell aperta e sbilanciati in spin.

Prima di utilizzare il programma per lo studio di un sistema con stato fondamentale a spin polarizzato abbiamo eseguito alcuni test su di un sistema che non presenta effetti di polarizzazione rispetto allo spin. A questo scopo abbiamo calcolato con il nostro programma [14] lo spettro di eccitazione della molecola N_2 utilizzando prima l'opzione $nsppol = 1$, in modo che il software utilizzasse l'implementazione già presente ed inseguito con l'opzione $nsppol = 2$ in modo che il software utilizzasse la nuova implementazione includendo in modo separato gli stati a spin up e quelli a spin down.

Tutti i test hanno dato gli stessi risultati per lo spettro di eccitazione del sistema. Abbiamo dunque deciso di proseguire il nostro lavoro cercando di studiare un sistema che presenti stato fondamentale spin-polarizzato.

7.1.2 Presentazione della molecola

La scelta di utilizzare questa molecola per testare il nostro programma è motivata dal fatto che questa è la molecola più semplice che abbiamo trovato a presentare un ground-state a spin polarizzato e dal fatto che di questa molecola abbiamo a disposizione dati sperimentali [20] e dati teorici ottenuti nell'ambito dello stesso formalismo con cui confrontarci [16, 17].

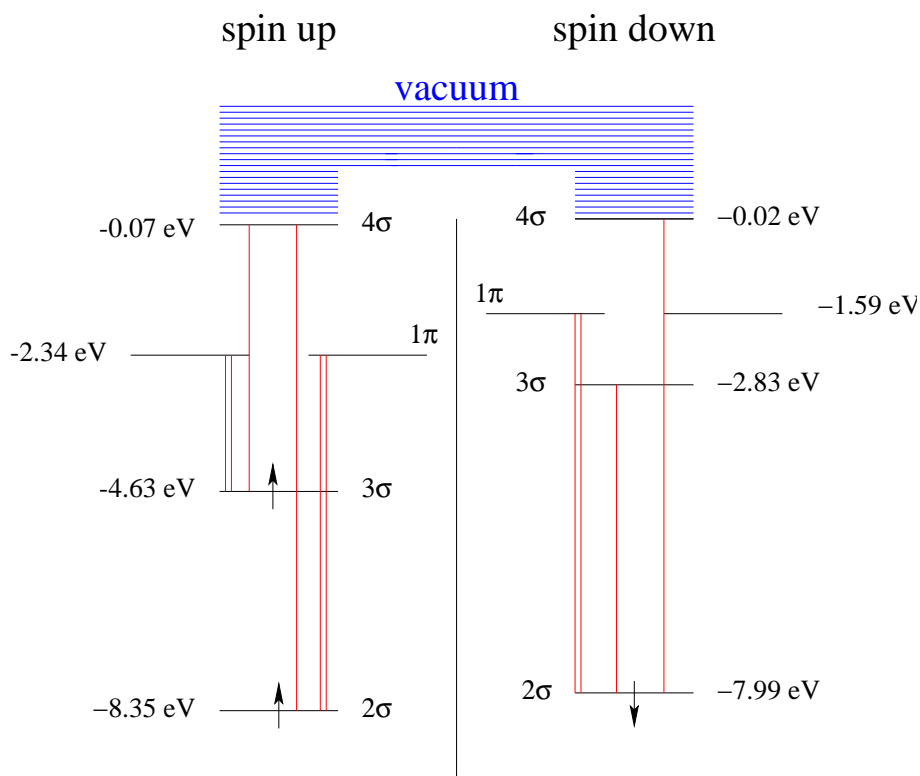


Figura 7.1: Schema degli autovalori di KS per il BeH calcolati con il programma ABINIT (DFT, approssimazione LSDA). Risultati ottenuti per $\text{acell}=50 \times 50 \times 50$ Bohr, $\text{ecut}=10$ Ha, $\text{ndband}=50$. Per la classificazione degli stati si veda l'appendice A.

Per lo studio dello spettro di eccitazione siamo partiti dal dato sperimentale per la distanza d'equilibrio tra i due ioni della referenza [20] e abbiamo lanciato il programma ABINIT in due step successivi: un primo step in cui vengono calcolati in modo auto-consistente le funzioni d'onda degli stati occupati della molecola e un secondo step in cui vengono calcolate anche le funzioni d'onda degli stati non occupati, viene costruita la matrice Ω e viene diagonalizzata la matrice stessa.

Lo schema per lo stato fondamentale della molecola che abbiamo ottenuto è $2\sigma^2 3\sigma^1$; non compare qui lo stato 1σ poiché il nostro programma lavora solo con gli elettroni di valenza, inglobando gli elettroni di core in un pseudopotenziale [14]. Il diagramma completo degli autovalori di KS ottenuto dal secondo step è rappresentato in figura 7.1.

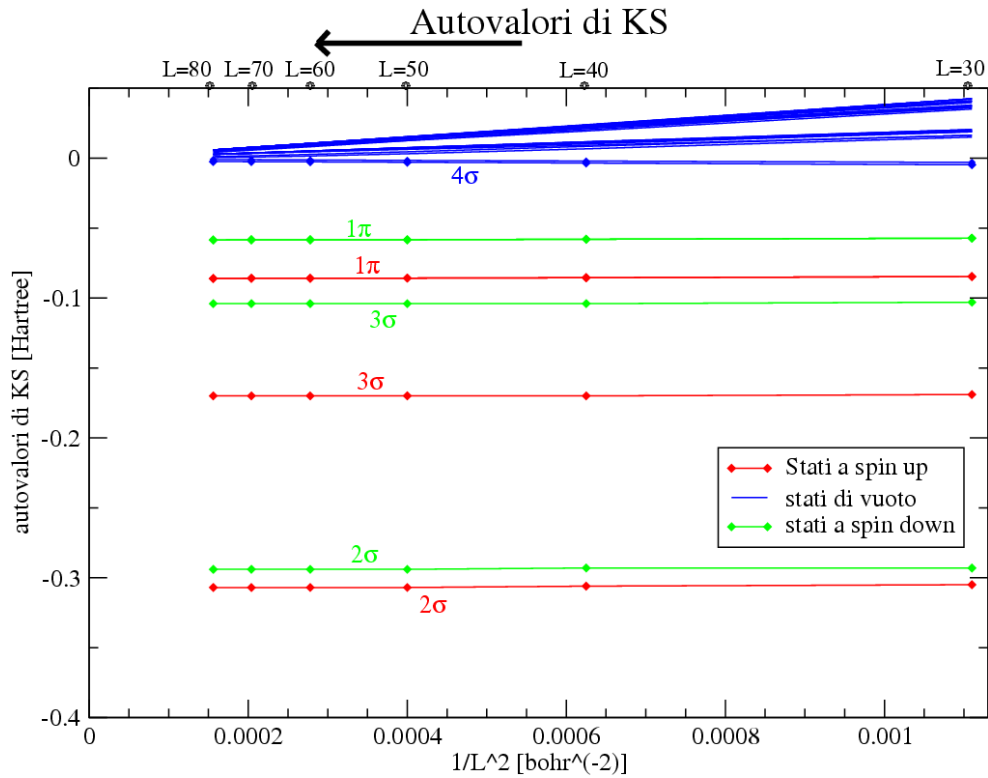


Figura 7.2: Effetti di taglia (L =lato della supercella) sugli autovalori di KS. Energia di cut-off, $ecut=10$ Hartree

Abbiamo due serie differenti di autovalori per gli elettroni a spin up e quelli a spin down poiché il sistema è spin polarizzato. Dallo schema riportato in figura possiamo iniziare ad analizzare innanzi tutto l'energia di ionizzazione del sistema, $-\epsilon_{HOMO}^\uparrow = 4.63$ eV, interpretando come tale l'energia dell'ultimo stato occupato riferita al livello di vuoto. Vediamo che questo valore è di molto inferiore al valore sperimentale, $-\epsilon_{HOMO}^\uparrow = 8.21$ eV [20], ma in perfetto accordo con il valore riportato da Casida, $-\epsilon_{HOMO}^\uparrow = 4.60$ eV [16]. Vedremo come questo errore, dovuto all'inadeguatezza del potenziale di scambio e correlazione LDA, si tradurrà nell'impossibilità di individuare alcune delle eccitazioni della molecola.

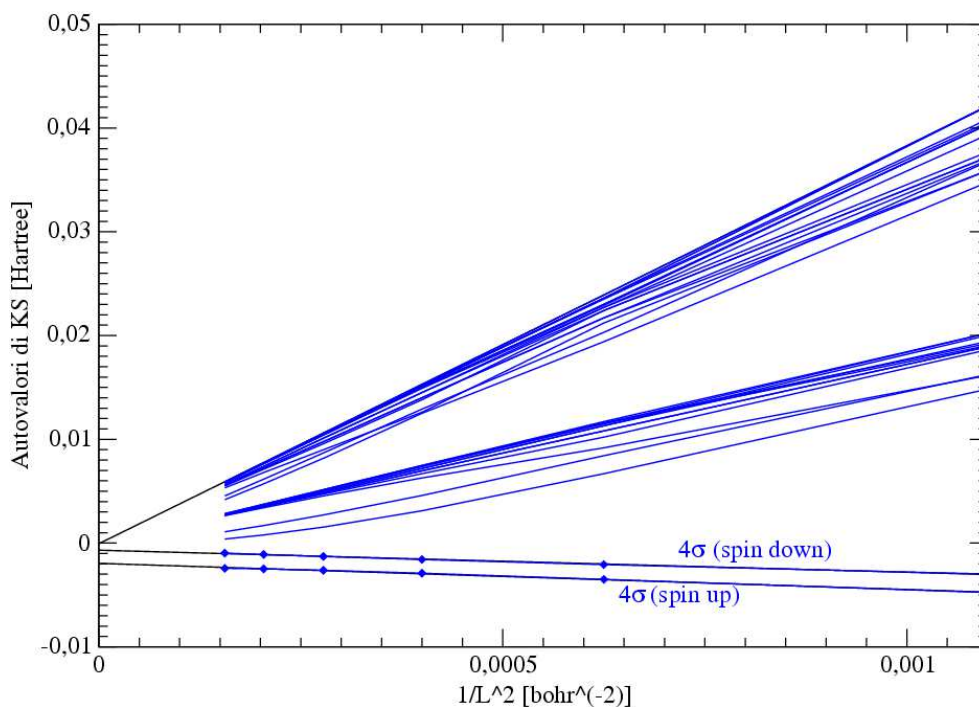


Figura 7.3: Ingrandimento della regione vicino al livello 0 eV dell'energia della figura 7.2

7.1.3 Convergenza per gli orbitali di KS

Come prima cosa studiamo il comportamento degli autovalori di KS la variare di due parametri: le dimensioni della supercella e l'energia di cut-off che definisce la base di onde piane. Presentiamo innanzi tutto il grafico con la convergenza dei risultati rispetto alle dimensioni della supercella (fig. 7.2). Abbiamo messo in grafico il variare dell'autoenergia di KS rispetto a $1/L^2$ poiché in questo modo siamo in grado di individuare gli stati di vuoto. Uno stato di vuoto è infatti caratterizzato da un'energia del tipo

$$\epsilon_j = \frac{\hbar^2 k_j^2}{2m} \quad , \quad (7.1)$$

dove m è la massa dell'elettrone, j l'indice del livello eccitato e k è il vettore d'onda che, all'interno di una cella di dimensioni finite, vale $\mathbf{k}_j = \frac{2\pi}{\lambda} \hat{\mathbf{k}} = \frac{2\pi \mathbf{j}}{L}$, per \mathbf{j} vettore a componenti intere, e quindi l'energia di uno stato di vuoto

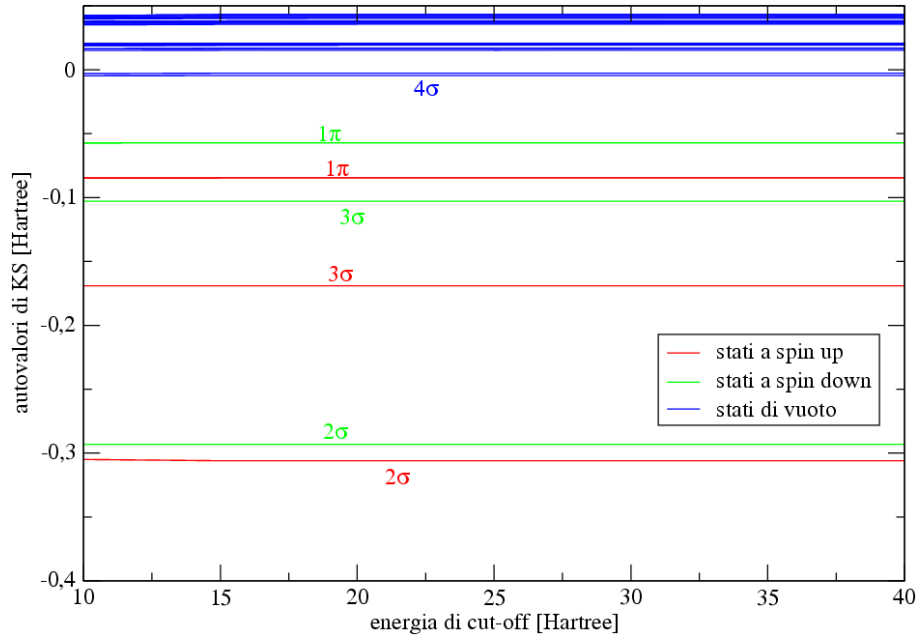


Figura 7.4: Grafico di convergenza per le auto-energie di KS rispetto al valore del cut-off sull'energia

risulta

$$\epsilon_j = \frac{4\pi^2 \hbar^2 j^2}{2mL^2} \quad (7.2)$$

da cui vediamo che gli stati di vuoto possono essere individuati come quegli stati che hanno una dipendenza di tipo lineare dal quadrato dell'inverso del lato della supercella. Nel grafico (fig. 7.2) possiamo così individuare come stati di vuoto tutti quegli stati che abbiamo rappresentato in blu. Questo diagramma giustifica la rappresentazione fatta dello schema dei livelli (fig. 7.1), e in particolare permette di individuare il livello di vuoto come il valore a cui tendono tali stati (fig. 7.3) e che verrà preso come 0 di riferimento della scala di energie.

Individuati gli stati di vuoto dal grafico (fig. 7.2) possiamo invece osservare come gli altri stati, che chiameremo stati di valenza per distinguerli dagli stati di vuoto, convergono rapidamente rispetto alle dimensioni della supercella. Allo stesso modo possiamo osservare nel grafico (fig. 7.4) come la convergenza sia stata raggiunta anche per l'energia di cut-off del sistema.

Tipo eccit.	eccitaz. principale [17]	TDLDA Gaussian03 [17]	TDLDA DeMon2k [17]	Presente Lavoro TDDFT	Calcoli Quant. Chem. [19]	Dati sper. [20]
Π	$3\sigma- \rightarrow 1\pi \uparrow$	2.3657	2.2479	2.40	2.56	2.48
Σ	$3\sigma- \rightarrow 4\sigma \uparrow$	4.6633	4.5103	4.52	5.51	
Σ	$3\sigma- \rightarrow 5\sigma \uparrow$	4.7576	4.6300	4.69	5.61	
Π	$3\sigma- \rightarrow 2\pi \uparrow$	4.8451	4.7047	4.80	6.31	6.31
Σ	$2\sigma- \rightarrow 3\sigma \downarrow$	5.1318	4.8049	****	6.12	
Π	$2\sigma- \rightarrow 1\pi \uparrow\downarrow$	5.6338	5.1685	5.65	6.74	~ 6.7
Σ	$3\sigma- \rightarrow 6\sigma \uparrow$	5.6414	5.4803	****	6.71	~ 6.7
Δ					6.77	~ 6.7
Σ						6.71
Σ						7.02
Π					7.27	7.28

Tabella 7.1: Confronto dei dati riportati con alcuni valori teorici di riferimento e dati sperimentali

7.2 Analisi dei dati

7.2.1 Confronto con i risultati ottenuti da Casida

Svolti i test di convergenza per lo studio delle autoenergie di KS possiamo passare allo studio delle energie di eccitazione ottenute diagonalizzando la matrice di Casida (6.30) e confrontare i risultati ottenuti con quelli a nostra disposizione. Negli articoli [16, 17] sono riportate almeno le prime sette energie di eccitazione e in particolare nel lavoro [17] possiamo trovare la transizione principale di KS associata ad ogni eccitazione (tab. 7.1)

Facendo riferimento a questi dati possiamo scegliere, tra le eccitazioni che troviamo nel nostro file di output le stesse riportate da Casida, ovvero quelle a cui è associata la stessa transizione di KS riportata nella referenza, ottenendo così i risultati riportati nella tabella (7.1). Vediamo che l'accordo con i dati riportati da Casida è ottimo, unica eccezione è costituita dalle eccitazioni che coinvolgono la transizione $2\sigma- \rightarrow 3\sigma \downarrow$ che nei nostri calcoli, per i parametri indicati in tabella (tab. 7.1) risulta di difficile individuazione e che per il momento non riportiamo. L'accordo non è invece altrettanto buono se confrontato con i valori teorici di riferimento, tratti da un lavoro di I.D. Petsalakis [19] (valori teorici presi come riferimento da Casida nei lavori

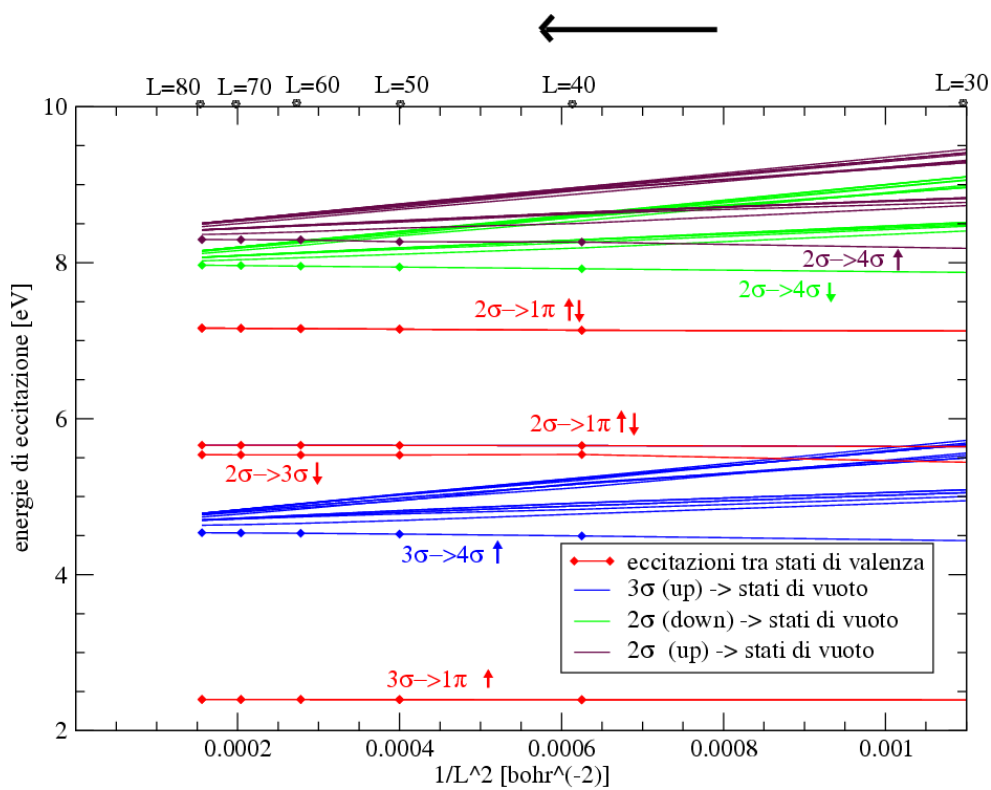


Figura 7.5: Convergenza delle energie di eccitazione TDDFT rispetto alle dimensioni della supercella

[16, 17]) e con alcuni dati sperimentali [20].

Analizzando le eccitazioni ottenute confrontando i dati con quelli riportati da Casida abbiamo però trascurato di considerare due fatti:

1. L'approssimazione LDA è responsabile della sottostima dell'energia di legame dei livelli molecolari occupati rispetto al livello di vuoto.
2. L'approssimazione adiabatica, come discusso nel capitolo in cui abbiamo presentato la teoria di Casida, dovrebbe impedirci di ottenere, in linea di principio, alcune delle eccitazioni del sistema e tra le eccitazioni trovate saremo costretti a scartare quelle per le quali lo spin totale del sistema non viene conservato.

La prima di queste due considerazioni ci porta a studiare nuovamente il problema degli stati di vuoto già presentato per gli autovalori di KS e vedere

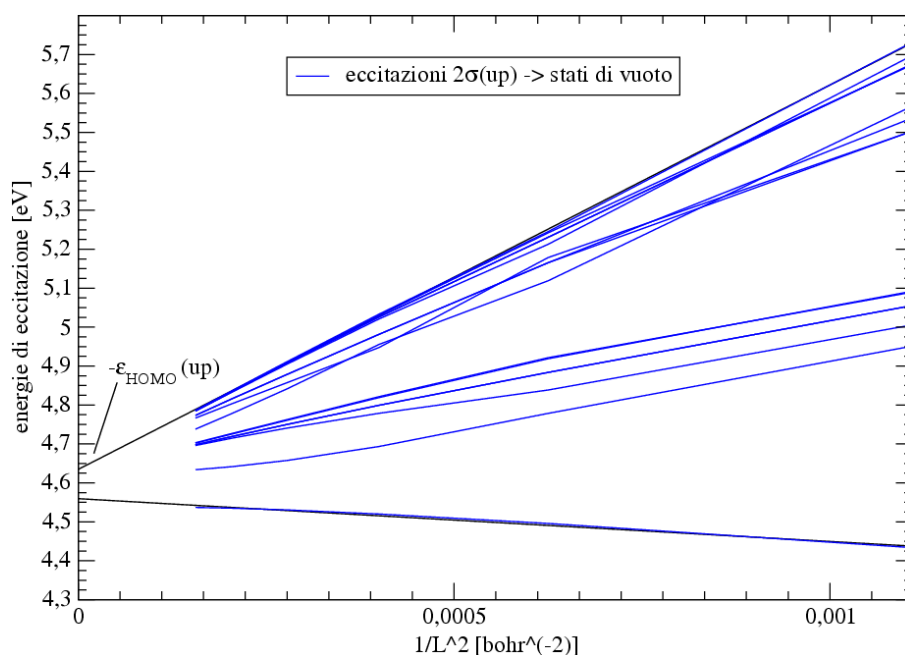


Figura 7.6: Grafici di convergenza delle energie di eccitazione verso stati di vuoto rispetto alle dimensioni della supercella.

come questo si riscontri nello studio delle energie di eccitazione in TDDFT. Guardando la figura 7.5 possiamo osservare che le eccitazioni che coinvolgono stati con energia superiore allo stato 4σ presentano un andamento fortemente sensibile alle dimensioni della supercella e possono dunque essere interpretate come eccitazioni verso stati di vuoto.

Come in precedenza possiamo studiare l'andamento delle energie di eccitazione rispetto alla grandezza $1/L^2$ per mettere in evidenza gli stati di vuoto. Nello spettro compaiono delle serie differenti di energie di eccitazione a seconda di quale sia lo stato di partenza da cui l'elettrone viene eccitato verso stati di valenza e di vuoto (fig. 7.6,7.7).

Decidiamo quindi di scartare tutte le eccitazioni fortemente sensibili alle condizioni al contorno e, per lo stesso motivo, di non considerare le eccitazioni che coinvolgono lo stato 4σ , poiché anche quest'ultimo, pur presentando un'autoenergia negativa, ha un comportamento molto più simile a uno stato di vuoto (7.3) che non ad uno stato di valenza¹. La scelta di scartare le ec-

¹In proposito a questa considerazione possiamo anche osservare la serie di immagini, che rappresentano gli orbitali di KS in spazio reale, raffigurate nella parte finale di questo

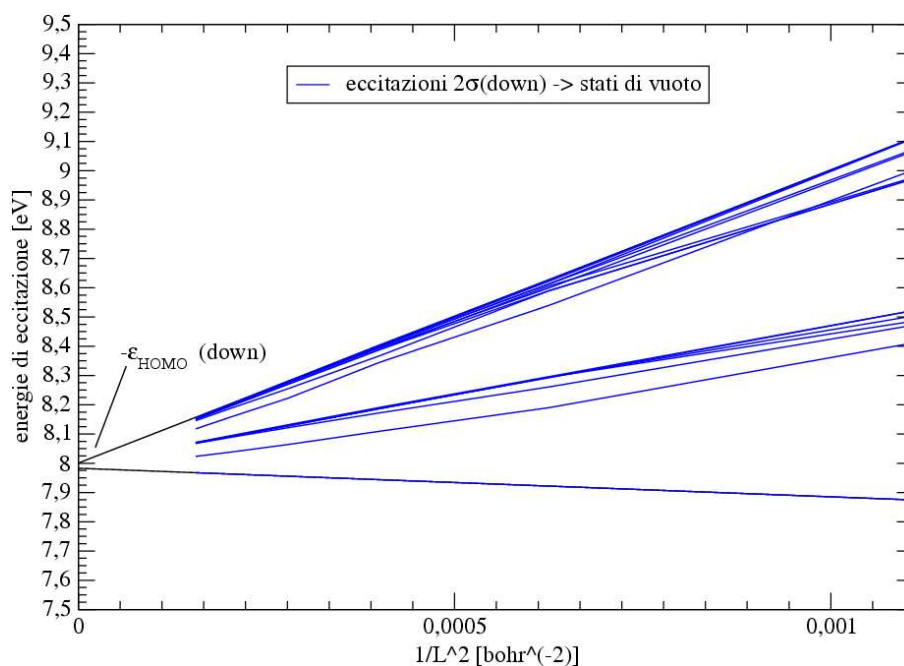


Figura 7.7: Grafici di convergenza delle energie di eccitazione verso stati di vuoto rispetto alle dimensioni della supercella.

citazioni verso stati di vuoto viene in particolare fatta in accordo con i dati presentati nel lavoro [18] per lo studio della molecola N_2 . In tale lavoro infatti viene mostrato come l'approssimazione LDA sia responsabile, a causa del non corretto andamento asintotico del potenziale di scambio e correlazione, di uno spostamento verso l'alto e dunque verso il vuoto di tutti i livelli di valenza. In questo modo si ha la comparsa di una serie di eccitazioni verso stati di vuoto che scompaiono studiando il sistema con un potenziale che presenti un andamento asintotico corretto e che quindi l'autrice individua come non fisiche.

La seconda delle considerazioni ci porta a guardare in modo più dettagliato le eccitazioni non sensibili alle condizioni al contorno e a cercare un metodo per individuare quali di queste siano da scartare. A questo scopo scriviamo la tabella con le nostre eccitazioni (7.2)². Come già detto scartiamo tutte le eccitazioni verso lo stato 4σ . Guardando alle altre vediamo che quelle che in-

capitolo da cui è possibile osservare nuovamente come lo stato 4σ abbia un comportamento differente dagli altri orbitali di valenza e molto più simile ad uno stato di vuoto.

²Abbiamo scelto di lavorare con una supercella di dimensioni maggiori poiché in questo modo siamo anche in grado di ottenere l'eccitazione $2\sigma^1 3\sigma^2$ che con questi parametri è più

Eccitazione	energia TDDFT	eccitazione principale	Configurazione elettronica spaziale	Contributo dell'eccitazione principale
Π	2.40	$3\sigma \rightarrow 1\pi \uparrow$	$2\sigma^2 1\pi^1$	99%
Σ	5.54	$2\sigma \rightarrow 3\sigma \downarrow$	$2\sigma^1 3\sigma^2$	96%
Π	5.66	$2\sigma \rightarrow 1\pi \uparrow\downarrow$	$2\sigma^1 3\sigma^1 1\pi^1$	99%
Π	7.14	$2\sigma \rightarrow 1\pi \uparrow\downarrow$	$2\sigma^1 3\sigma^1 1\pi^1$	97%

Tabella 7.2: Schema completo delle eccitazioni a convergenza, le eccitazioni sono state scelte osservando i grafici (fig. 7.5, 7.6, 7.7) I parametri dei risultati riportati sono ecut 10 Hartree, nband 50, acell $70 \times 70 \times 70$ Bohr

contrebbero il problema descritto nel capitolo precedente sono le eccitazioni in cui abbiamo 3 stati parzialmente occupati. Osserviamo come per questo tipo di eccitazione ne compaiono sempre due che presentano lo stesso tipo di occupazione degli orbitali spaziali. Di queste due dunque, immaginiamo che una sarà l'eccitazione verso uno stato con spin totale maggiore e l'altra l'eccitazione verso uno stato con spin totale $S = 1/2$ come lo stato fondamentale del sistema utilizzando il fatto che $\Delta S = 0, 1$ e rifacendoci a quanto detto nel capitolo precedente.

Ci affidiamo ora alla regola di Hund ed individuiamo l'eccitazione a spin maggiore, cioè quella che vogliamo scartare, come quella ad energia minore e dunque tra le due eccitazioni $\Pi = 5.657$ e $\Pi = 7.145$ scegliamo di assegnare alla seconda $S = 1/2$.

Osserviamo che, riguardo ai due problemi segnalati, Casida sembra ignorare il primo, probabilmente poiché lavorando con una base localizzata non è in grado di distinguere stati di vuoto da stati di valenza³. Per il secondo invece elabora un modo molto più raffinato di quello da me proposto in questo lavoro (facendo riferimento alla regola di Hund) e chiamato “contaminazione di spin” [17]. Guardando proprio allo studio di tale parametro in effetti, tra le eccitazioni da lui scelte, individua come maggiorante “contaminata” la stessa che noi abbiamo scartato supponendo fosse a spin maggiore.

facilmente individuabile.

³Nella referenza [16] Casida individua in realtà il problema e cerca di correggerlo studiando le energie di eccitazione ottenute grazie ad un potenziale con andamento asintotico corretto. Tale studio non viene poi più menzionato nella referenza successiva [17].

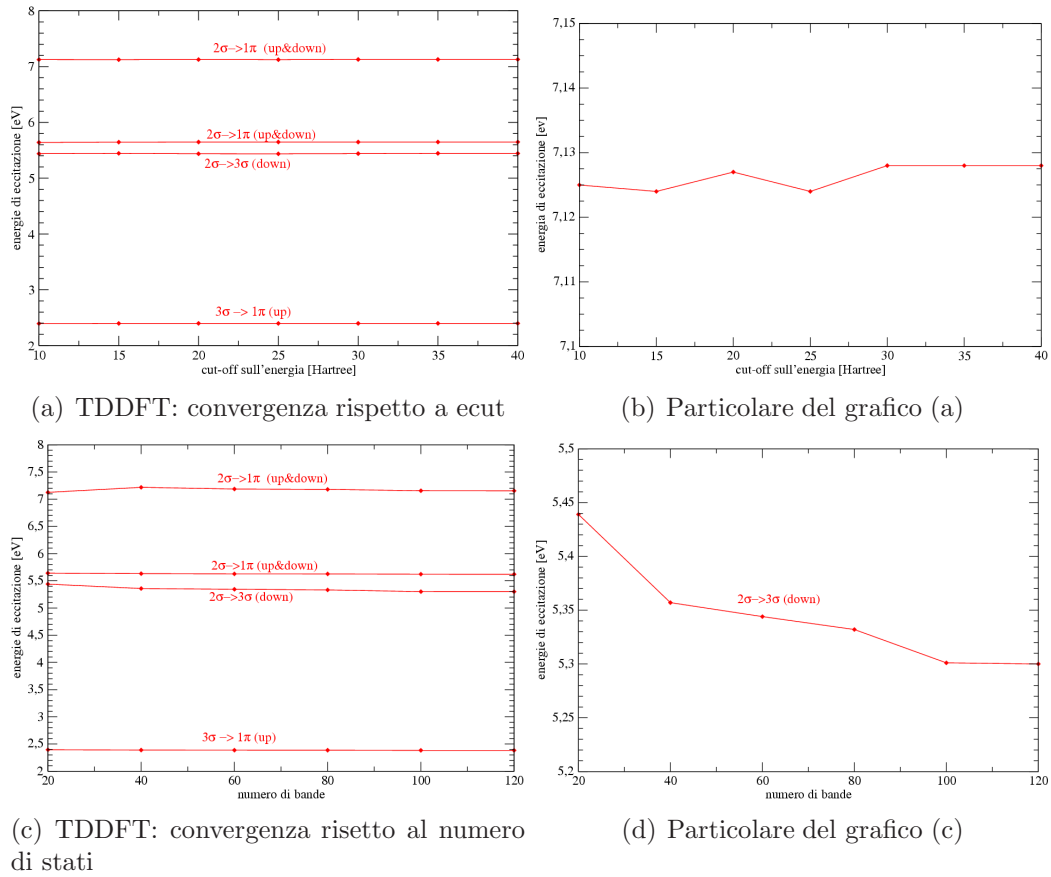


Figura 7.8: Test di convergenza per le energie di eccitazione rispetto all'energia di cut-off per la base di onde piane e rispetto al numero di stati considerati per la costruzione della matrice Ω

7.2.2 Altri test di convergenza

Abbiamo riportato i test di convergenza fatti per il computo delle autoenergie di KS e quindi lo studio delle energie di eccitazione rispetto alle dimensioni della supercella. Anche per l'analisi delle eccitazioni del sistema sono stati fatti dei test rispetto all'energia di cut-off e rispetto ad un nuovo parametro, il numero di stati considerati per la costruzione della matrice Ω , che nel computo dello stato fondamentale del sistema non compariva. Dai grafici (fig. 7.8) possiamo osservare come i risultati siano a convergenza per entrambi i parametri. La dimensione della supercella resta, dal nostro punto di vista, il parametro più importante per gli studi di convergenza delle energie di

Eccitazione	Dati sperim. [16]	Dati sperim. [20]	Presente lavoro	Calcoli quantum chem. [19]
Π	2.484	2.48	2.40	2.56
Σ			5.54	5.51
Σ				5.61
Σ				6.12
Π	6.317	6.31		6.31
Σ		~ 6.7		6.71
Π		~ 6.7		6.74
Δ		~ 6.7		6.77
Σ		6.71		
Σ		7.02		
Π	7.460	7.28	7.14	7.27

Tabella 7.3: Raffronto tra le energie di eccitazione (in eV) ottenute nel presente lavoro con dati sperimentali e teorici presenti in letteratura.

eccitazione nell'ambito della TDDFT, soprattutto per l'individuazione degli stati di vuoto.

7.3 Considerazioni finali

Riportiamo ora una tabella in cui confrontiamo le eccitazioni considerate valide con i dati di riferimento nella tabella (7.3)

Segnaliamo che lo scegliere per un valore ottenuto una determinata eccitazione sia stato fatto in modo arbitrario, non avendo questa volta alcuna indicazione sul tipo di eccitazione, salvo la distinzione Σ , Π . Sembra comunque promettente l'ottimo accordo che in questo modo riusciamo ad ottenere con i valori di riferimento con una differenza media, per le 3 eccitazioni calcolate, di circa 0.1-0.2 eV. Uno schema riassuntivo dei risultati ottenuti è infine riprodotto nella figura (fig 7.9)

Concludiamo l'analisi dei dati sottolineando come nel lavoro svolto le due approssimazioni eseguite, l'approssimazione LDA (e quindi l'errato andamento del potenziale di scambio e correlazione nella regione asintotica) per il computo dello stato fondamentale e l'approssimazione adiabatica per il computo del kernel hanno portato come conseguenza il fatto che non siamo in grado di individuare la maggior parte delle eccitazioni del sistema. Sui tentativi di

soluzione, o di altre possibili forme dipendenti dalla frequenza del kernel della TDDFT, resta una sfida di maggiore difficoltà.

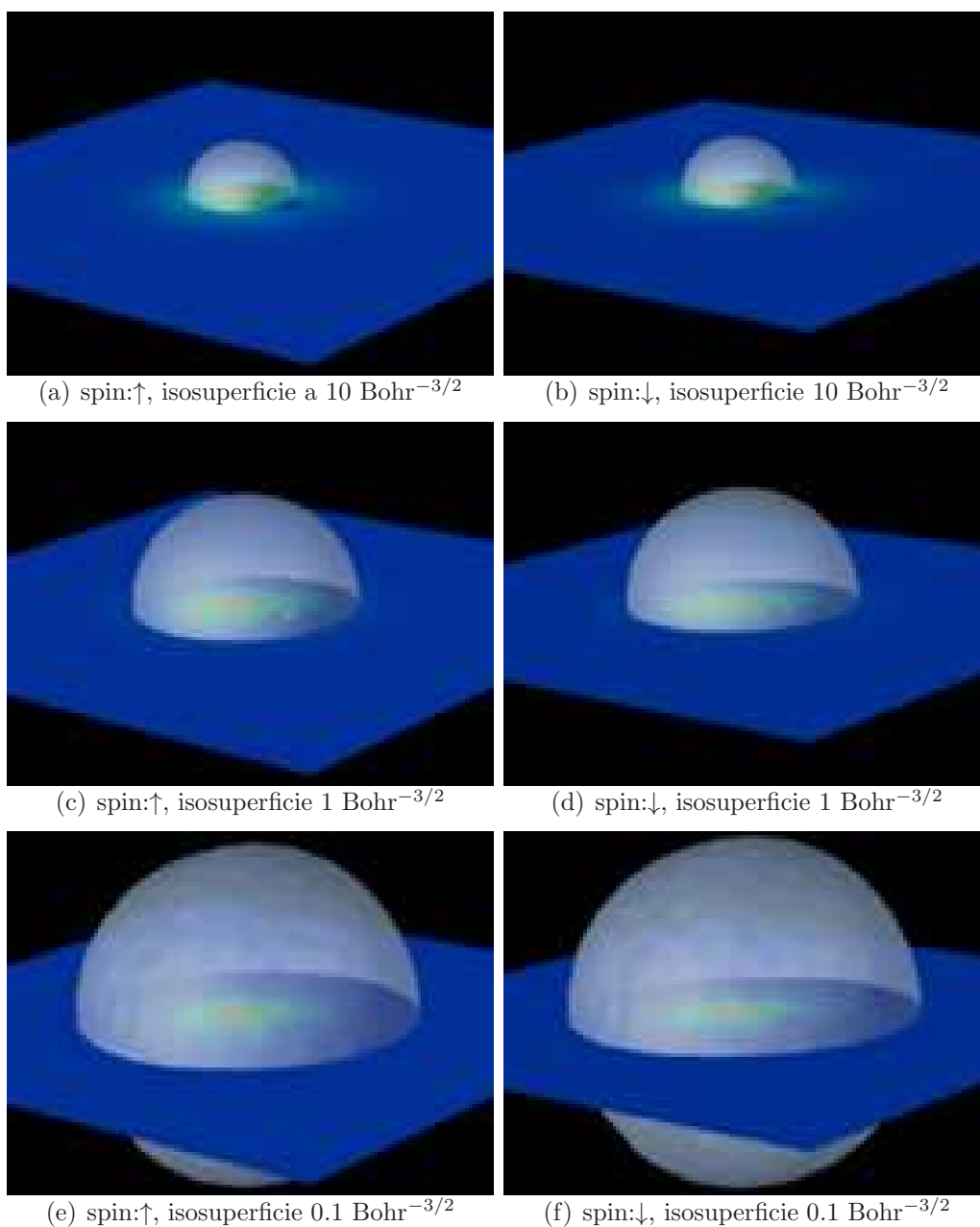
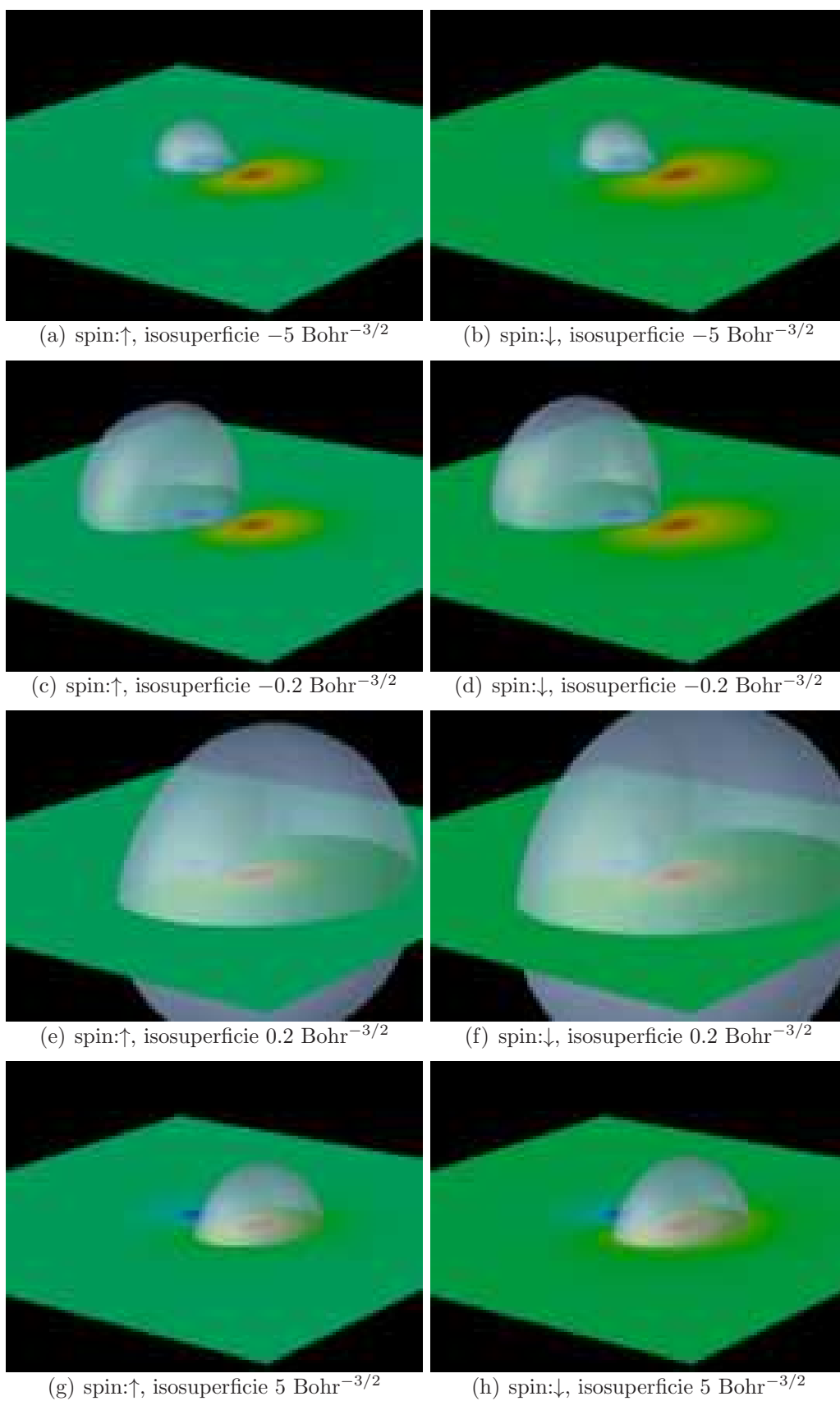
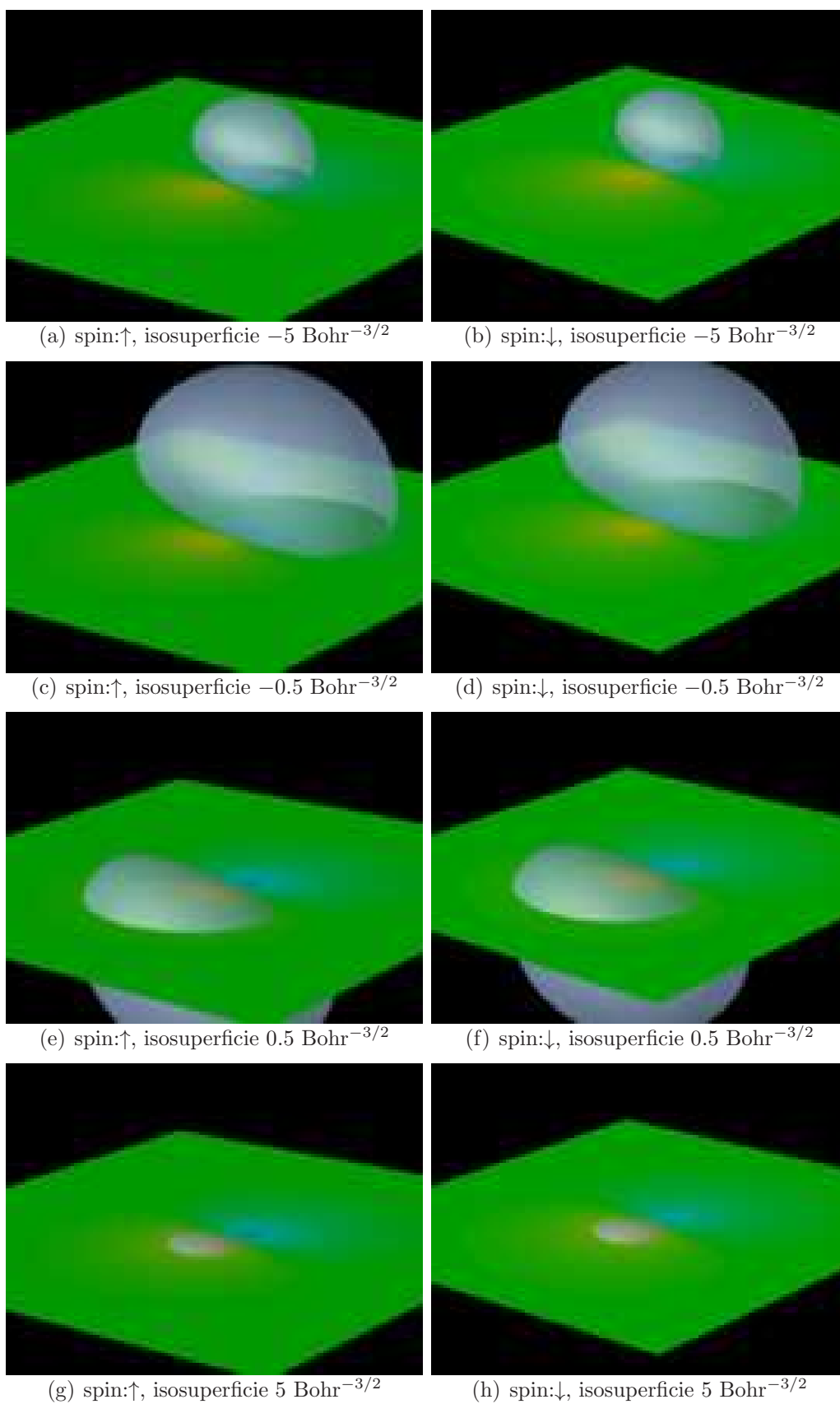


Figura 7.10: Stato 2σ ; Questa serie di figure, così come quelle delle pagine successive, mostrano differenti isosuperfici della parte reale delle funzioni d'onda (la parte immaginaria è nulla). È possibile notare la differenza tra gli stati che abbiamo interpretato come di valenza (2σ , 3σ e 4π) rispetto agli stati di vuoto. In particolare le funzioni d'onda di valenza sono localizzate nei pressi degli atomi, mentre gli stati di vuoto risentono delle condizioni al contorno. Tutte le immagini sono realizzate con una supercella cubica di 30 Bohr di lato

Figura 7.11: Stato 3σ

Figura 7.12: Stato 1π

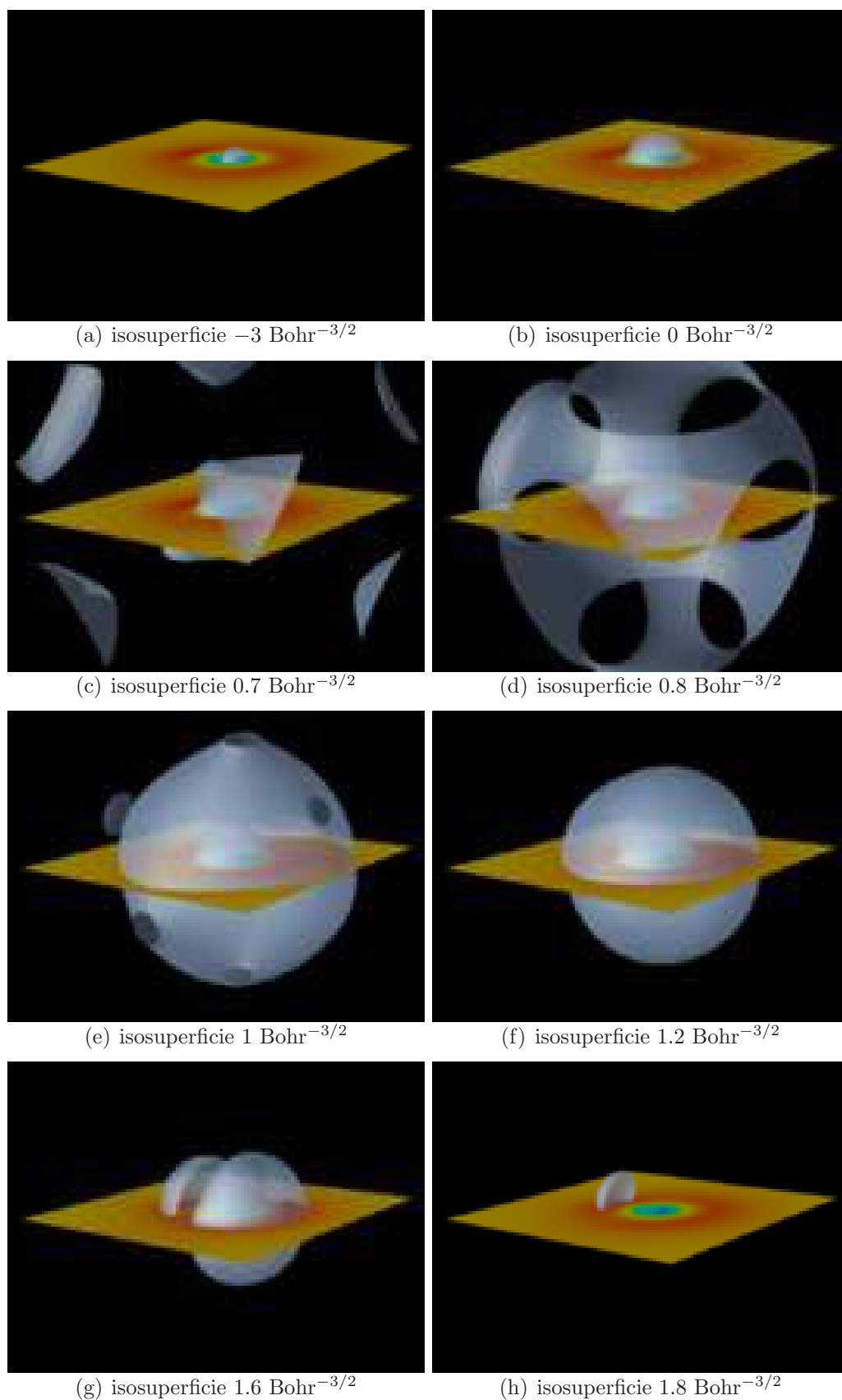


Figura 7.13: Stato $4\sigma \uparrow$, questo stato pur presentando autoenergia negativa appare sensibile alle condizioni al contorno con un comportamento simile ad uno stato di vuoto.

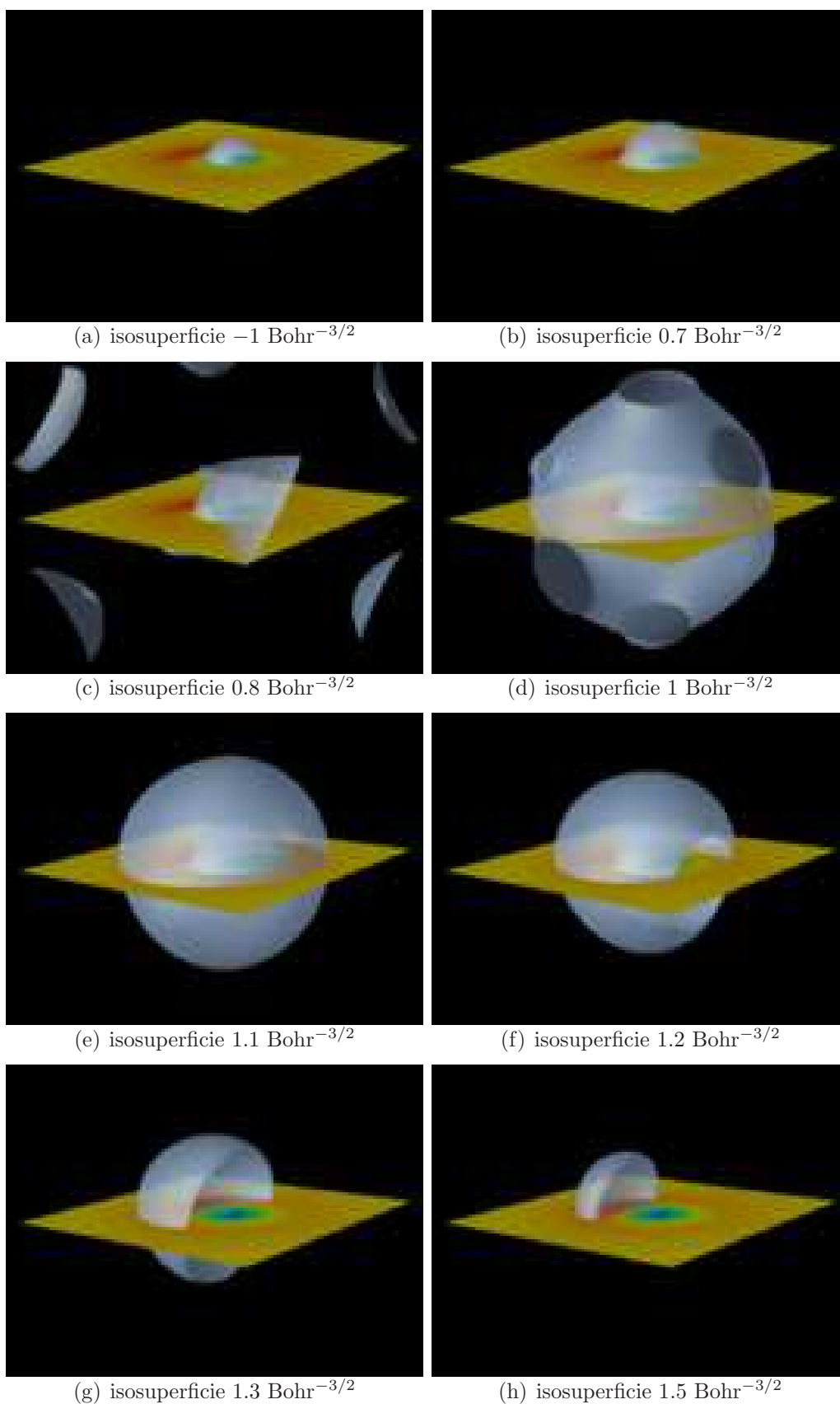


Figura 7.14: Stato $4\sigma_{\downarrow}$, vedi il commento per la serie di immagini dello stato $4\sigma_{\uparrow}$.

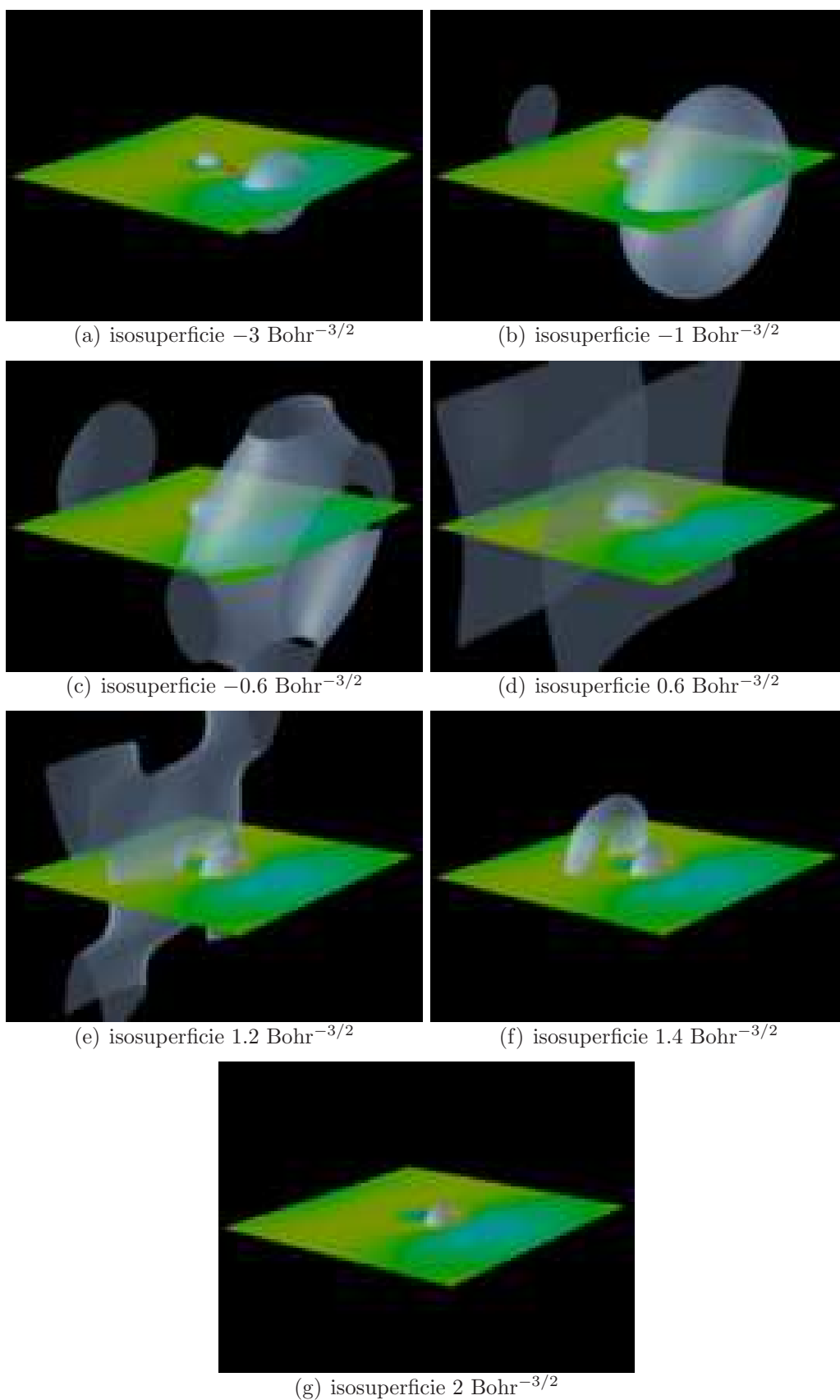


Figura 7.15: Stato $5\sigma \uparrow$, esempio del comportamento di uno stato di vuoto.

7.4 Il kernel della TDDFT

7.4.1 Introduzione

Nella presente sezione presenteremo quello che è un possibile approccio per superare le difficoltà da noi incontrate nell'ambito dell'approssimazione adiabatica per il kernel della TDDFT. Tale approccio è esposto nelle referenze [9, 8] e nasce dal tentativo di scrivere un kernel a due punti per la teoria MBPT. Esporremo qui solo la formulazione esatta poiché siamo semplicemente interessati a mostrare come sia possibile superare le difficoltà da noi incontrate e non a svolgere calcoli espliciti.

7.4.2 Un kernel a due punti per la teoria molti corpi

Vogliamo cercare di formulare un'equazione che legghi il kernel della TDDFT con il kernel della MBPT in modo analogo a quanto fatto per il potenziale di scambio e correlazione e la self energia, eq. (4.24), per la teoria dello stato fondamentale. A differenza di quanto fatto in quest'ultimo caso, in cui si considera la self-energia esatta del sistema per ottenere il potenziale, la grandezza many-body che verrà presa in considerazione non sarà il kernel dell'equazione di Bethe-Salpeter ma una sua versione a due punti.

Per ottenere tale kernel ripartiamo da quanto mostrato nel capitolo 5 nella costruzione dell'equazione di Bethe-Salpeter. In particolare ripartiamo dell'equazione (5.11), questa volta però lavoriamo con la polarizzazione irriducibile

$$\begin{aligned} \Pi^*(1, 2) = G(1, 2)G(2, 1) + \\ G(1, 3)G(1, 4) \frac{\delta \Sigma^*(3, 4)}{\delta G(5, 6)} G(5, 7)G(6, 8) \tilde{\Gamma}(7, 8; 2) \quad . \quad (7.3) \end{aligned}$$

Come abbiamo già visto tentare di costruire un'equazione di Dyson a partire da questa si incontrano difficoltà legate con il fatto che il kernel è una grandezza a quattro punti. D'altra parte nel capitolo sulle eccitazioni abbiamo rinunciato al tentativo di continuare a lavorare con grandezze a due punti poiché abbiamo individuato l'importanza fisica dell'interazione particella-buca in tale ambito.

Cercando invece di lavorare comunque con grandezze a due punti possiamo definire l'ordine zero della polarizzabilità come $\Pi_0(1, 2) = G(1, 2)G(2, 1)$ e riscrivere l'equazione moltiplicando l'ultimo termine per $\Pi_0(1, 1')\Pi_0^{-1}(3, 1') =$

$\delta(1, 3)$ ottenendo:

$$\begin{aligned} \Pi^*(1, 2) &= \Pi_0(1, 2) + \Pi_0(1, 1')\Pi_0^{-1}(3, 1')G(3, 4)G(3', 5) \\ &\quad + \frac{\delta\Sigma^*(4, 5)}{\delta G(6, 7)}G(6, 8)G(7, 9)\tilde{\Gamma}(8, 9; 2) \quad . \quad (7.4) \end{aligned}$$

Come in precedenza consideriamo l'equazione di Hedin per il vertice (3.65) che però riscriviamo utilizzando le regole di derivazione a catena

$$\begin{aligned} \tilde{\Gamma}(1; 2, 3) &= \delta(1, 2)\delta(1, 3) + \frac{\Sigma^*(2, 3)}{\delta V(1)} \\ &= \delta(1, 2)\delta(1, 3) + \frac{\Sigma^*(2, 3)}{\delta\rho(4)}\frac{\delta\rho(4)}{\delta V(1)} \quad . \quad (7.5) \end{aligned}$$

Utilizzando infine la definizione di funzione risposta possiamo scrivere un'equazione di tipo Dyson per la polarizzazione ridotta a due punti

$$\Pi^*(1, 2) = \Pi_0(1, 2) + \Pi_0(1, 3)f_{xc}^{eff}(3, 4)\Pi^*(4, 2) \quad , \quad (7.6)$$

dove abbiamo definito il kernel dell'equazione usando la notazione della referenza [9]

$$f_{xc}^{eff}(1, 2) = -i\Pi_0^{-1}(1, 3)G(3, 4)G(5, 3)\frac{\delta\Sigma(4, 5)}{\delta\rho(2)} \quad . \quad (7.7)$$

7.4.3 Un kernel per la TDDFT

Il kernel f_{xc}^{eff} viene costruito nella MBPT per cercare di ottenere un'approssimazione successiva a quella GW che possa essere inclusa come grandezza a due punti [8, 9]. Un'altra importante applicazione risulta però dal fatto che il kernel ottenuto può essere utilizzato per ottenere il kernel f_{xc} della TDDFT in modo esatto, almeno in linea di principio [8].

Per vedere questo partiamo nuovamente dall'equazione di Dyson per la funzione di Green (3.41) scrivendo la self energia completa come $\Sigma_H^* = V_H + \Sigma^*$ e quindi il potenziale di Hartree come $V_H = v_{KS} - v_{xc}$:

$$G(1, 2) = G_0(1, 2) + G_0(1, 3)(\delta(3, 4)(v_{KS}(4) - v_{xc}(4)) + \Sigma^*(3, 4))G(4, 2) \quad , \quad (7.8)$$

scriviamo quindi la corrispondente equazione per la funzione G^{-1}

$$G^{-1}(1, 2) = G_0^{-1}(1, 2) - \delta(1, 2)(v_{KS}(2) - v_{xc}(2)) - \Sigma^*(1, 2) \quad , \quad (7.9)$$

e deriviamo rispetto alla, usando il fatto che la variazione della funzione G_0^{-1} è nulla:

$$\frac{\delta G^{-1}(1, 2)}{\delta\rho(3)} = -\delta(1, 2)\left(\frac{\delta v_{KS}(2)}{\delta\rho(3)} - \frac{\delta v_{xc}(2)}{\delta\rho(3)}\right) - \frac{\delta\Sigma^*(1, 2)}{\delta\rho(3)} \quad . \quad (7.10)$$

Moltiplichiamo quindi l'espressione risultante per $iG(4, 1)G(2, 4^+)$ e usiamo la relazione (3.54) e le definizioni di Π_0 , χ_{KS} e f_{xc}^{eff} ottenendo:

$$\delta(3, 4) = \Pi_0(4, 2)(\chi_{KS}^{-1}(2, 3) - f_{xc}(2, 3)) - iG(4, 1)G(2, 4^+) \frac{\delta\Sigma^*(1, 2)}{\delta\rho(3)} \quad . \quad (7.11)$$

Infine raccogliamo la funzione Π_0 e usiamo la definizione introdotta di f_{xc}^{eff} ottenendo così una relazione esatta tra il kernel della TDDFT e f_{xc}^{eff} :

$$f_{xc}(1, 2) = (\chi_{KS}^{-1}(1, 2) - \Pi_0^{-1}(1, 2)) + f_{xc}^{eff}(1, 2) \quad . \quad (7.12)$$

Poiché siamo interessati alla correzione all'approssimazione adiabatica dobbiamo ora applicare la trasformata di Fourier all'equazione scritta. Omettendo per semplicità di notazione gli indici delle variabili spaziali otteniamo

$$f_{xc}(\omega) = (\chi_{KS}^{-1}(\omega) - \Pi_0^{-1}(\omega)) + f_{xc}^{eff}(\omega) \quad . \quad (7.13)$$

Quella appena scritta è un'equazione esatta per il kernel della TDDFT che può essere utilizzata per superare l'approssimazione adiabatica utilizzata nell'ambito di questa tesi.

Conclusioni

Il computo dello spettro di eccitazione e degli stati eccitati di un sistema fisico tramite l'utilizzo di software numerico richiede una quantità di risorse molto maggiori di quelle necessarie per calcoli di stato fondamentale [7]. Nella presente tesi è stato utilizzato un approccio che da questo punto di vista si è rivelato piuttosto agile, perlomeno per i test eseguiti, che sono stati lanciati su di un singolo calcolatore e che nel peggiore dei casi hanno richiesto un tempo di calcolo di qualche ora. I risultati crediamo siano incoraggianti, ma la teoria necessita ancora ulteriori sviluppi.

L'analisi del formalismo di Casida mette in luce come il computo dell'energia di stato fondamentale e degli autovalori di Kohn e Sham possa essere legato alle energie di eccitazione del sistema preso in considerazione. L'utilizzo di tale formalismo evidenzia come lo spettro di eccitazione del sistema sia ottenuto a partire dalla differenza tra le autoenergie di Kohn e Sham tramite due correzioni: la prima dovuta al kernel della TDDFT e quindi agli effetti di campo medio e di scambio e correlazione, la seconda dovuta al mix tra le transizioni di Kohn e Sham necessario per rispettare le simmetrie di spin del sistema. Questo secondo punto, in particolare, delinea la differenza principale tra sistemi a spin equilibrato e sistemi con stato fondamentale spin-polarizzato.

Abbiamo messo in evidenza quali siano allo stato attuale dell'arte i limiti di questo tipo di approccio legati alle approssimazioni eseguite. Innanzi tutto l'approssimazione LDA per il computo dello stato fondamentale del sistema porta ad un errore nella stima dell'energia degli stati occupato rispetto al livello di vuoto e come conseguenza all'impossibilità di individuare alcune delle eccitazioni del sistema. Il problema era già stato riscontrato in letteratura [18, 16] e in particolare è dovuto al non corretto andamento del potenziale di scambio e correlazione nella regione asintotica. Una possibile soluzione è quella di utilizzare un potenziale di scambio e correlazione ricavato a partire dalla MBPT, soluzione presentata nel Capitolo 4, equazione (4.24); sempre in letteratura possiamo trovare calcoli TDDFT eseguiti con un potenziale corretto [18]. Rispetto ai calcoli trovati in letteratura, in cui il computo degli

stati viene eseguito con software che sviluppano le funzioni d'onda su una base di orbitali localizzate, il lavoro della presente tesi è però stato realizzato lavorando con un codice a onde piane, il che ha permesso di individuare in modo più chiaro, dal punto di vista dell'autore, la presenza di stati di vuoto.

Il secondo problema è invece legato all'approssimazione adiabatica per il kernel di scambio e correlazione per il computo degli stati eccitati. Questo tipo di approssimazione infatti distrugge la simmetria di spin nel caso di un sistema con stato fondamentale spin-polarizzato e porta come conseguenza alla mancanza di alcune eccitazioni e alla comparsa di eccitazioni che non presentano la corretta simmetria di spin. Nell'ambito di questa tesi abbiamo proposto, per lo spettro calcolato, un criterio che ci permetta di individuare quali siano le energie di eccitazione soggette a tale problema e nella parte finale, equazione (7.13), abbiamo illustrato una possibile soluzione per superare il problema incontrato partendo dal kernel dell'equazione di Bethe-Salpeter. Rispetto all'approssimazione LDA, la correzione dell'approssimazione adiabatica è uno degli argomenti di cui si occupa attivamente la ricerca e, a nostra conoscenza, non sono ancora stati eseguiti calcoli teorici su sistemi isolati in cui i problemi connessi all'applicazione di tale approssimazione ai sistemi spin-polarizzati siano stati superati con successo. In letteratura viene comunque proposto un metodo per individuare le eccitazioni che non presentano la corretta simmetria di spin [17]. Sempre in letteratura è possibile trovare punti di partenza alternativi a quello da noi proposto per superare tale approssimazione [13].

All'interno di questa tesi è stato infine mostrato come il formalismo di Casida dovrebbe essere modificato per lo studio di sistemi con stato fondamentale spin polarizzato, polarizzazione non collineare, e per lo studio di una perturbazione di carattere più generale di quella considerata da Casida (parte conclusiva del Capitolo 6).

Appendices

Appendice A

Descrizione di molecole biatomiche

A.1 Classificazione degli orbitali molecolari

Gli autostati elettronici di una qualsiasi molecola non possono essere classificati sulla base del valore del momento angolare totale, in modo analogo a quanto viene fatto per gli atomi isolati, poiché il campo a cui sono soggetti gli elettroni non gode di simmetria centrale e dunque il momento angolare non è una grandezza conservata del sistema. Per le molecole lineari in generale e biatomiche in particolare è però conservata la proiezione del momento angolare lungo l'asse che unisce i due atomi; gli stati elettronici possono dunque essere classificati in base a questa proiezione: m_z . Nelle molecole come negli atomi vengono utilizzati come riferimento gli orbitali a particella singola, anche quando la molecola presenta un numero superiore ad 1 di elettroni. Tale situazione riflette anche l'impiego di autofunzioni a particella singola nello schema teorico della DFT, Kohn e Sham (sistema ausiliario non interagente), e nello schema delle teorie di campo medio (Hartree e Hartree-Fock).

Vengono dunque classificati come orbitali di tipo σ quegli orbitali che hanno proiezione del momento angolare nulla, orbitali di tipo π gli orbitali con proiezione $m_z = \pm 1$, orbitali δ quegli orbitali con proiezione $m_z = \pm 2$; raramente vengono considerati valori maggiori della proiezione del momento angolare [4]. Osserviamo che tutti gli stati con momento angolare 0 avranno degenerazione pari ad 1, mentre tutti gli altri stati sono doppiamente degeneri in assenza di campi magnetici.

A.2 Classificazione delle eccitazioni molecolari

Per quanto concerne la classificazione delle eccitazioni a molti elettroni per molecole biatomiche esse verranno di conseguenza indicate in base al valore della proiezione del momento angolare totale dello stato finale. Poiché quasi per la maggior parte delle molecole lo stato fondamentale presenta $m_z = 0$ il valore m_z dello stato finale coinciderà con la variazione dello stesso nell'eccitazione. Un'eccitazione che coinvolge due stati di tipo σ potrà essere solo un'eccitazione con variazione del momento angolare pari a 0 e sarà dunque indicata come eccitazione Σ , dove viene utilizzata la lettera greca maiuscola corrispondente allo stato con lo stesso momento angolare. Un'eccitazione che coinvolge uno stato σ ed uno stato π può avere una variazione del momento angolare pari al solo valore 1 e dunque avremo un'eccitazione di tipo Π . Possiamo così costruire la seguente tabella per alcune eccitazioni molecolari.

Stato iniziale	Stato finale	δm_z possibile	tipo di eccitazione	degenerazione dell'eccitazione
σ	σ	0	Σ	1
σ	π	1	Π	2
σ	δ	2	Δ	2
π	σ	1	Π	2
π	π	0,2	2 Σ, Δ	1,1,2

Appendice B

Differenti rappresentazioni di un operatore

In meccanica quantistica una qualsiasi grandezza fisica può essere rappresentata da un operatore auto-aggiunto che agisce sullo spazio di Hilbert delle funzioni d'onda. Tale operatore può essere rappresentato in modi differenti a seconda che si scelga di utilizzare il formalismo della prima o della seconda quantizzazione e che si scelga di rappresentare tale operatore “nel punto” o come nella sua forma “completa”. Scopo di quest'appendice è chiarire la notazione che abbiamo utilizzato nel presente lavoro; a questo scopo consideriamo l'operatore potenziale di Hartree per la TDDFT.

In prima quantizzazione l'operatore viene rappresentato come

$$\hat{v}_H^I[\rho](\mathbf{x}, t) = \int d^3\mathbf{x}' \frac{\rho(\mathbf{x}', t)}{|\mathbf{x}' - \hat{\mathbf{x}}|} \quad , \quad (\text{B.1})$$

mentre in seconda quantizzazione la sua rappresentazione nel puntuale è

$$\begin{aligned} \hat{v}_H[\rho](\mathbf{x}, \mathbf{y}, t) &= \langle \mathbf{x} | \hat{v}_H^I[\rho](\mathbf{z}, t) | \mathbf{y} \rangle \hat{\psi}^\dagger(\mathbf{x}) \hat{\psi}(\mathbf{y}) \\ &= v_H[\rho](\mathbf{x}, t) \langle \mathbf{x} | \mathbf{y} \rangle \hat{\psi}^\dagger(\mathbf{x}) \hat{\psi}(\mathbf{y}) \\ &= v_H[\rho](\mathbf{x}, t) \delta^3(\mathbf{x} - \mathbf{y}) \hat{\psi}^\dagger(\mathbf{x}) \hat{\psi}(\mathbf{x}) \quad , \end{aligned} \quad (\text{B.2})$$

il che mette in modo naturale in evidenza il fatto che stiamo lavorando con un operatore locale, ovvero diagonale in spazio \mathbf{x} . Le formule appena scritte chiariscono inoltre quale sia la relazione tra $\hat{v}_H(\mathbf{x}, t)$ e la grandezza $v_H(\mathbf{x}, t)$ senza cappuccio.

L'apice all'operatore scritto in prima quantizzazione “I” serve a distinguerlo dall'operatore scritto in seconda quantizzazione. In effetti $\hat{v}_H^I(\mathbf{x})$ va inteso in modo differente dall'operatore $\hat{v}_H(\mathbf{x})$, poiché quest'ultimo agisce soltanto nel punto \mathbf{x} mentre $\hat{v}_H^I(\mathbf{x})$ agisce su tutto lo spazio. Altra differenza

fondamentale è data dal fatto che l'operatore in prima quantizzazione è un operatore a particella singola, mentre l'operatore in seconda quantizzazione è un operatore a molti corpi. Ha dunque senso parlare di operatore puntuale e operatore completo solo in seconda quantizzazione, mentre in prima quantizzazione esiste una forma unica dello stesso, che però può essere utilizzata solo per lo studio di un singolo elettrone¹.

La forma completa dell'operatore in seconda quantizzazione è invece rappresentata dalla somma sulla base degli operatori di campo della forma puntuale²:

$$\hat{v}_H[\rho](t) = \int \int d^3\mathbf{x}d^3\mathbf{y}v_H[\rho](\mathbf{x}, t)\delta^3(\mathbf{x} - \mathbf{y})\hat{\psi}^\dagger(\mathbf{x})\hat{\psi}(\mathbf{x}) \quad . \quad (\text{B.3})$$

Lo scrivere l'operatore completo anzichè semplicemente la sua versione puntuale nasce in modo del tutto naturale in seconda quantizzazione se si cerca di cambiare base. Per scrivere infatti un operatore su di una base qualsiasi non dobbiamo far altro che proiettare l'operatore su tale base. Il risultato è il seguente:

$$\begin{aligned} \hat{v}_H[\rho](t) &= \sum_{ij} \langle i|\hat{v}_H(t)[\rho]|j\rangle\hat{\psi}_i^\dagger\hat{\psi}_j \\ &= \sum_{i,j} v_{ij}^H[\rho](t)\hat{\psi}_i^\dagger\hat{\psi}_j \quad . \end{aligned} \quad (\text{B.4})$$

dove evidentemente siamo dovuti partire dall'operatore completo e non dalla sua versione puntuale per ottenere le componenti in spazio (i, j) ; se fossimo partiti dalla sua forma puntuale avremmo ottenuto un potenziale $v_{ij}^H[\rho](\mathbf{x}, t)$, rappresentazione che non è né in spazio (\mathbf{x}) né in spazio delle configurazioni.

¹L'estensione ad un operatore a un corpo per n elettroni sarebbe dato dalla somma di n operatori differenti

²Notiamo come la variabile temporale venga trattata in modo differente da quelle spaziali. La differenza nasce dal fatto che il formalismo scritto abbia come punto di partenza il formalismo hamiltoniano che tratta in modo differente lo spazio ed il tempo.

Bibliografia

Testi di riferimento per la teoria

- [1] A.L. Fetter and J.D. Walecka, *Quantum Theory of Many-Particles Systems*, Dover edition, New York (2003)
- [2] R.M. Dreizler and E.K.U. Gross, *Density Functional Theory*, Springer-Verlag, Berlin (1990)
- [3] M.A.L. Marques, C.A. Ulrich, F. Nogueira, A. Rubio, K. Burke, and E.K.U. Gross *Time-Dependent Density Functional Theory* Springer-Verlag, Berlin (2006)
- [4] L.D. Landau, *Fisica Teorica 3, MECCANICA QUANTISTICA Teoria non relativistica*, Editori Riuniti, Torino (2004)
- [5] R. Feynman *The Feynman Lecturs on Physics*, Pearson Addison Wesley edition, San Francisco (2006)

Stato dell'arte e sviluppi

- [6] Walter Kohn, *Electronic structure of matter - Wave functions and density functional* Nobel Lecture, 28 January 1999.
- [7] G. Onida, L.Reining, and A. Rubio, *Electronic excitations: density-functional versus many-body Green's-function approaches*, Rev. Mod. Phys. 74, 601 (2002).
- [8] F. Bruneval, *Exchange and Correlation in the Electronic Structure of Solids, From Silicon to Cupros Oxide: GW Approximation and Beyond*, Tesi di dottorato, Ecole Polytechnique, Palaiseau (2004).

- [9] F. Bruneval, F. Sottile, V. Olevano, R. Del Sole and L. Reining *Many-Body Perturbation Theory using the density-functional concept: beyond the GW Approximation*, Phys. Rev. Lett. 94, 186402 (2005).
- [10] L.G. Molinari, *A derivation of Hedin's Equations*, "comunicazione privata" (2005).
- [11] E. Runge and E.K.U. Gross, *Density-Functional Theory for Time-Dependent Systems* Phys. Rev. Lett. 52, 997 (1984).
- [12] M.E. Casida, *Recent Advances in Density Functional Methods, Part I* edited by D.P. Chong (World Scientific, Singapore, 1995) p.155.
- [13] M.E. Casida, *Propagator corrections to adiabatic time-dependent density-functional theory linear response theory* Journ. Chem. Phys. 122, 054111 (2005).

Approccio numerico

- [14] <http://www.abinit.org>: tutorial and documentation indicated there.
- [15] M.C. Payne, M.T. Teter, D.C. Allan, T.A. Arias and J.D. Joannopoulos, *Iterative minimization techniques for ab initio total-energy calculation: molecular dynamics and conjugate gradients*, Rev. Mod. Phys. 64, 1045 (1992).

Analisi dati

- [16] J.Guan, M.E. Casida, D.R. Salahub, *Time-dependent density-functional theory investigation of excitation spectra of open-shell molecules*, J. Mol. Struct. 527, 229 (2000).
- [17] Andrei Iopatov, Felipe Cordova, and M.E. Casida, *Exited-State Spin-Contamination in Time-Dependent Density-Functional Theory for Molecules with Open-Shell Ground State* "comunicazione privata" (2007).
- [18] Myrta Grüning, *Density functional theory with improved gradient and orbital dependent functionals*, Tesi di dottorato, Vrije Universiteit Amsterdam (2003)

- [19] I.D. Petsalakis, G. Theodorakopouls, and C.A. Nicolaides *Adiabatic and quasidiabatic $2\Sigma^+$ states of BeH*, J.Chem.Phys. 97, 7623 (1992)
- [20] R. Colin, and D. De Greef *The absorption of BeH and BeD Molecules in the vacuum ultraviolet* Canad. J. Phys. 53, 2142 (1975)

Siti internet interessanti

- [21] <http://www.wikipedia.org>
- [22] <http://www.cmt.york.ac.uk/nanoquanta/>
- [23] <http://www.etsf.eu> e <http://www.etsf.it>
- [24] <http://www.linux.org> e <http://www.ubuntu.com>

Note finali

Il lavoro della presente tesi è stato realizzato grazie al supporto che mi è stato dato da molte persone che fanno parte del *Nanoquanta Network of excellence* [22]. L'esperienza di quest'anno di lavoro mi ha permesso infatti di conoscere, almeno in parte, la realtà della ricerca all'interno di differenti università europee e grazie al mio relatore, il prof. Giovanni Onida, sono stato messo in contatto con differenti progetti di livello europeo e anche mondiale che sono alla base del mondo stesso della ricerca.

Innanzitutto il progetto Nanoquanta appunto, progetto fondato nell'ambito del "Sixth Framework Programme" della Comunità Europea e che coinvolge dieci centri di ricerca dislocati in sette stati dell'Unione Europea. Sono venuto in contatto con questo progetto soprattutto partecipando, in qualità di spettatore, al "Nanoquanta Workshop" tenutosi a Houffalize (Belgium) nel settembre 2006, dove ho potuto assistere alla presentazione di numerosi articoli e lavori di ricerca tra i quali quello dello stesso prof. Mark Casida, autore del formalismo che è stato studiato all'interno di questa tesi³. Quindi il progetto "ETSF" (European Theoretical Spectroscopy Facility [23]), che potremmo definire il futuro del progetto Nanoquanta e che si pone come obiettivo quello di sviluppare una serie di strumenti teorici e sperimentali, all'interno dei centri di ricerca che ne fanno parte, che permettano di descrivere le proprietà spettroscopiche e non solo di un qualsiasi materiale.

Grande importanza hanno rivestito inoltre per questa tesi, così come la rivestono per la comunità scientifica, i software open sources, che vengono sviluppati e condivisi gratuitamente⁴, tra i quali Linux [24], che costituisce il sistema operativo sul quale ho costantemente lavorato e sul quale funziona in particolare Abinit [14]. Quest'ultimo è un software che permette di realizzare calcoli di struttura della materia di differente tipo e costituisce appunto il

³Grazie ai contatti con lo stesso Casida è stato possibile ottenere un preprint del lavoro che egli sta attualmente svolgendo e che abbiamo quindi utilizzato per un confronto con i risultati della presente tesi.

⁴E pensare che Bill Gates è diventato uno degli uomini più ricchi del mondo vendendo un prodotto di cui esiste una *valida* alternativa distribuita in modo gratuito!

codice a cui ho in parte lavorato e che mi ha permesso di ottenere i risultati che sono riportati all'interno di questa tesi. In particolare ho partecipato, come sviluppatore, al Workshop Abinit tenutosi a Lige (Belgium) nel Gennaio 2007 mostrando durante una breve presentazione orale le modifiche da me implementate nel programma e soprattutto venendo a contatto con una parte della comunità mondiale degli sviluppatori e degli utenti del programma.

Un punto di riferimento importante è stato infine costituito dai professori Xavier Gonze, leader del progetto Abinit, e Gian-Marco Rignanese con i quali ho lavorato per circa cinque mesi a Louvain la Neuve (Belgium) grazie al sostegno del progetto Erasmus che ha permesso il mio soggiorno all'estero mettendo in contatto l'Università degli Studi di Milano con L'UCL (Universit Catholique de Louvain), al contributo economico del progetto CNISM, che ha sostenuto il presente progetto di ricerca e infine, nuovamente, al prof. Giovanni Onida che mi ha messo in contatto con l'università del Belgio.

Ringraziamenti

Ciò che è stato esposto all'interno di questa tesi è il risultato di circa un anno di lavoro e la conclusione di un percorso di studio di cinque anni. Tale lavoro è stato reso possibile grazie al sostegno di molti che mi sono stati compagni lungo il cammino svolto. Il primo grazie spetta ai miei genitori e a mio fratello, ma anche ai cugini agli zii e alle nonne, che sono stati la mia famiglia non solo in questi cinque anni di università; a loro devo non solo il supporto economico datomi ma soprattutto il sostegno e la sicurezza offertami. Per tutto il mio periodo di studi la mia famiglia ha infatti rappresentato un posto in cui rifugiarmi tutte le volte che ne avevo bisogno, un posto sereno lontano dalle preoccupazioni e dalle difficoltà che ognuno di noi è chiamato ad affrontare nel proprio percorso. Grazie.

Dopo la mia famiglia un punto di riferimento importante sono stati gli amici di Gessate, coloro con i quali sono cresciuto e ho diviso molte delle esperienze che ho vissuto: le uscite la sera, le gite in montagna e a sciare, le prime vacanze al mare con gli amici e le esperienze con l'Oratorio e le lunghe discussioni sui massimi sistemi. Sono trascorsi molti anni e con alcuni di coloro che sono stati i miei migliori amici ormai non mi sento che ogni tanto, è strano come tutto sia destinato a cambiare. A Marco, Daniele, Fabio, Nino, Marco, Valeria, Marzia, Irene, Anna, Don Stefano e tanti altri. Grazie.

Ancora un grazie a tutti coloro che sono stati miei compagni e amici anche se solo per un breve periodo di tempo: gli amici della montagna che per qualche ragione sono capitati a Narro a trascorrere con me numerose estati; i compagni di calcio dell' A.C.Gessate che per tante partite hanno indossato con me la stessa maglia; tutti gli Erasmus del CLL che con me hanno condiviso l'esperienza di un semestre a Louvain la Neuve; gli esponenti dello zoccolo duro compagni di un'esperienza che dura fin dalle scuole medie e infine gli amici del liceo. Grazie.

Un ringraziamento speciale ai miei compagni di università che forse più di tutti hanno condiviso con me le difficoltà, le gioie e le esperienze di questi cinque anni. Quando penso al mio periodo di studi in università ricordo soprattutto le due settimane bianche, le estati in barca, l'inter-rayl, la vacanza

in Scozia la laurea triennale e molti altri momenti insieme. Sono forse stati questi gli avvenimenti che più mi hanno segnato e mi hanno cambiato negli ultimi cinque anni. A Marco (Bingo), Giorgio (Jo), Luca (Ter1), Riccardo (Ricky), Giovanni (Gio), Guglielmo (Piccoletto) e Luca (Trippy) e ad altri compagni di università. Grazie.

Un grosso grazie a colei con la quale per la prima volta ho provato l'emozione di dividere molto più che qualche esperienza, dividere la propria vita in ogni suo aspetto ed in ogni sua forma e che più di tutti in questo ultimo anno è stata con me nei momenti belli e in quelli più difficili. Grazie.

Un grazie ai professori e alle persone che mi hanno seguito in questo lavoro di tesi per circa un anno. Un grazie infine a tutti coloro che non ho nominato ma che per un motivo o per l'altro mi sono stati di sostegno. Grazie.